

Sistema AUDITIVO

NEUROCIENCIA



FACULTAD DE MEDICINA
UNIVERSIDAD DE CHILE

Hayo A. Breinbauer Krebs (Dr.med/PhD).
Universidad de Chile – Departamento Neurociencias



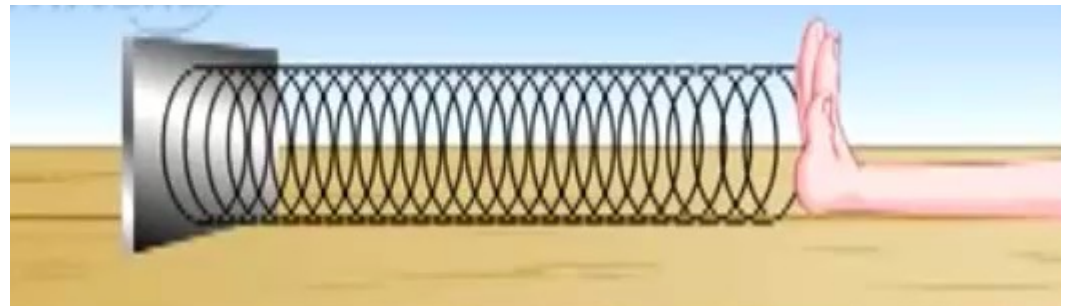
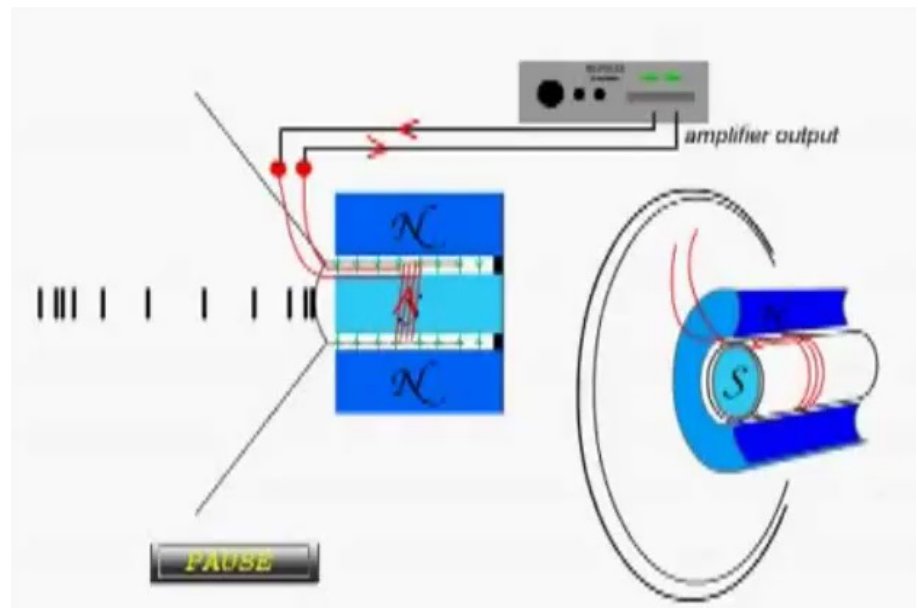
LAB - ONCE
www.labonce.cl



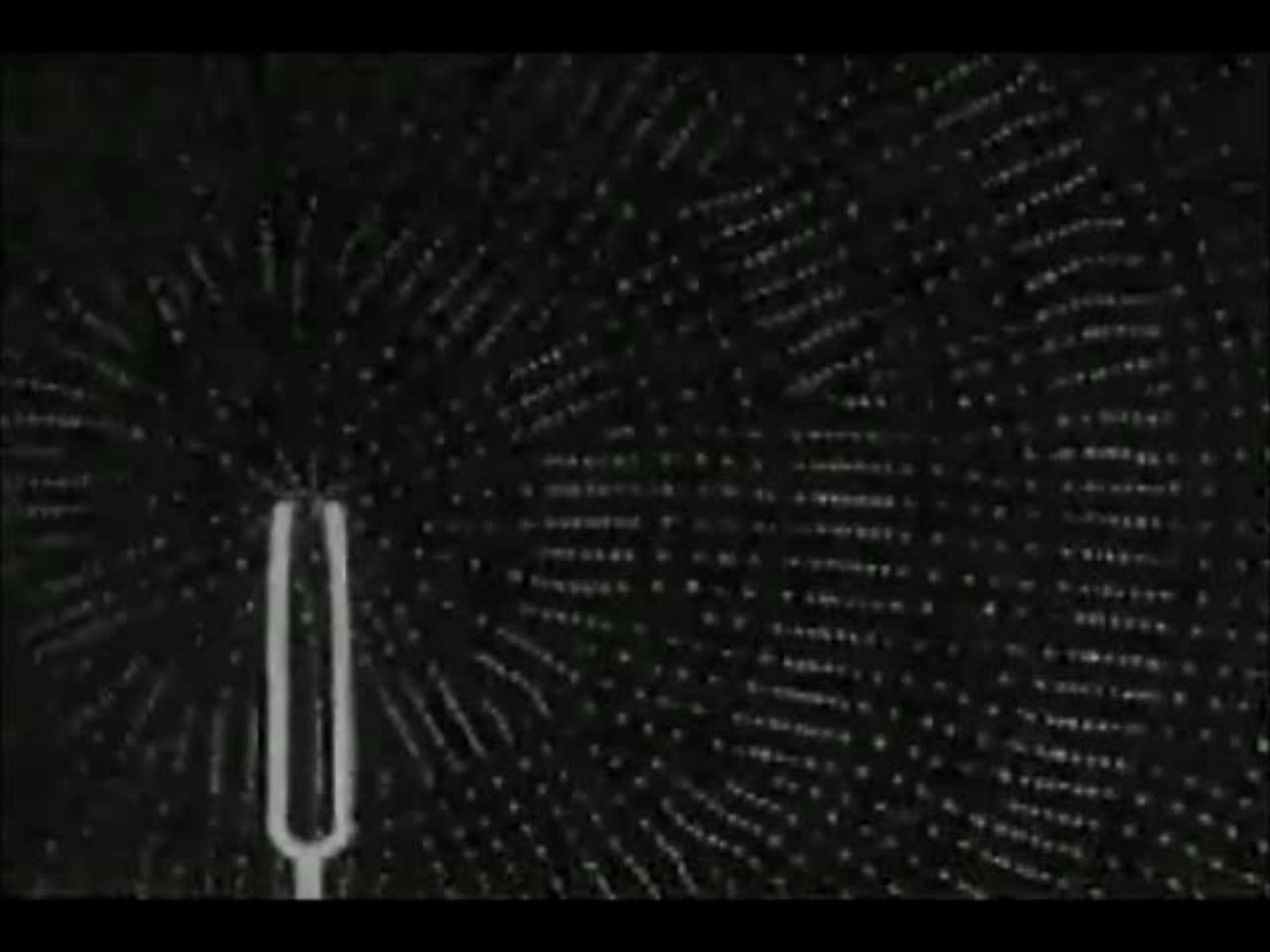
¿Qué es el sonido?

¿QUÉ ES EL SONIDO?

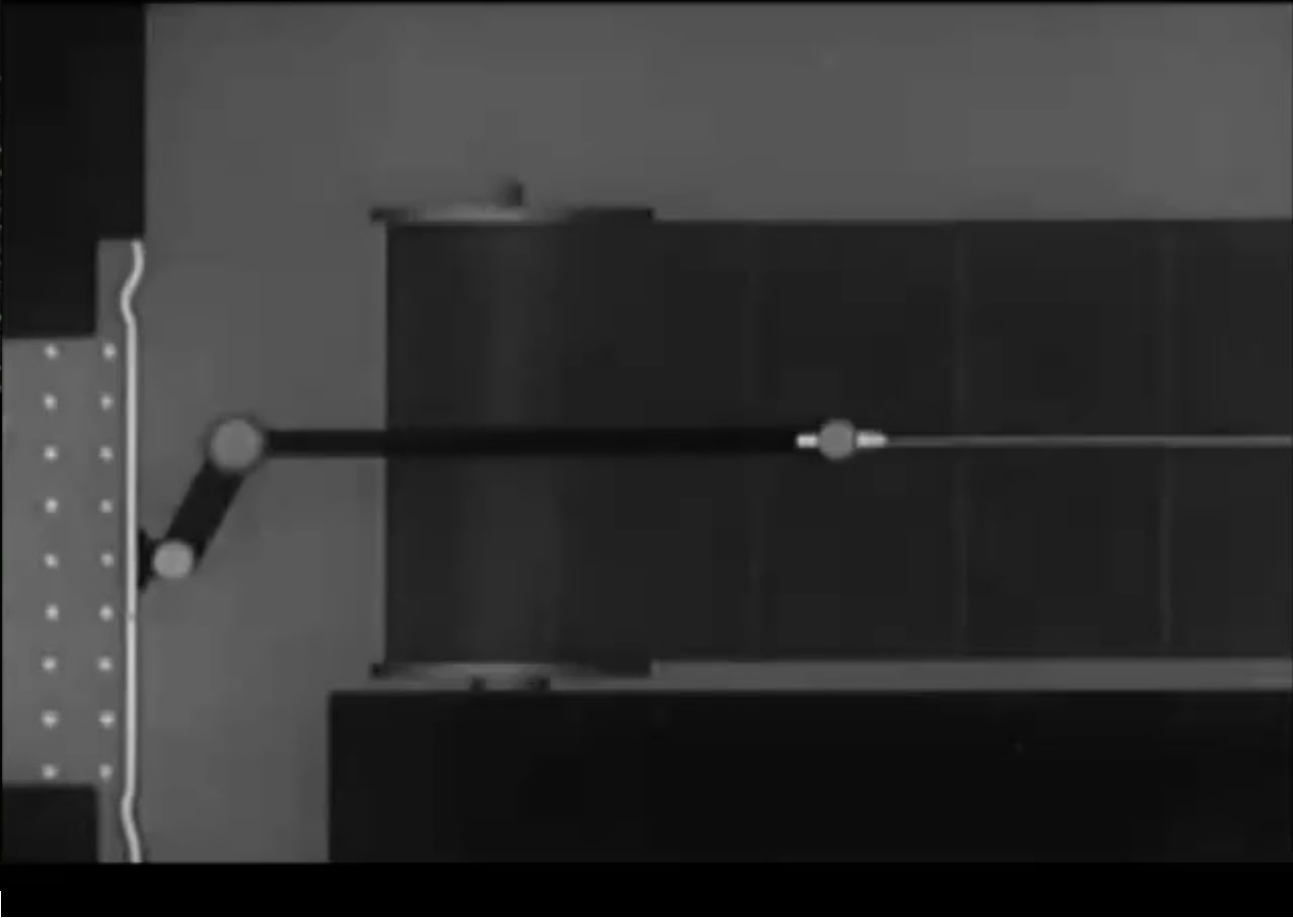
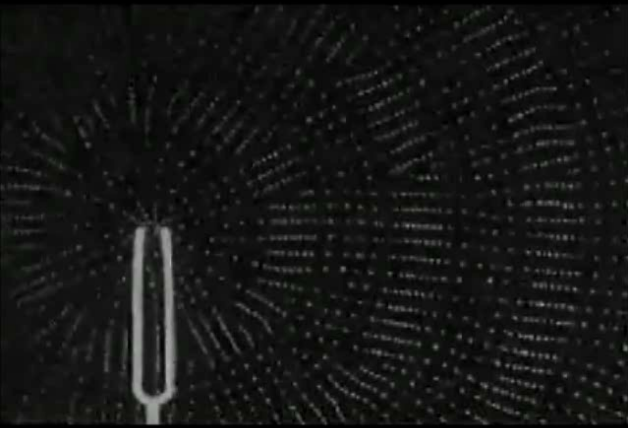
Vibración u **oscilación** de un **medio elástico**, la cual se **propaga** como **onda** a través de dicho medio.

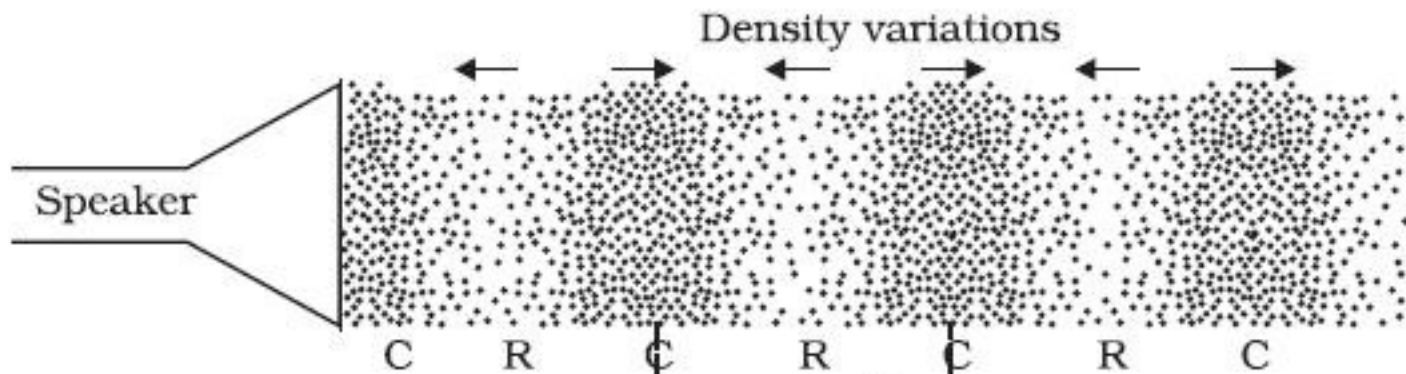




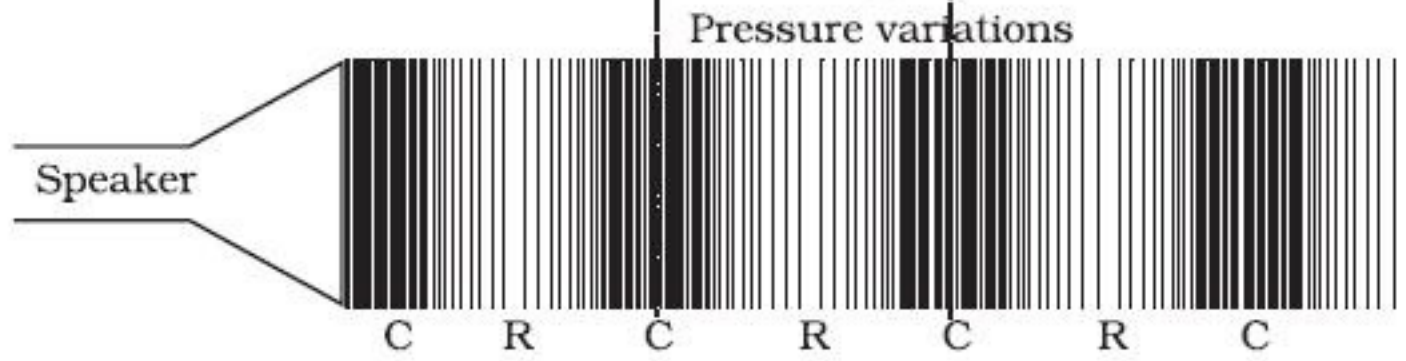




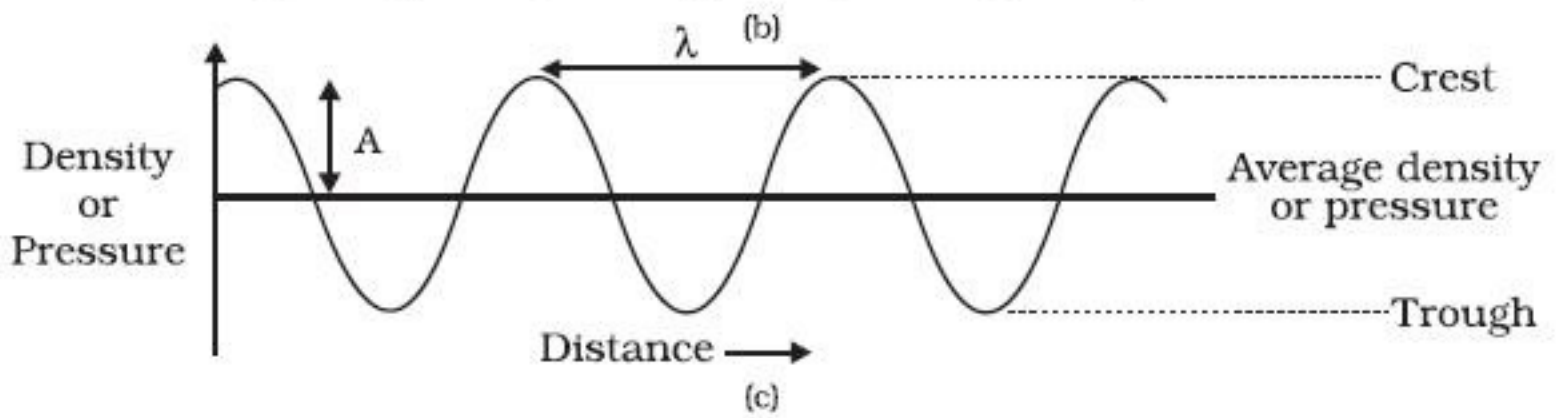




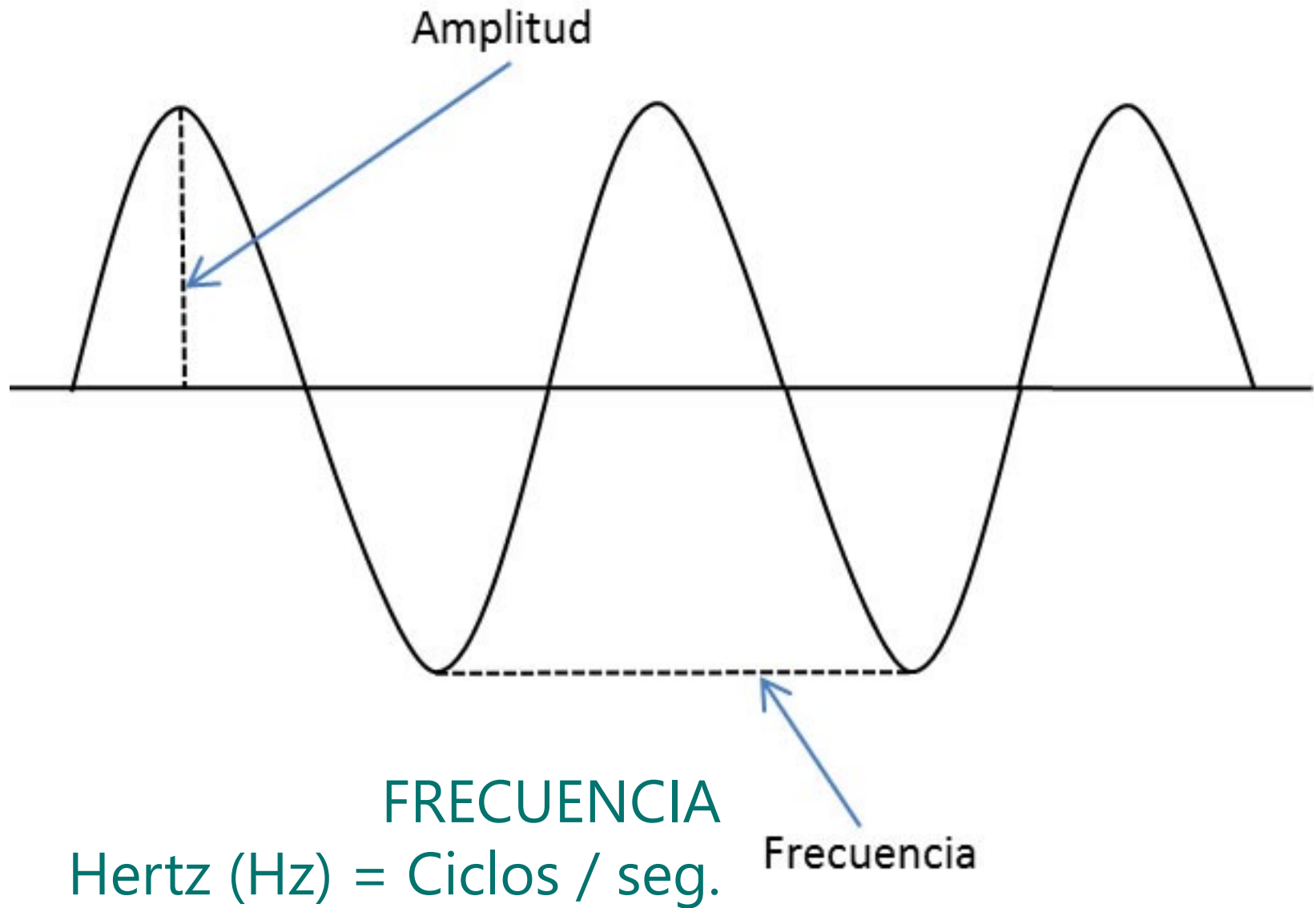
(a)

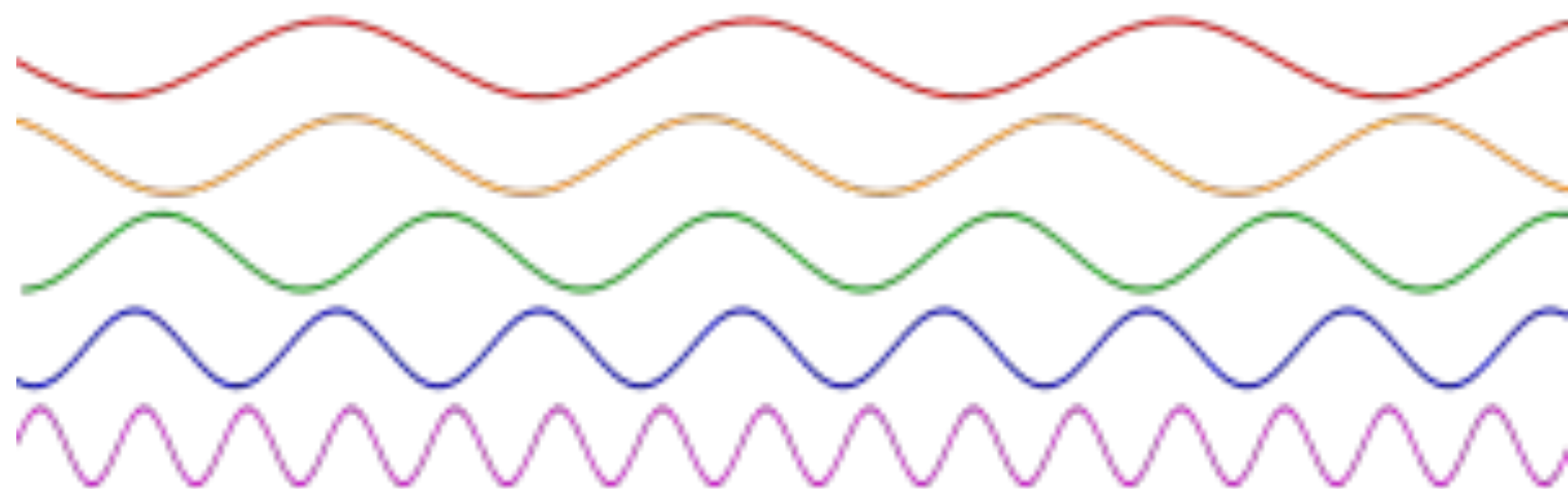


(b)



INTENSIDAD = DECIBEL (dB)

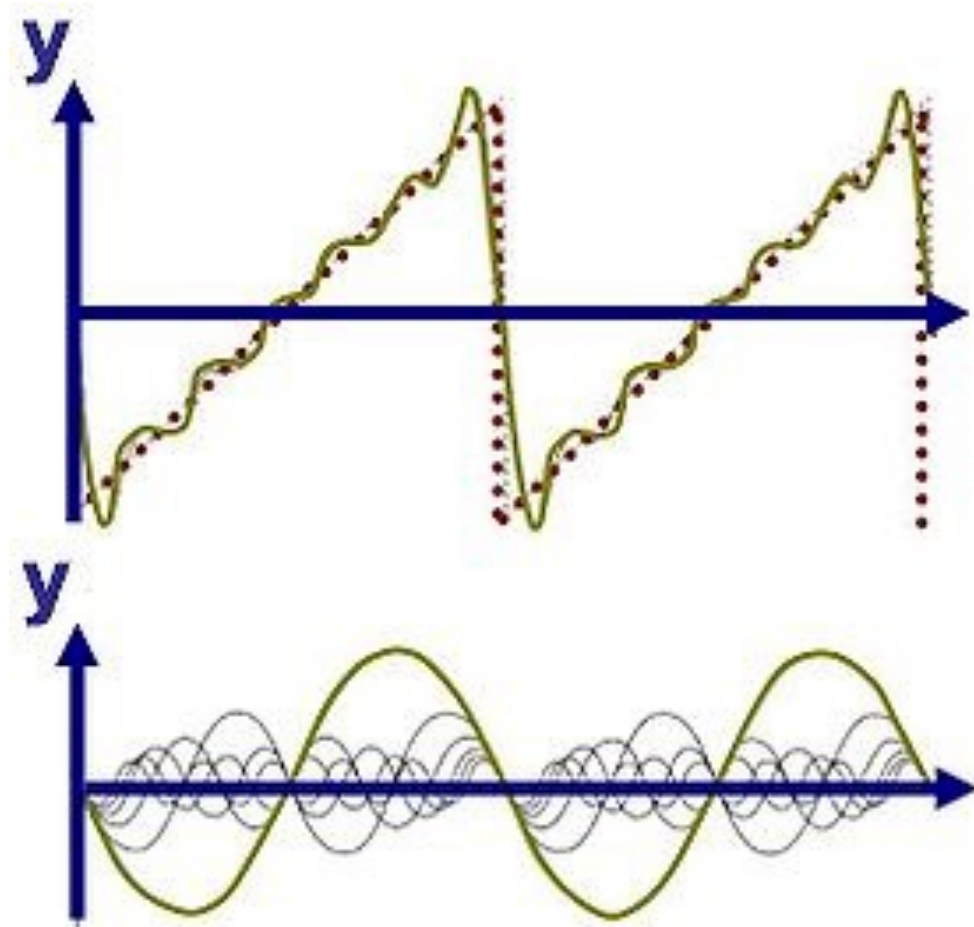
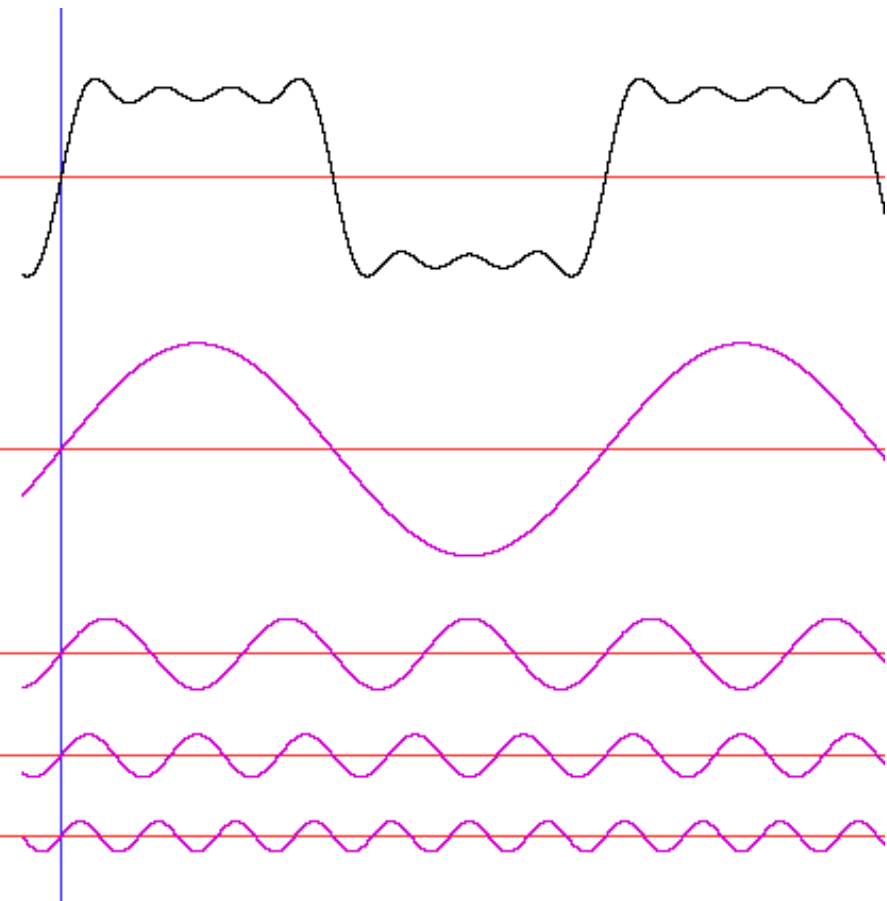




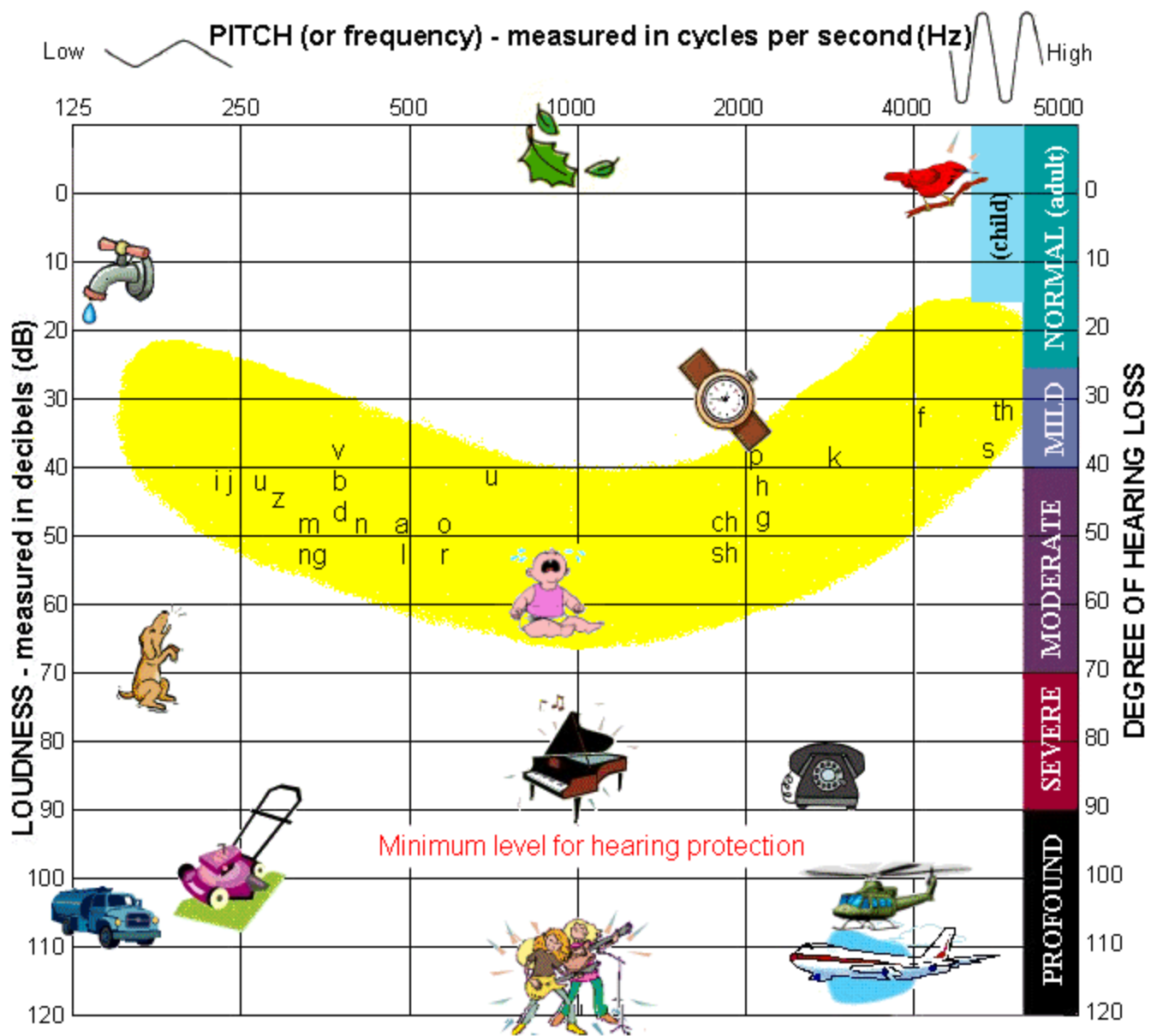


**Low
frequency**

**High
frequency**



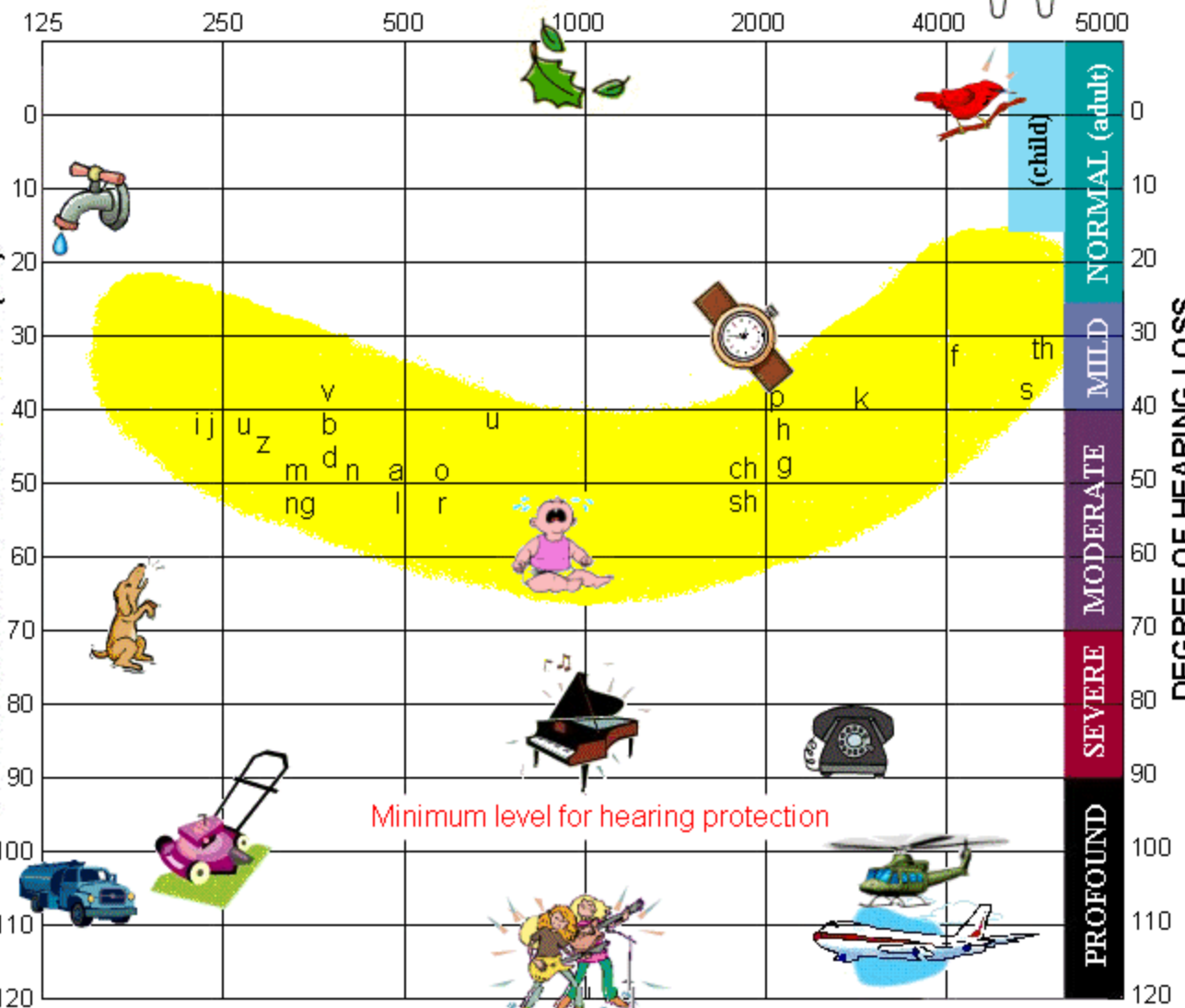
DESCOMPOSICIÓN FRECUENCIAL FOURIER

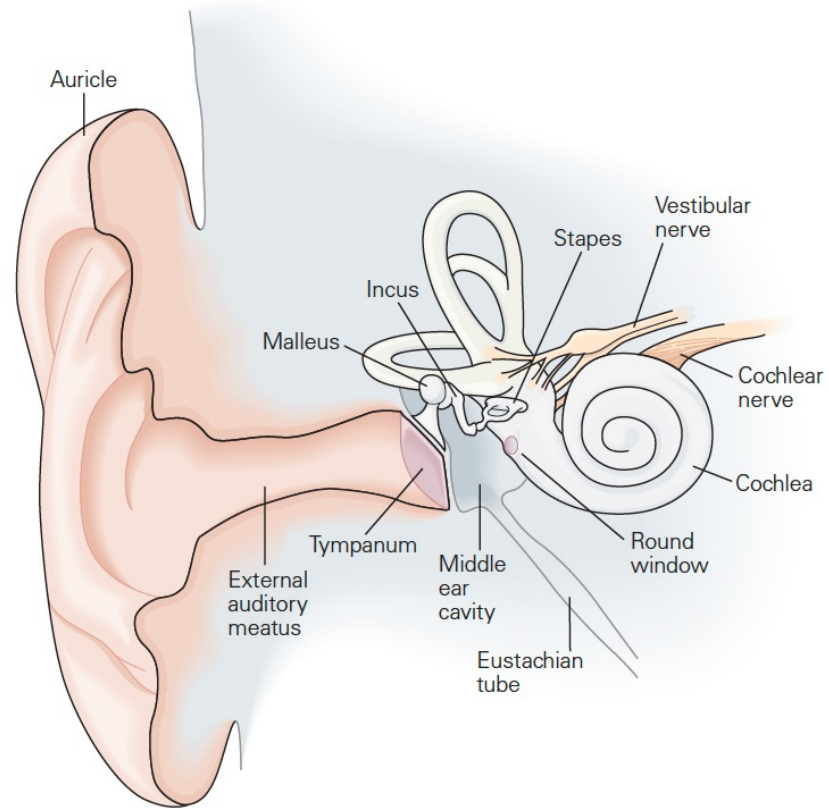


LOUDNESS - measured in decibels (dB)

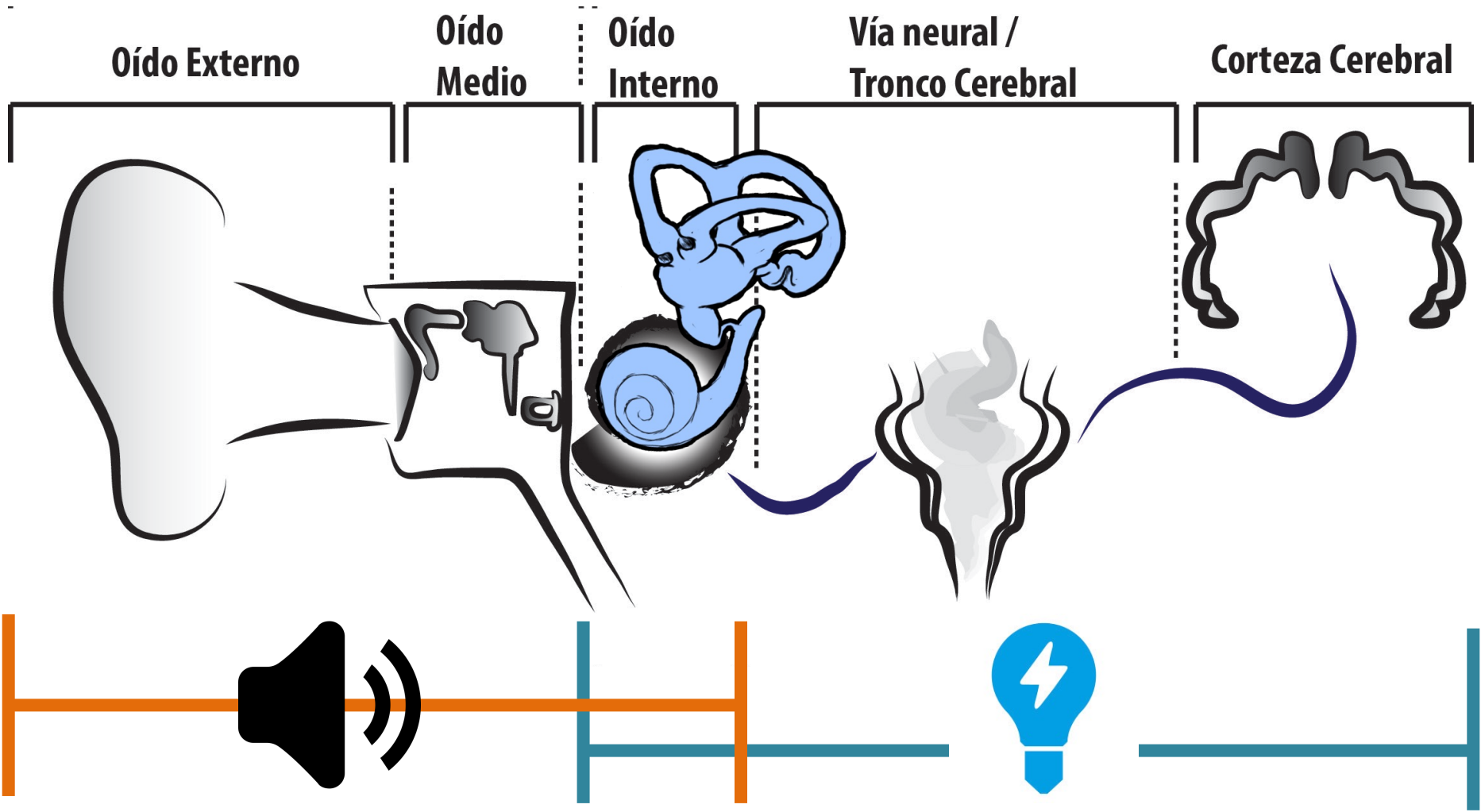
DEGREE OF HEARING LOSS

Minimum level for hearing protection



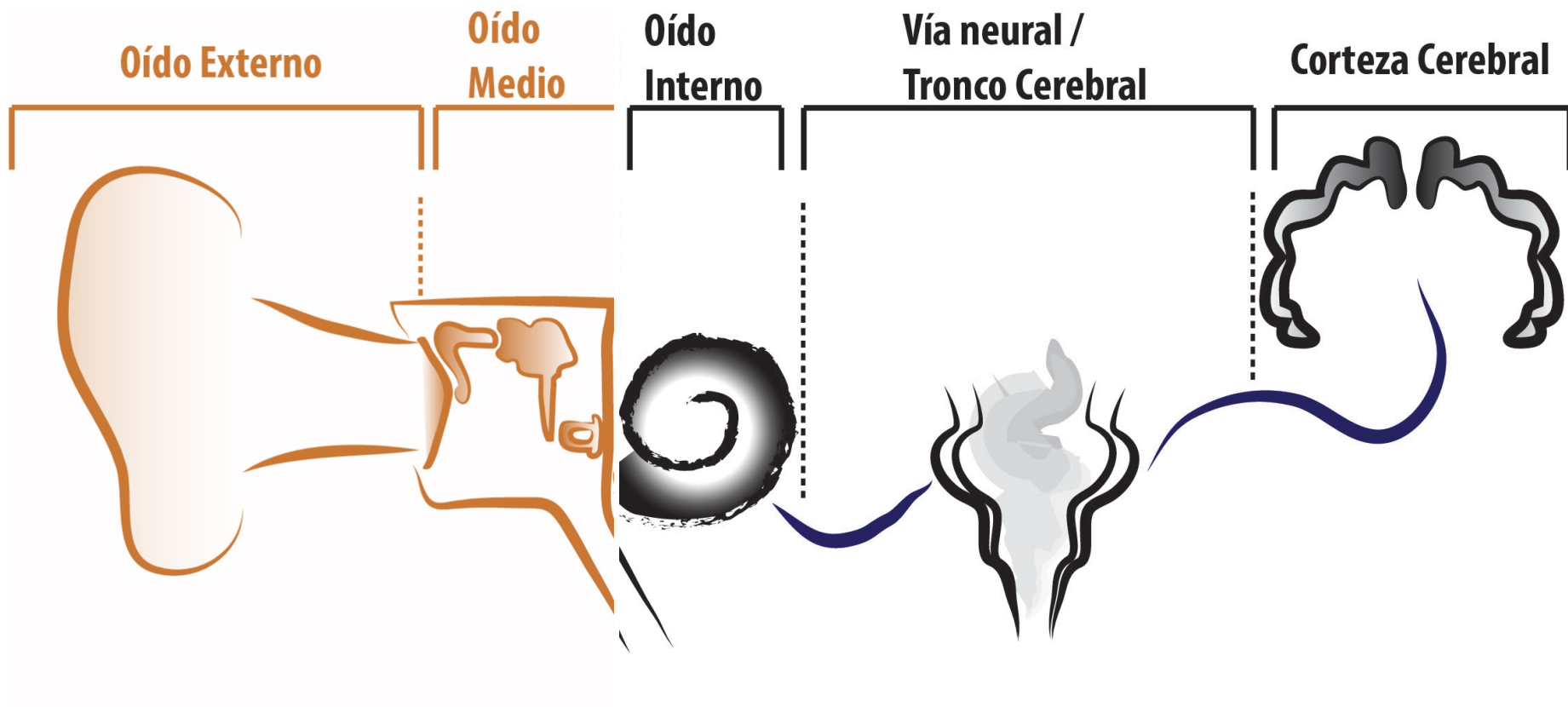


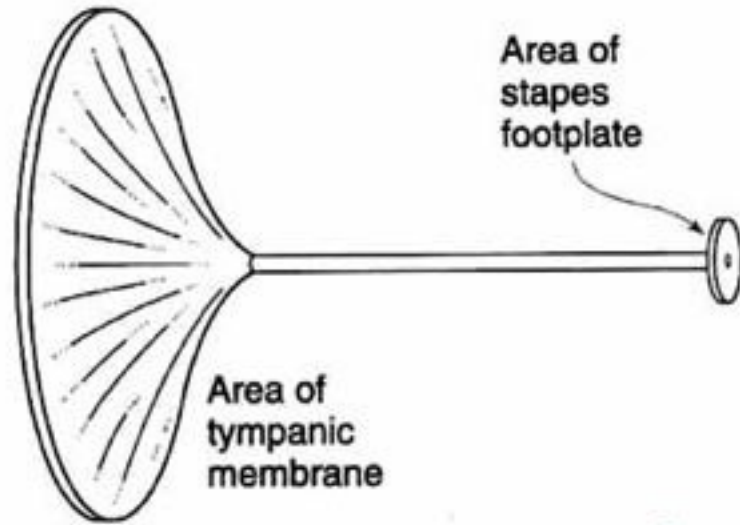
La audición en un minuto



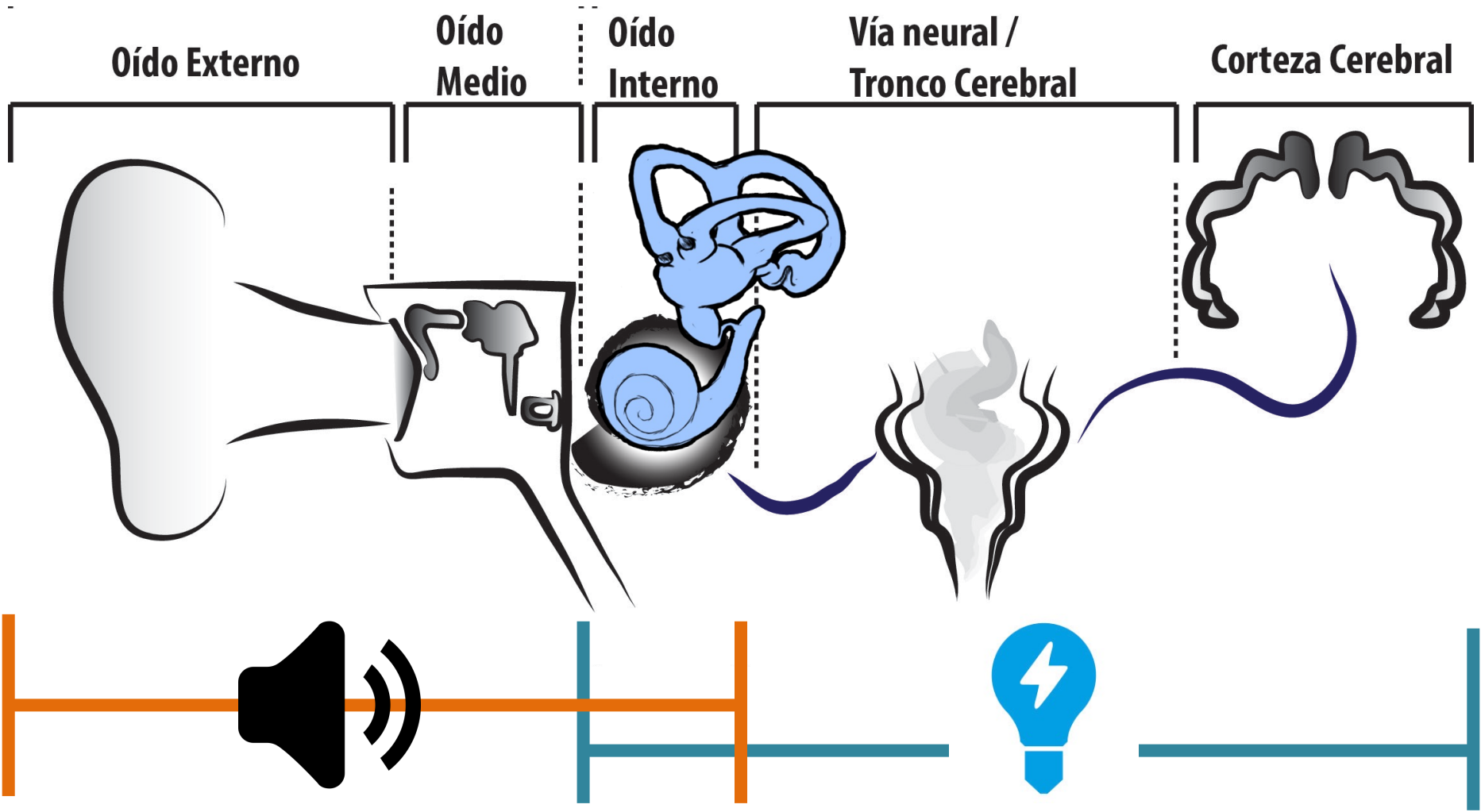
Onda
Mecánica

Señal
bio-eléctrica









Onda
Mecánica

Señal
bio-eléctrica

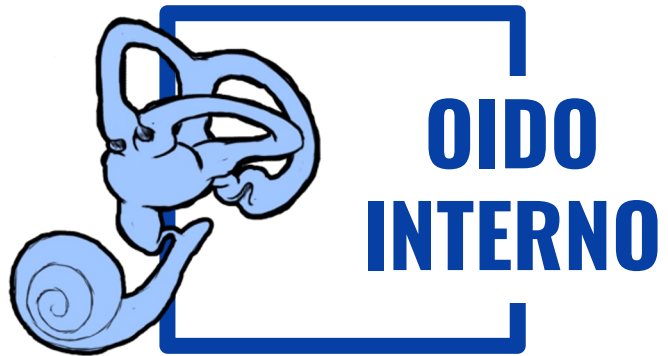
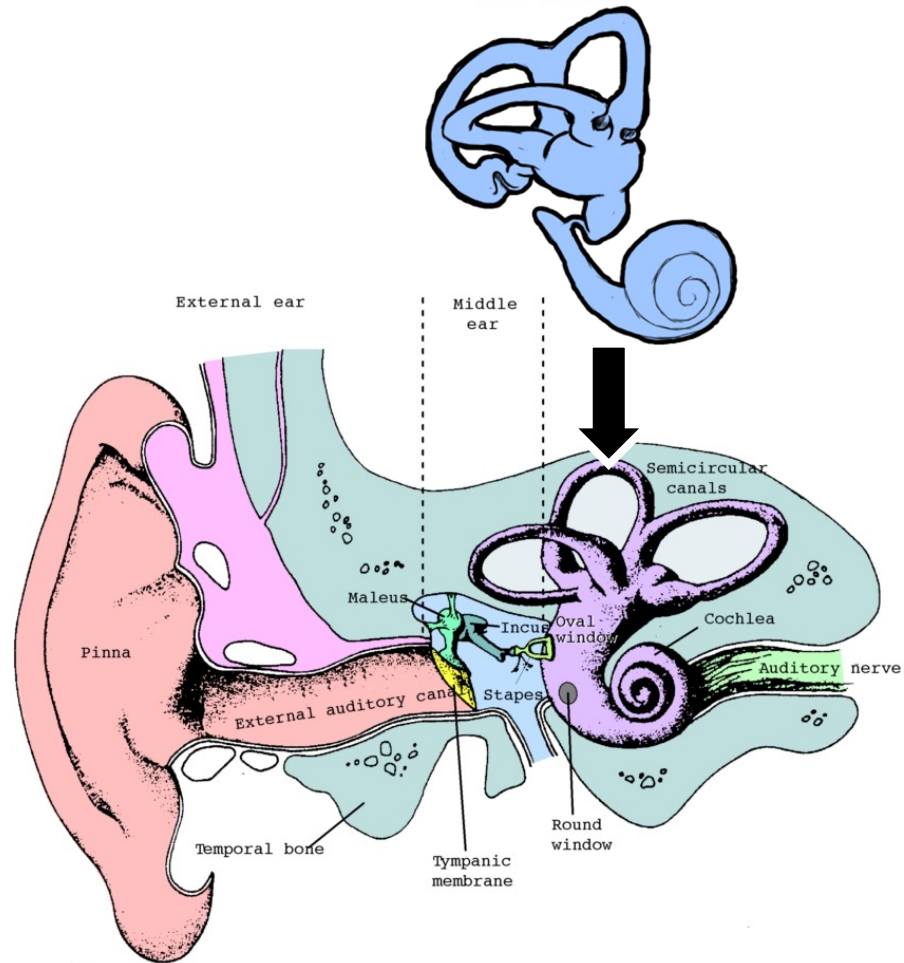
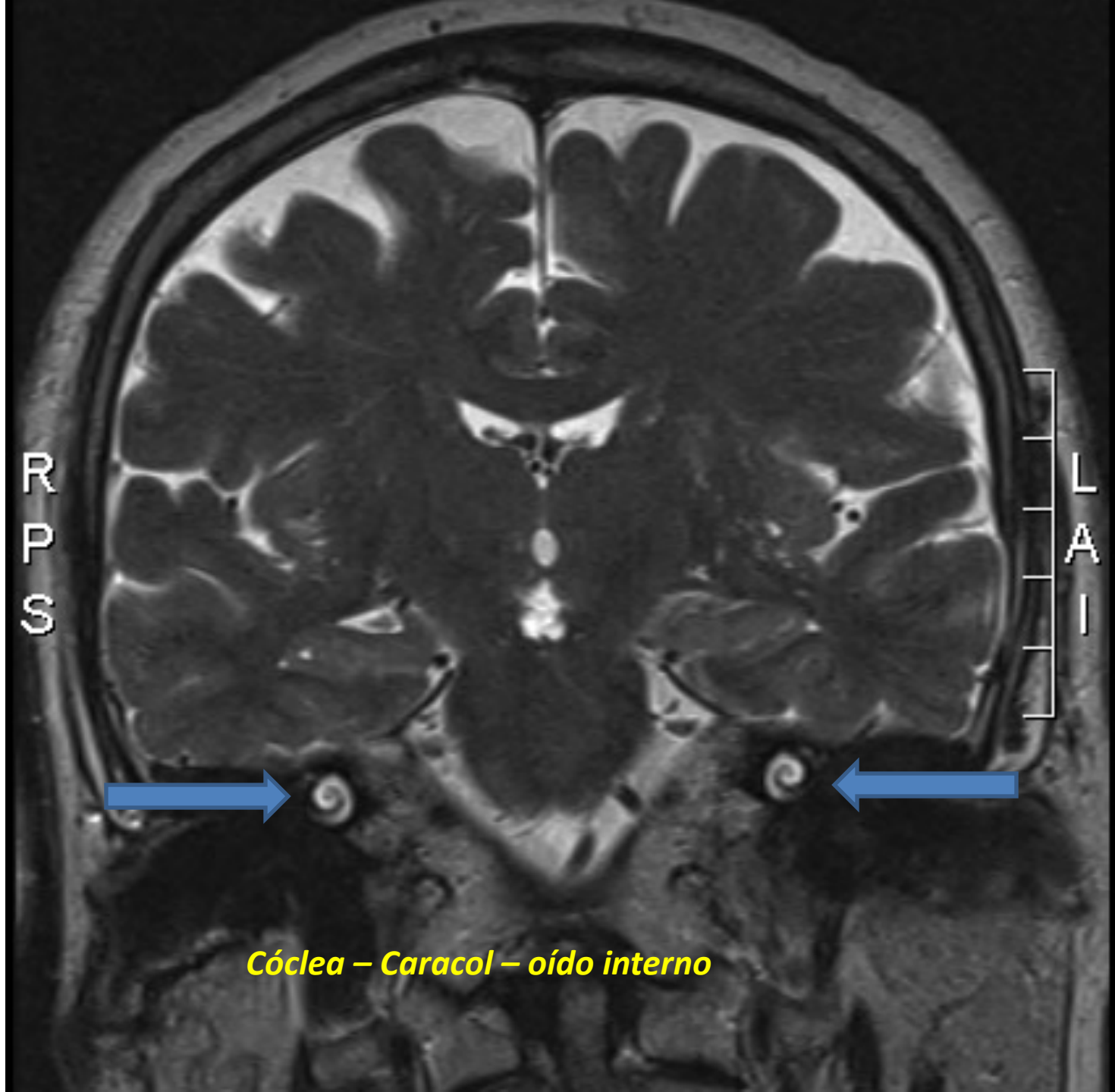


FIG 27.2





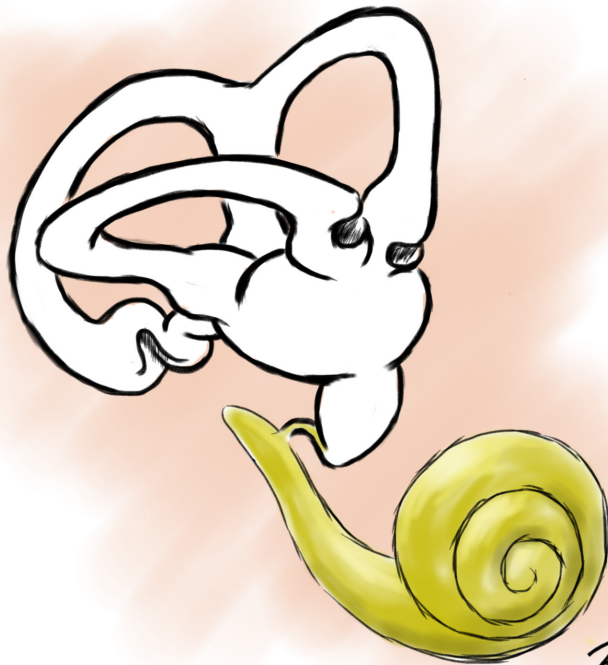
R
P
S

L
A
I

Cóclea - Caracol - oído interno

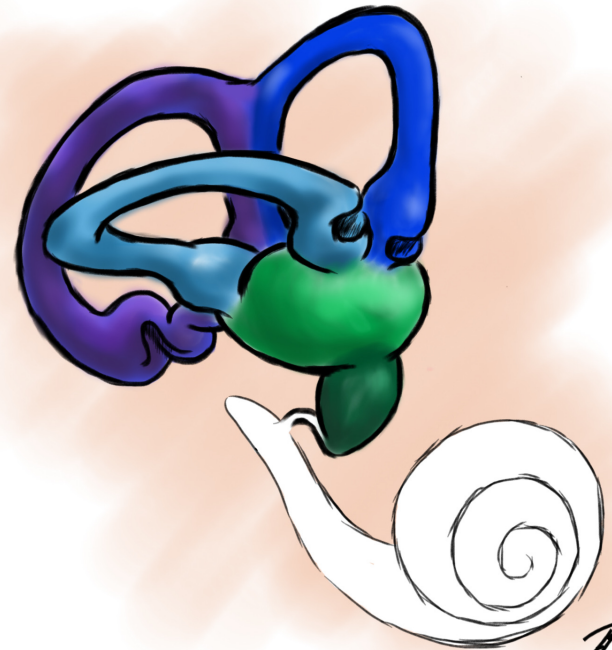


Breimbauer
Breimbauer 2012



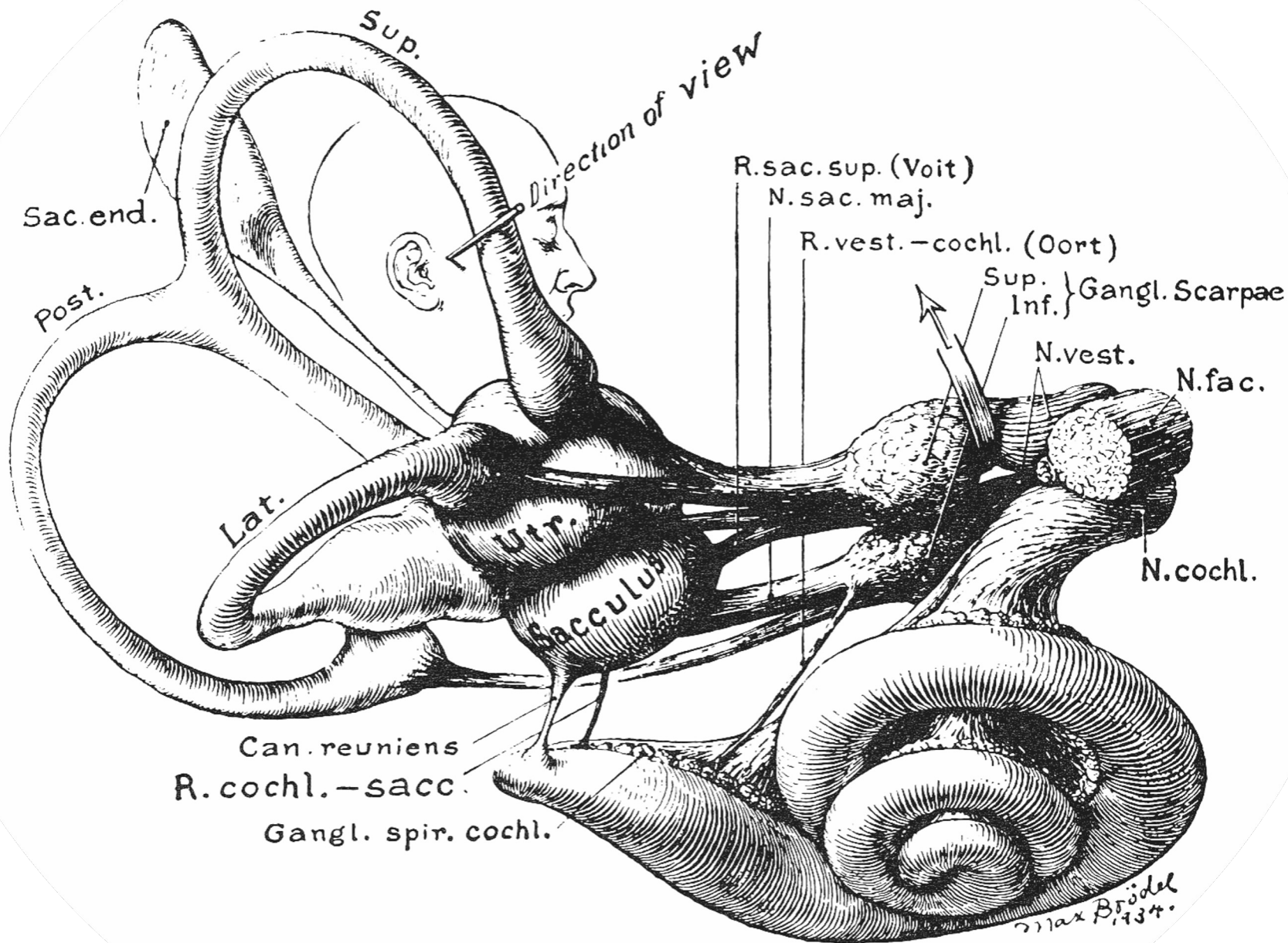
Breinhaut
Breinhaut 2012

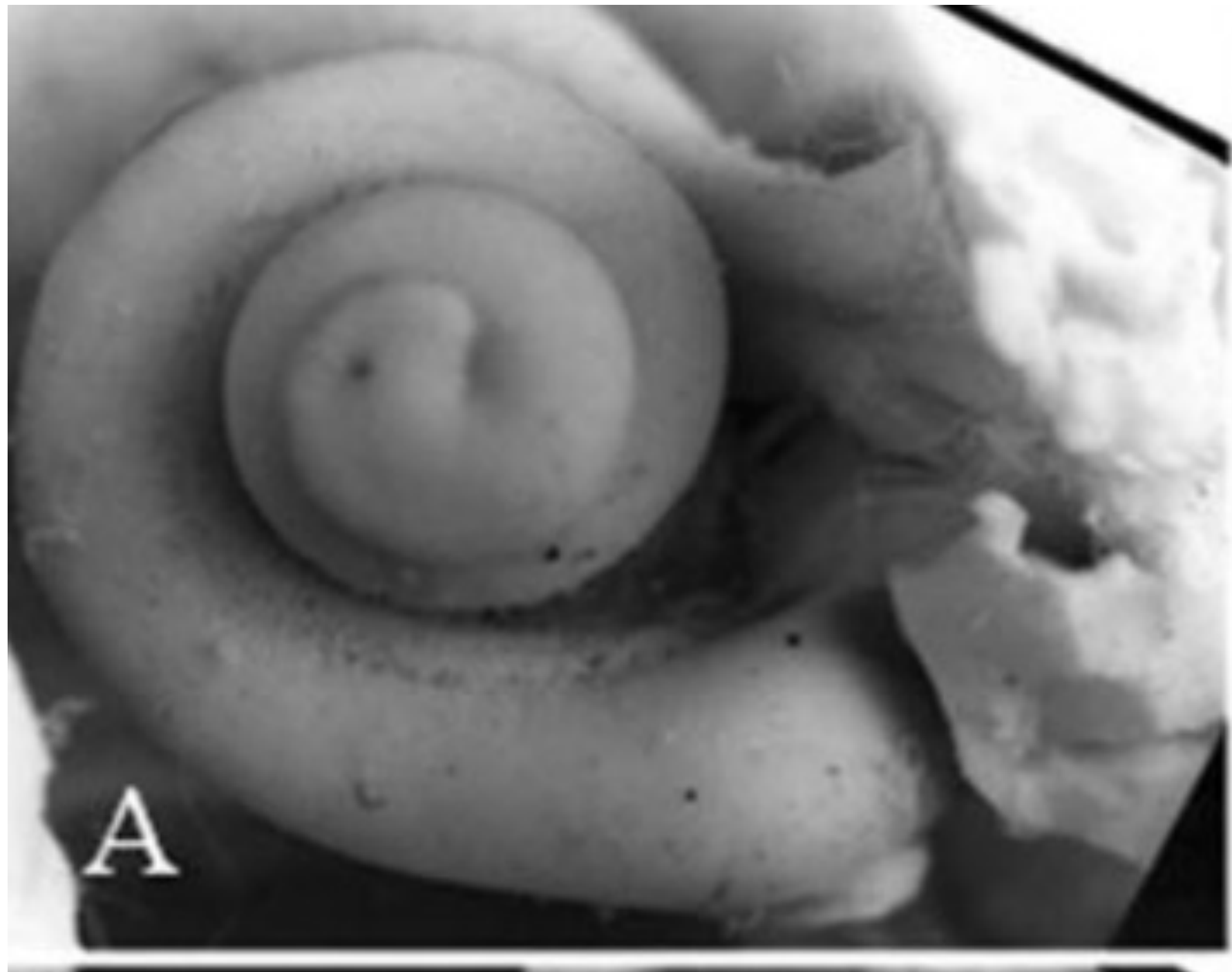
AUDITIVO

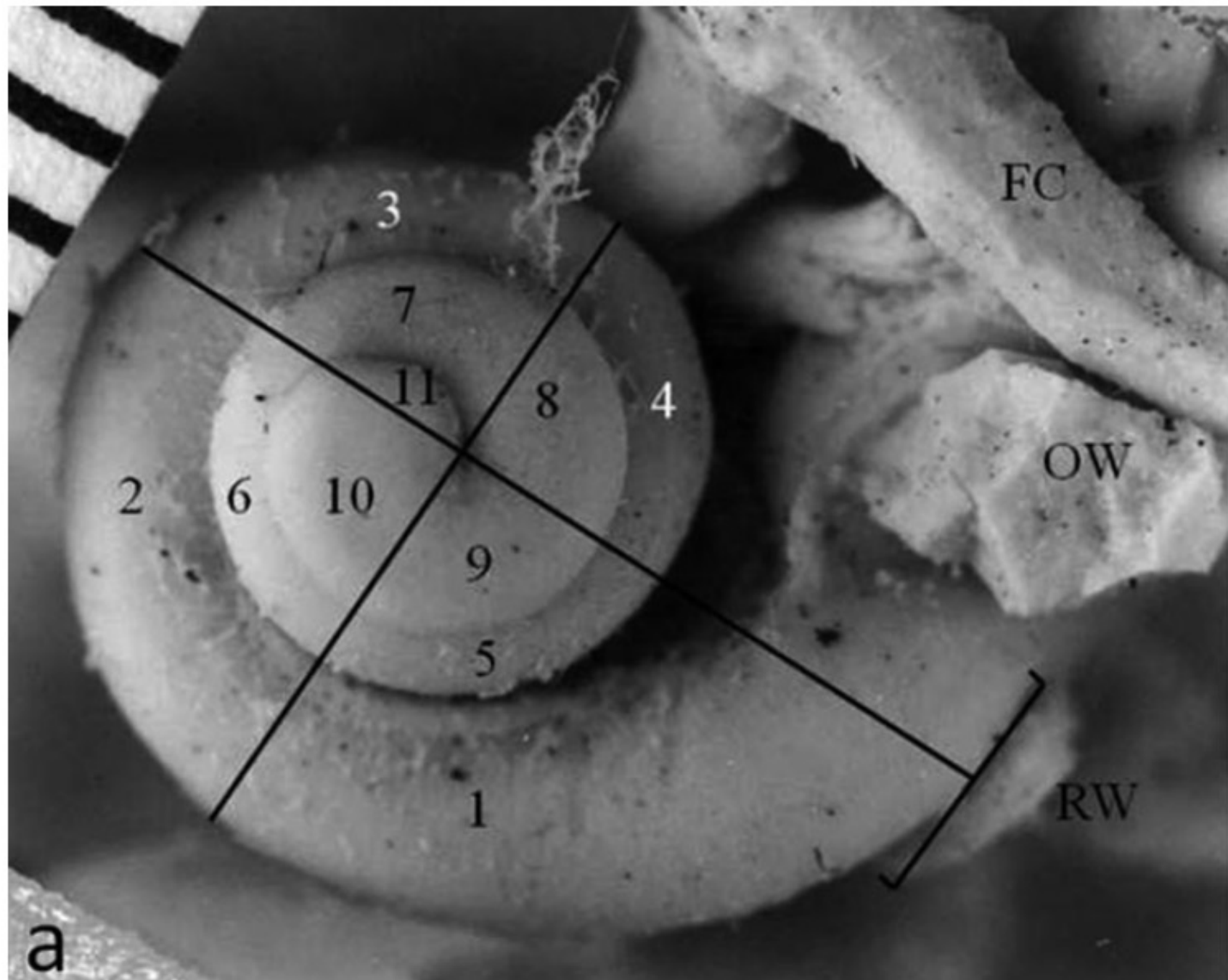


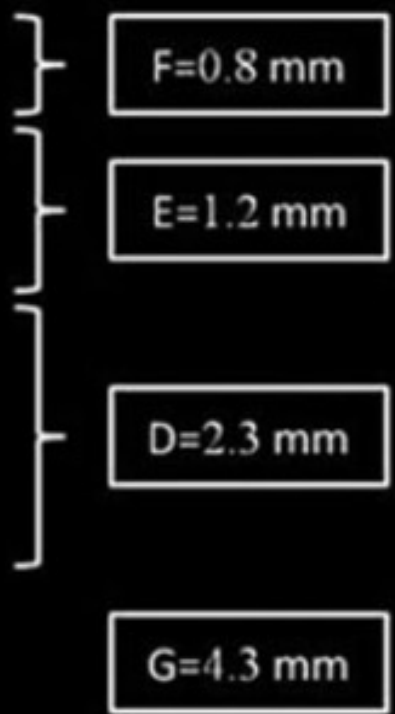
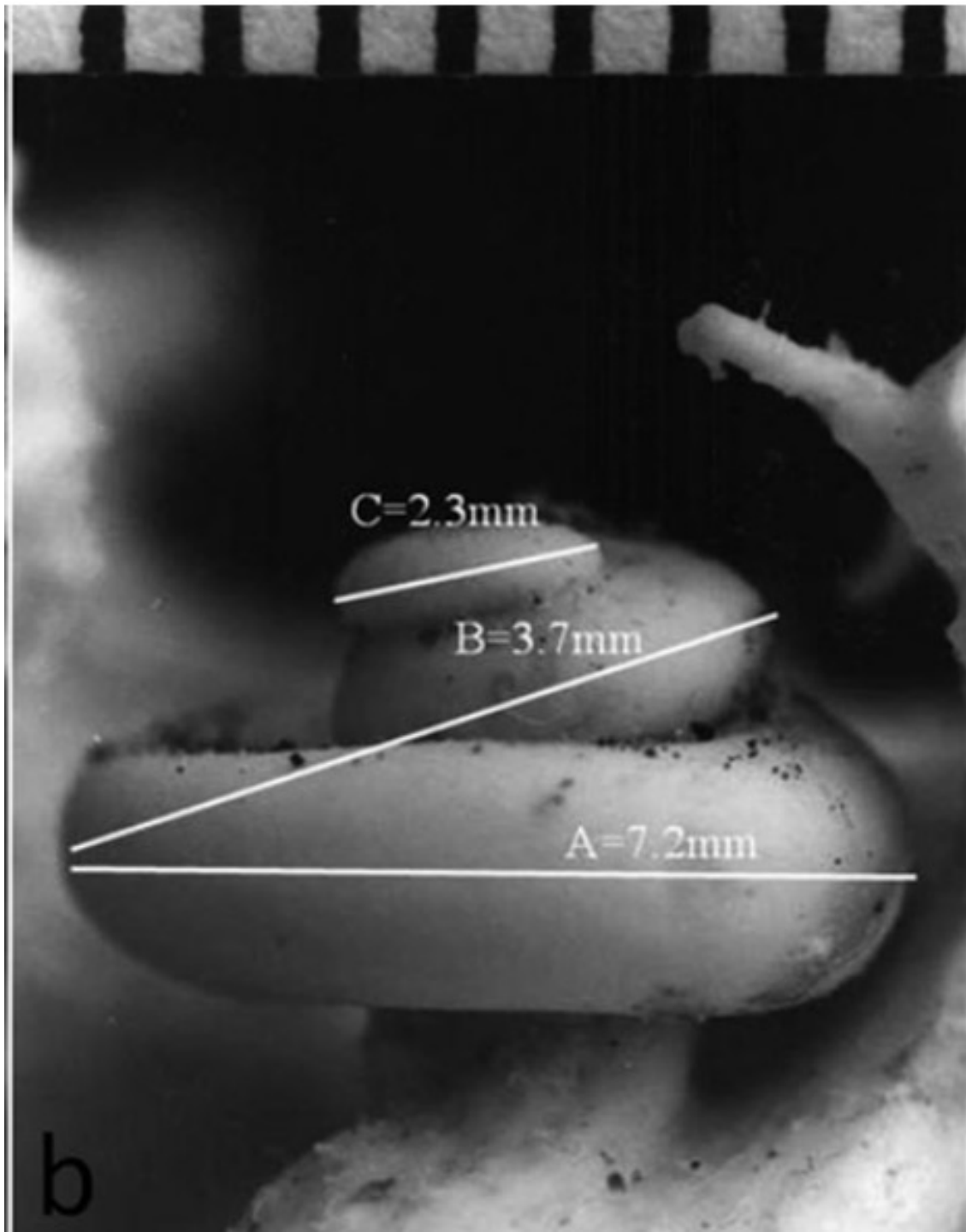
Breinhaut
Breinhaut 2012

VESTIBULAR

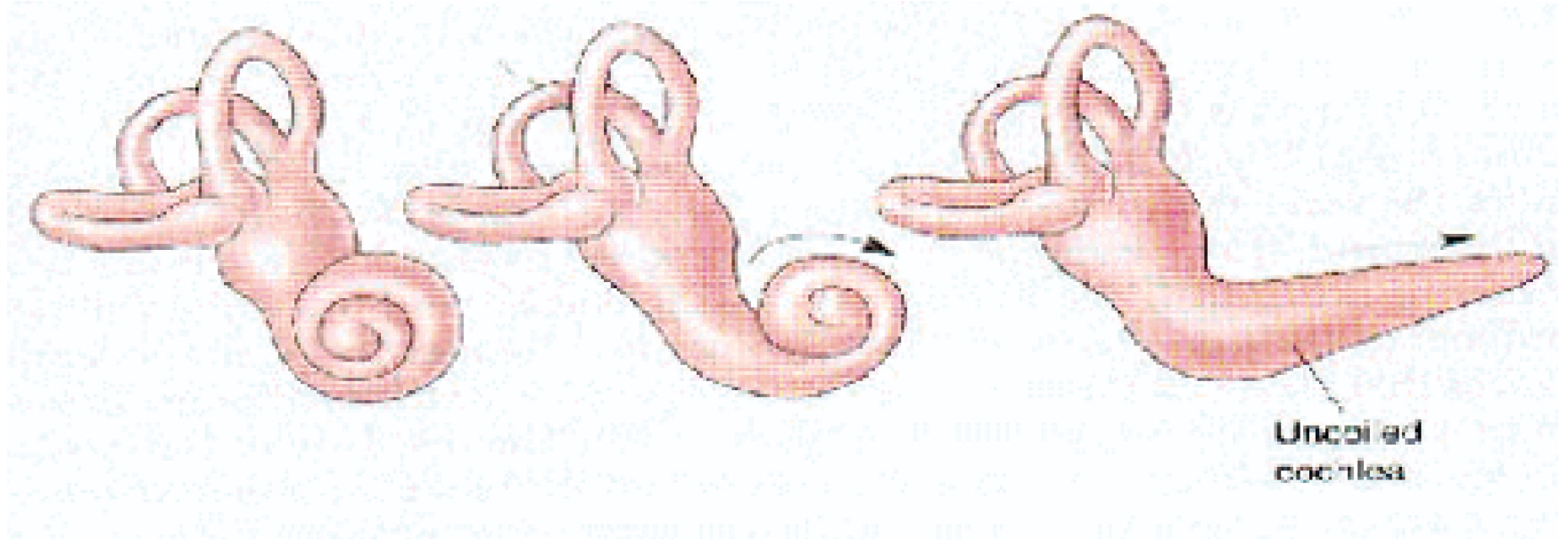
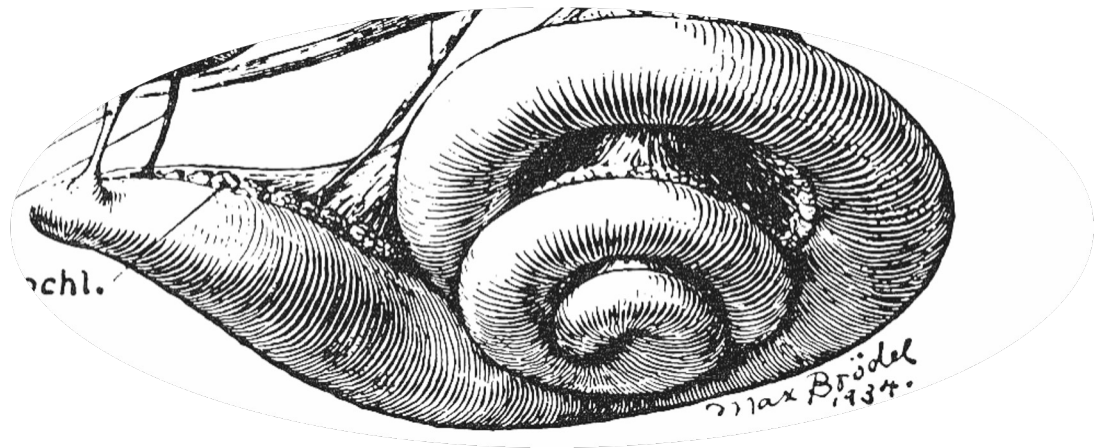


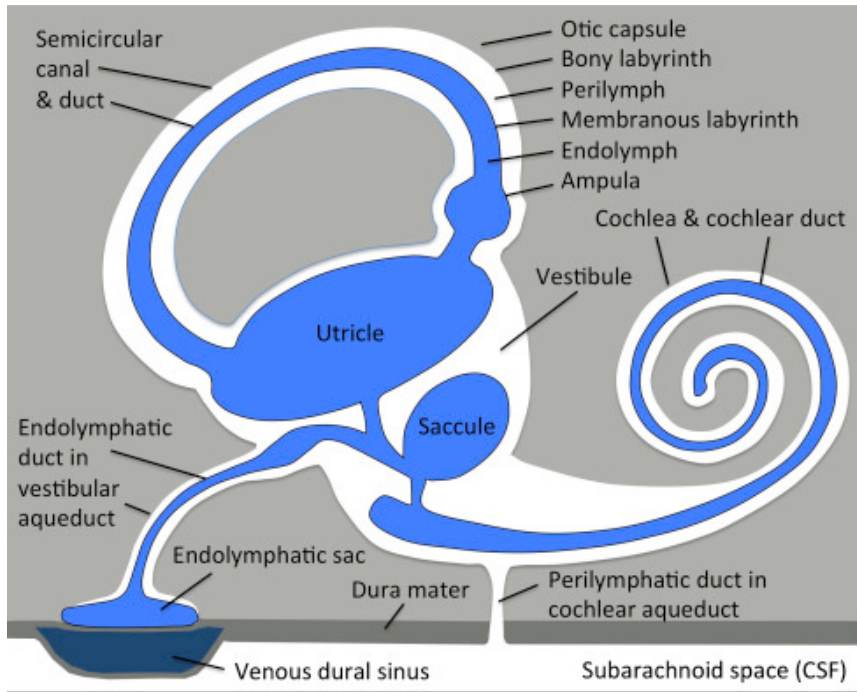
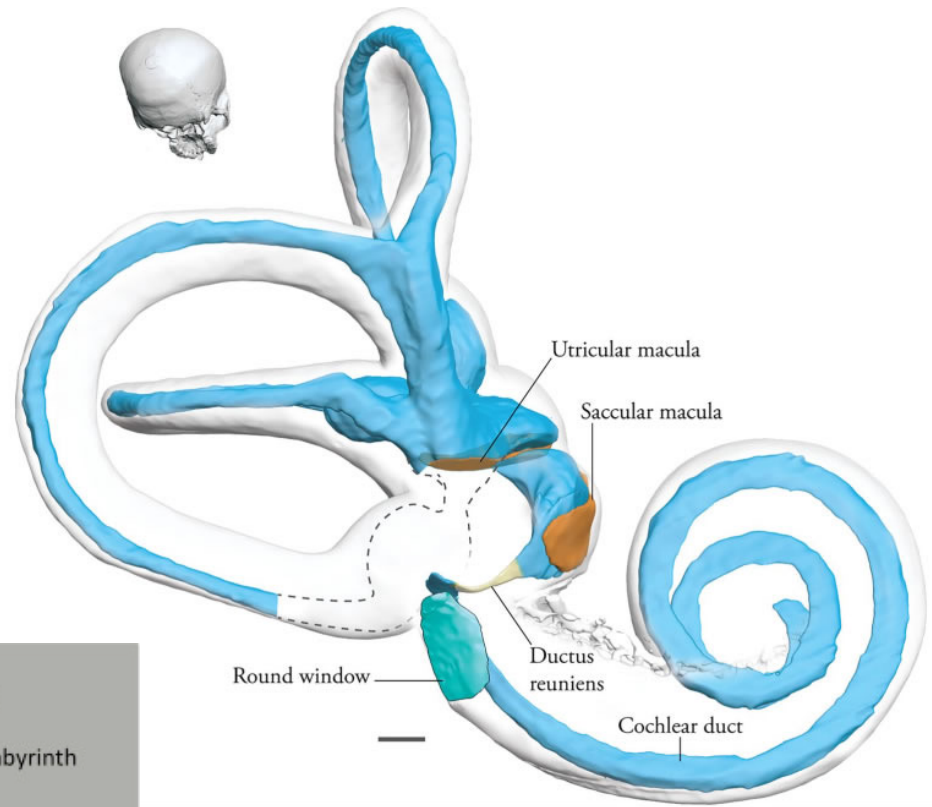


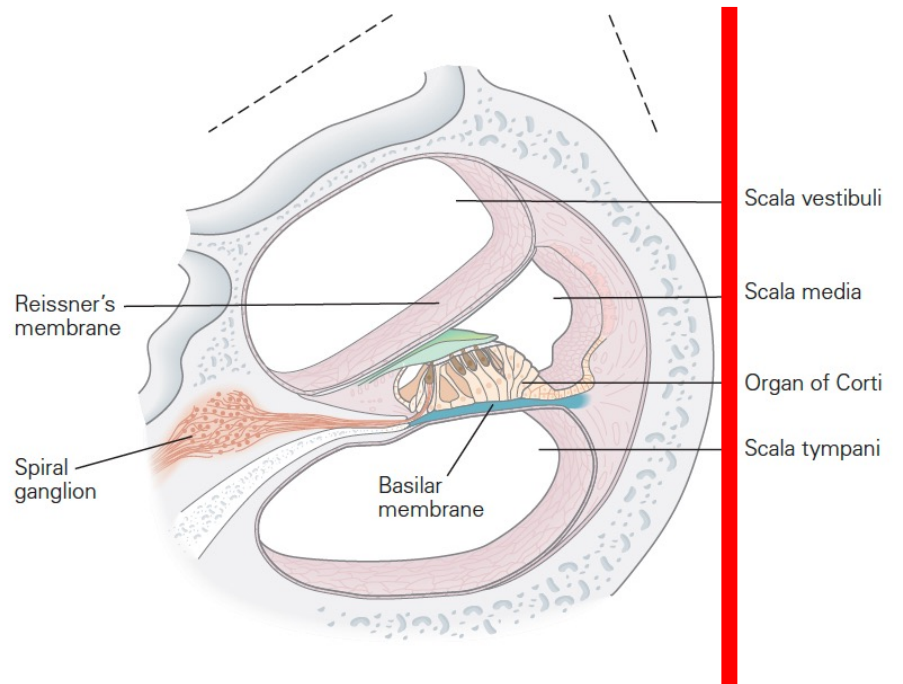
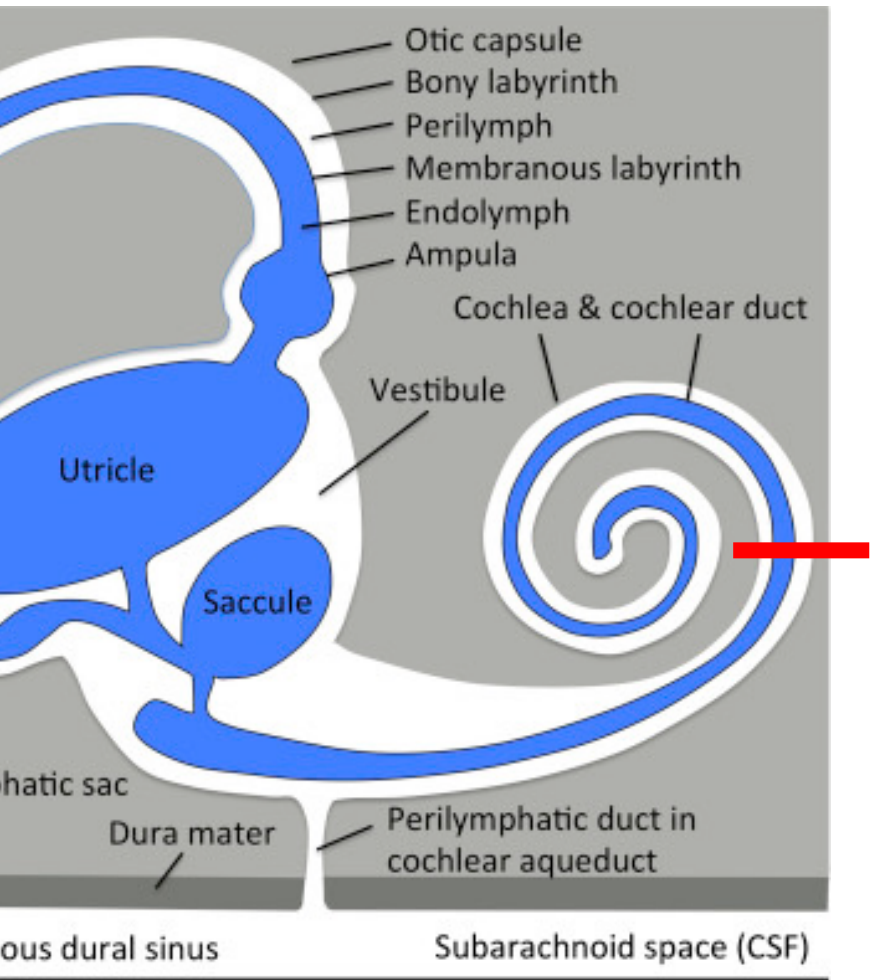


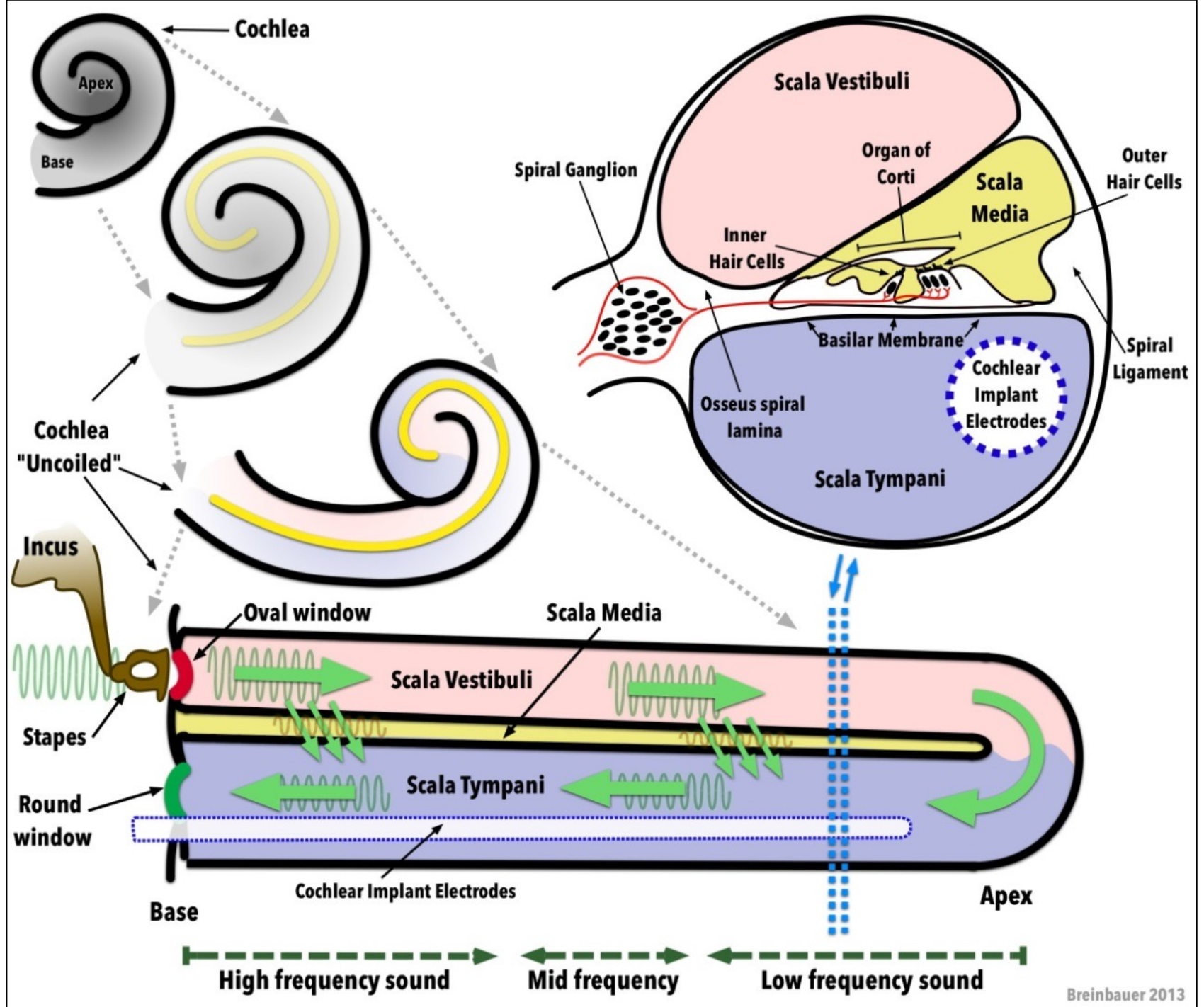


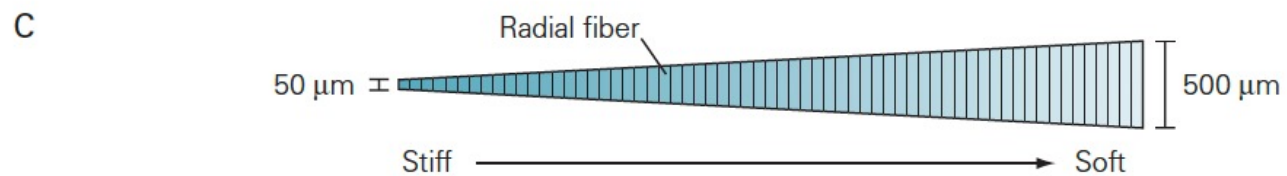
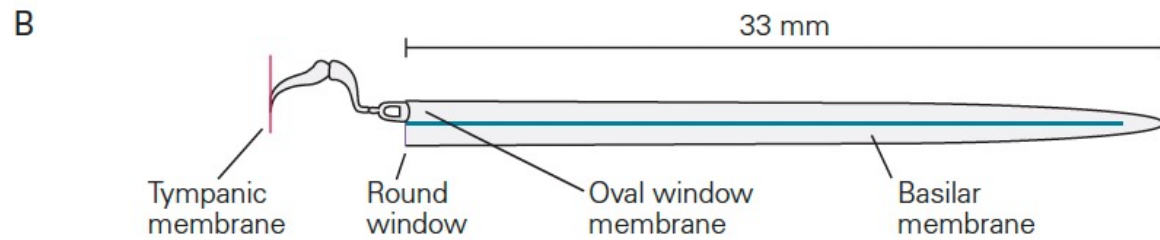
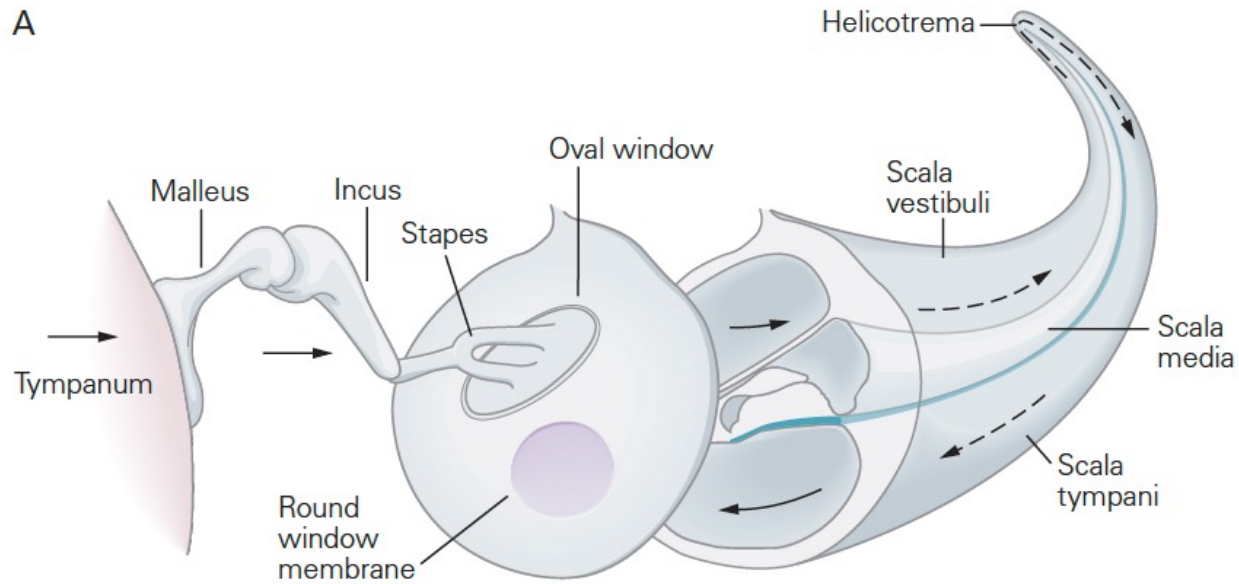
b

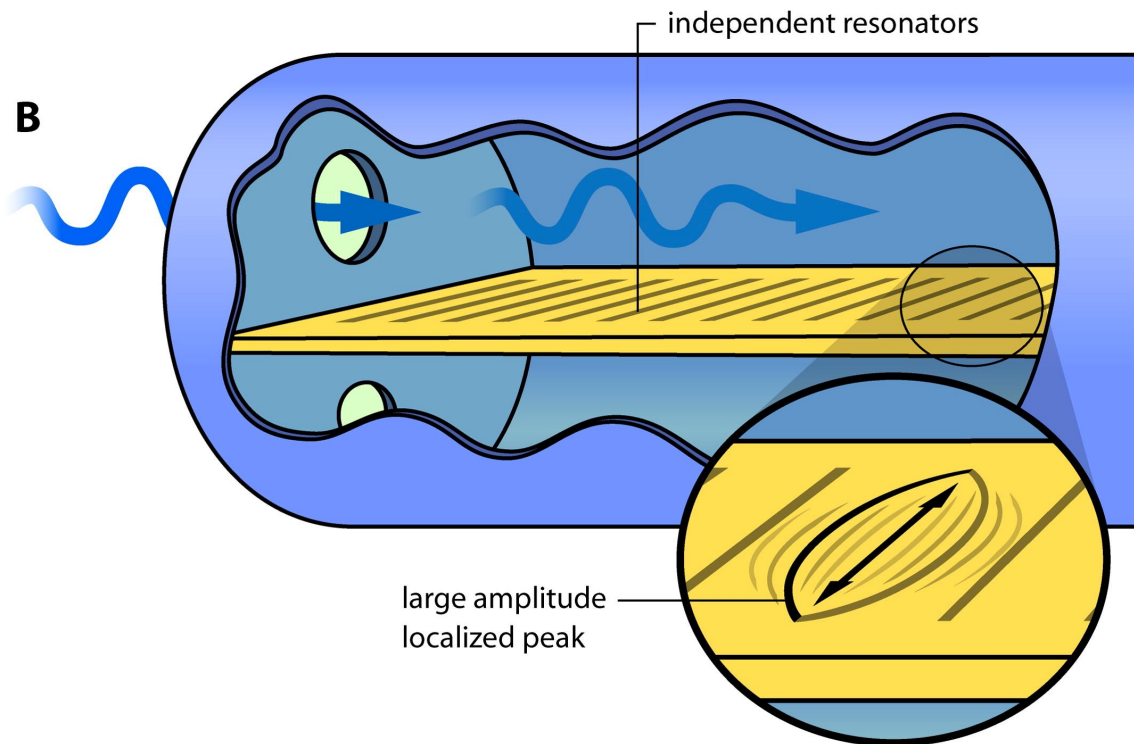
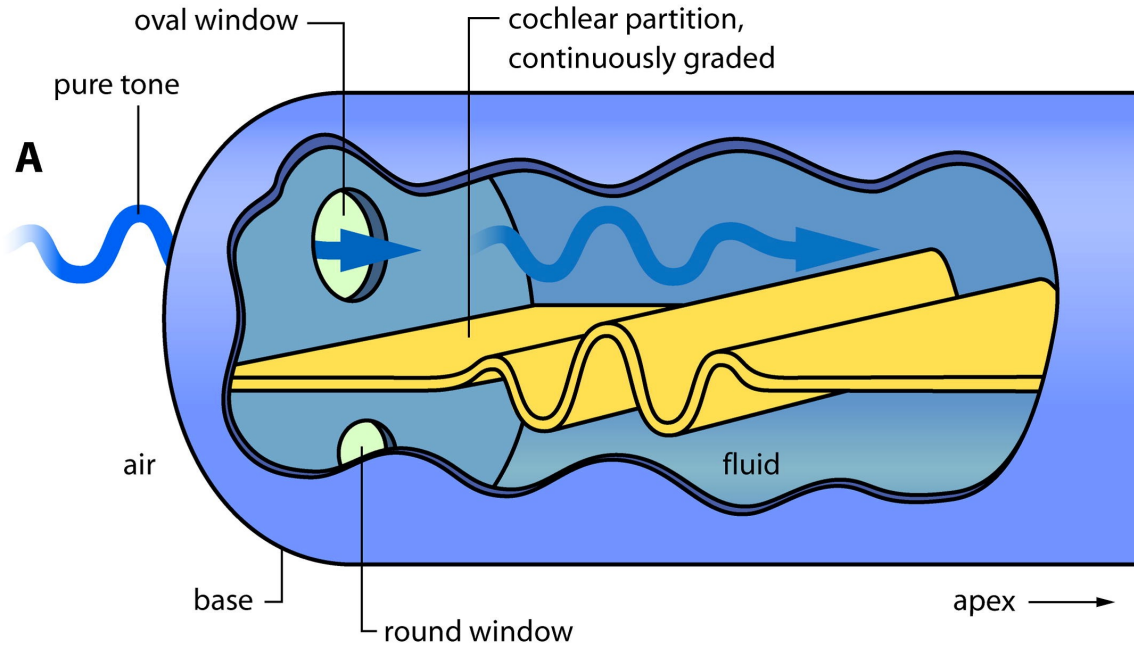












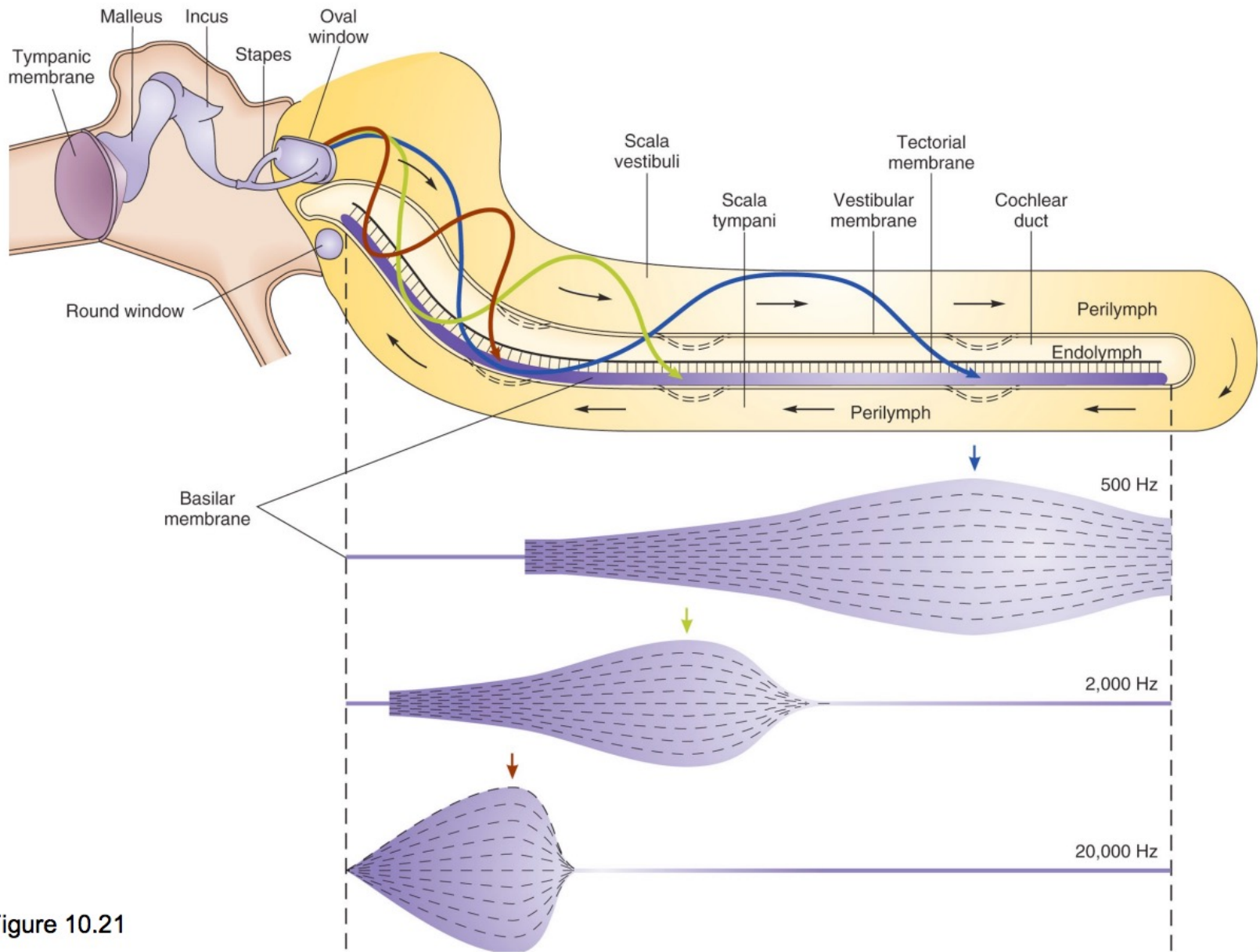
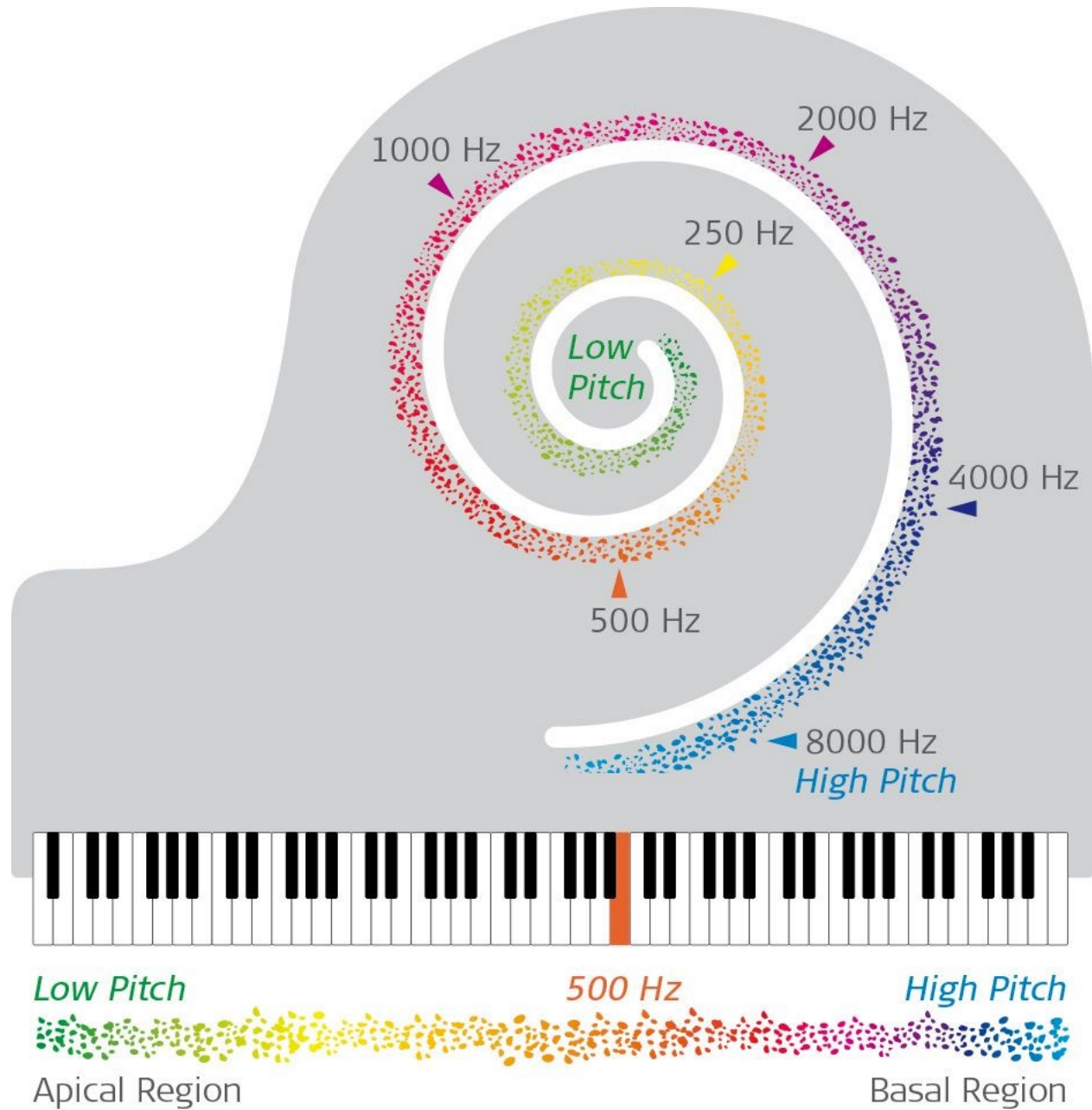
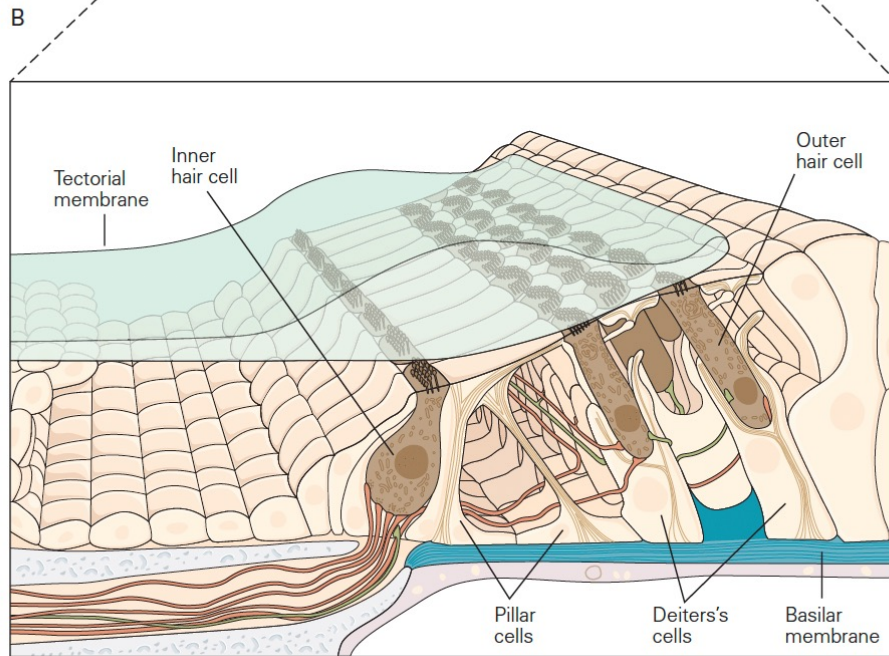
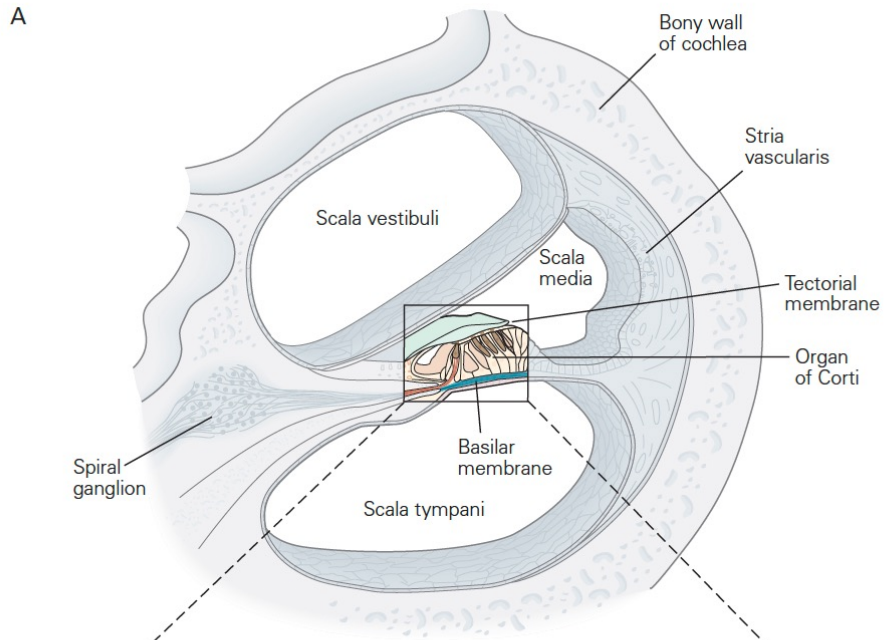


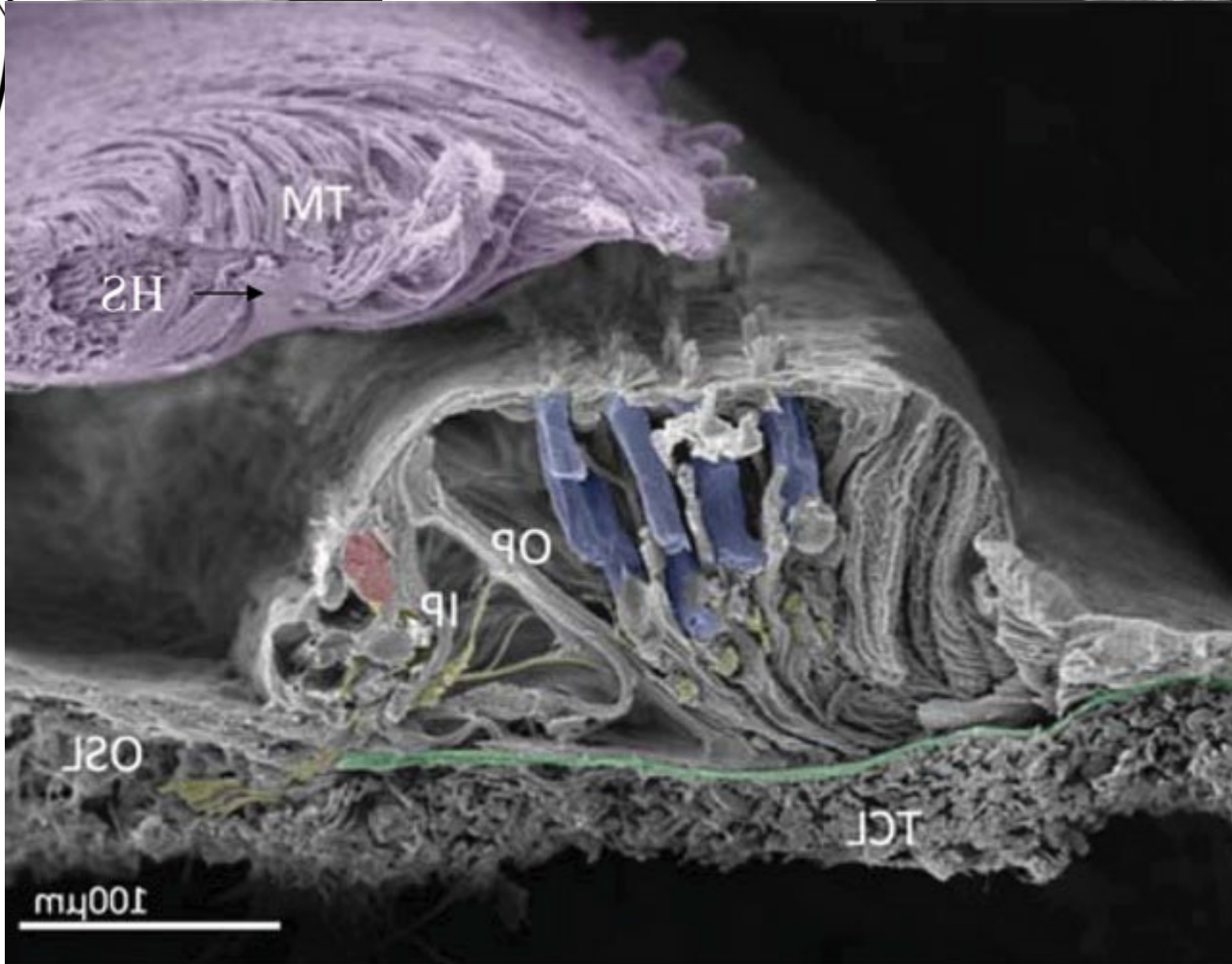
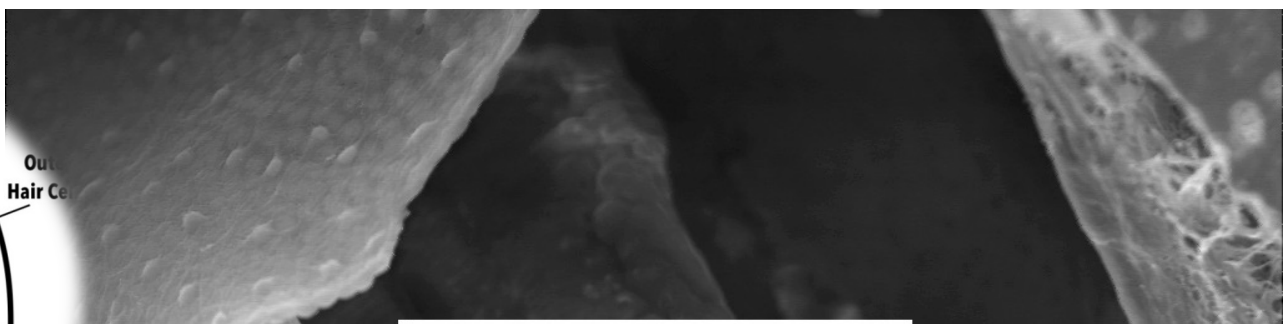
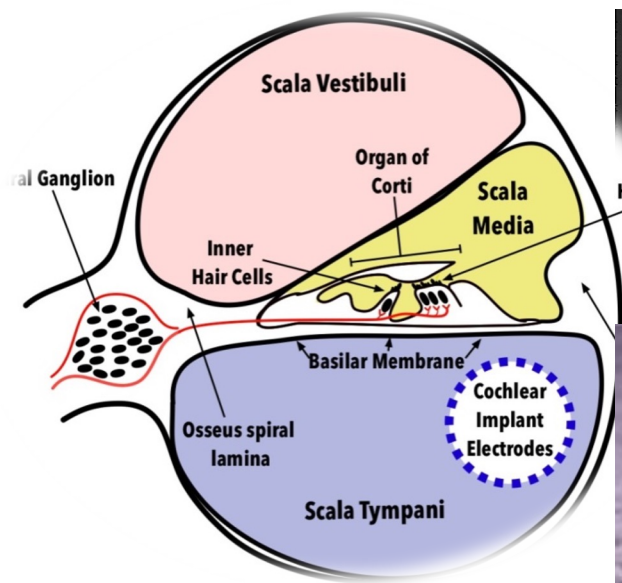
Figure 10.21

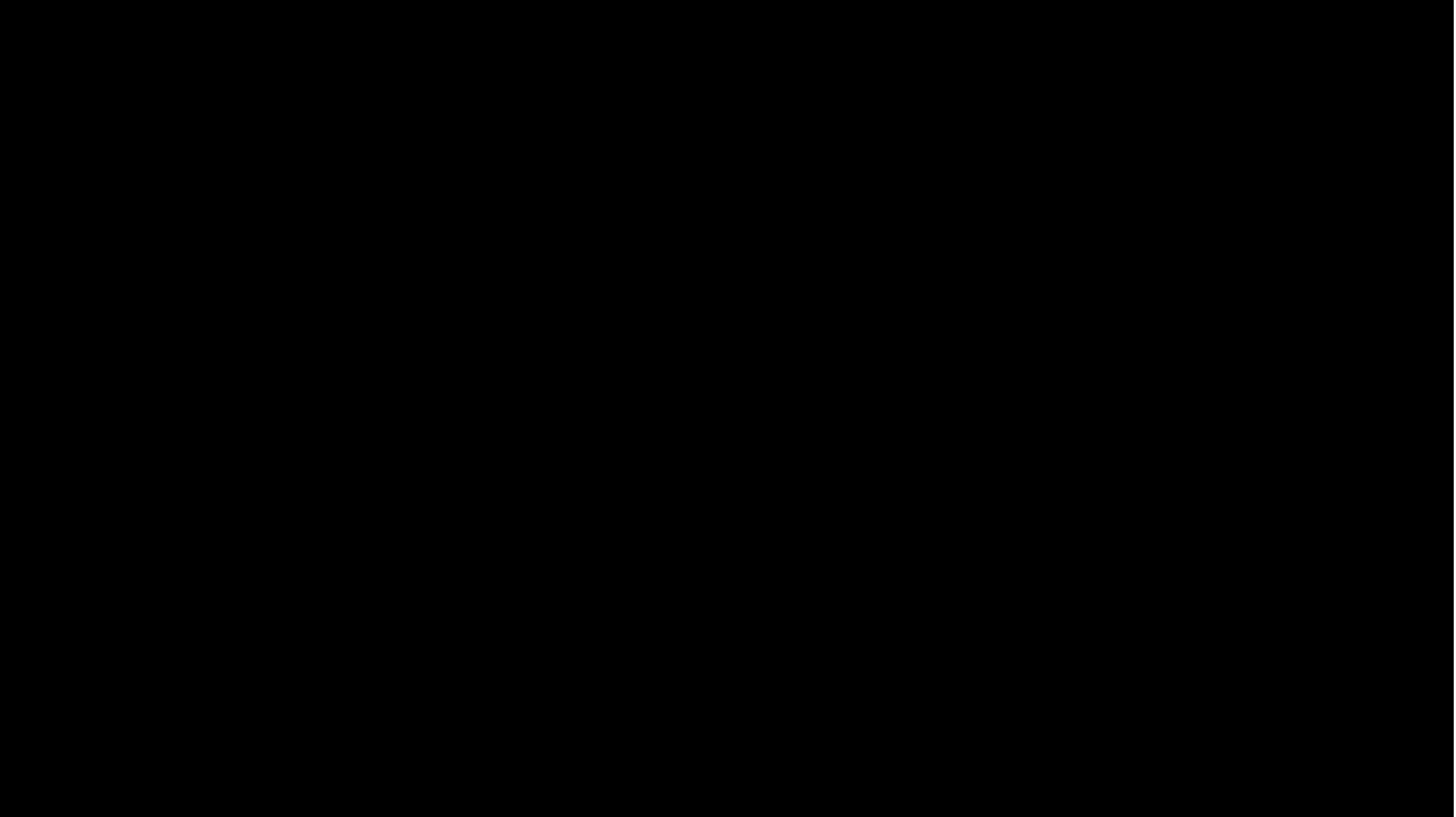


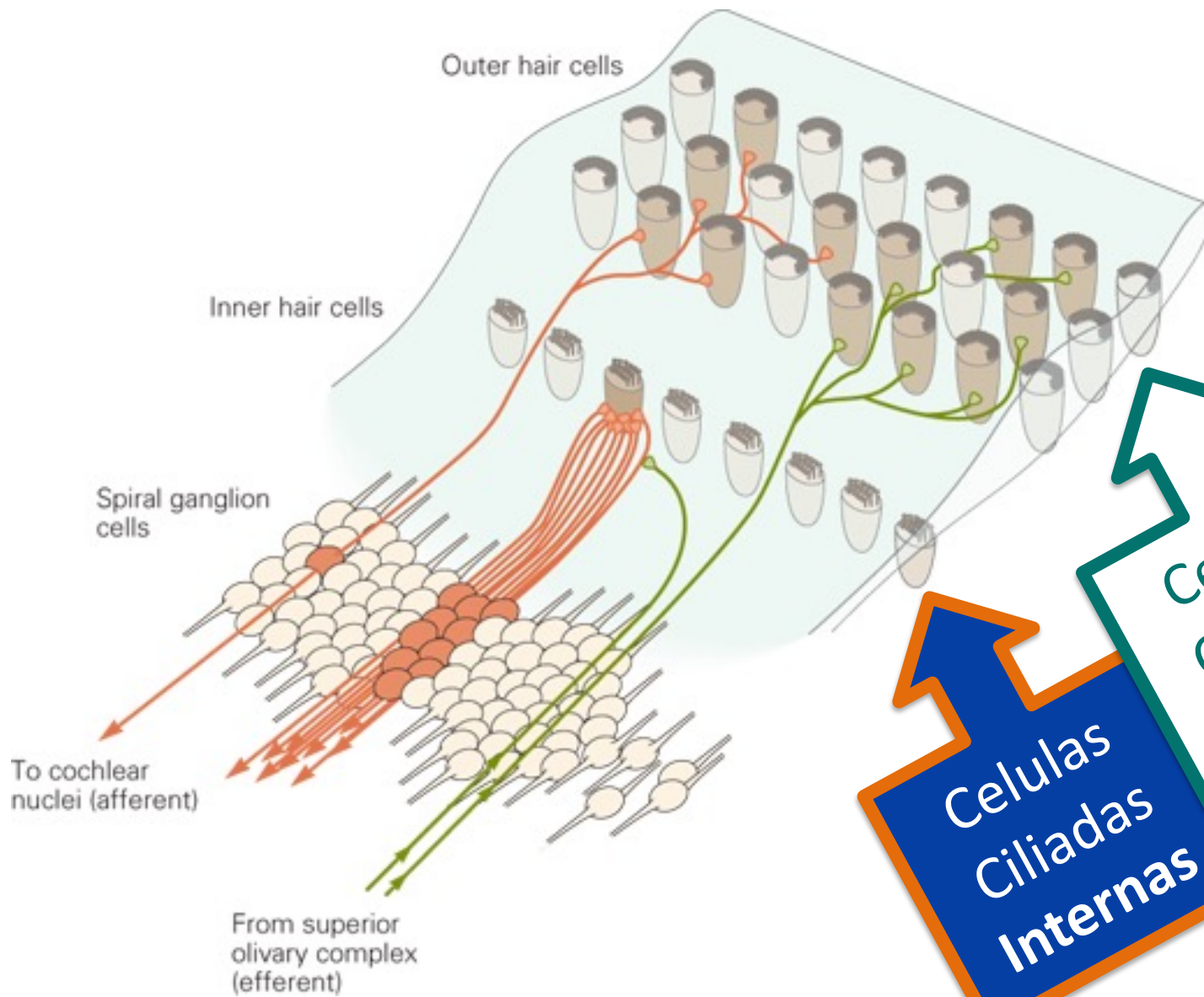
Tonotopía





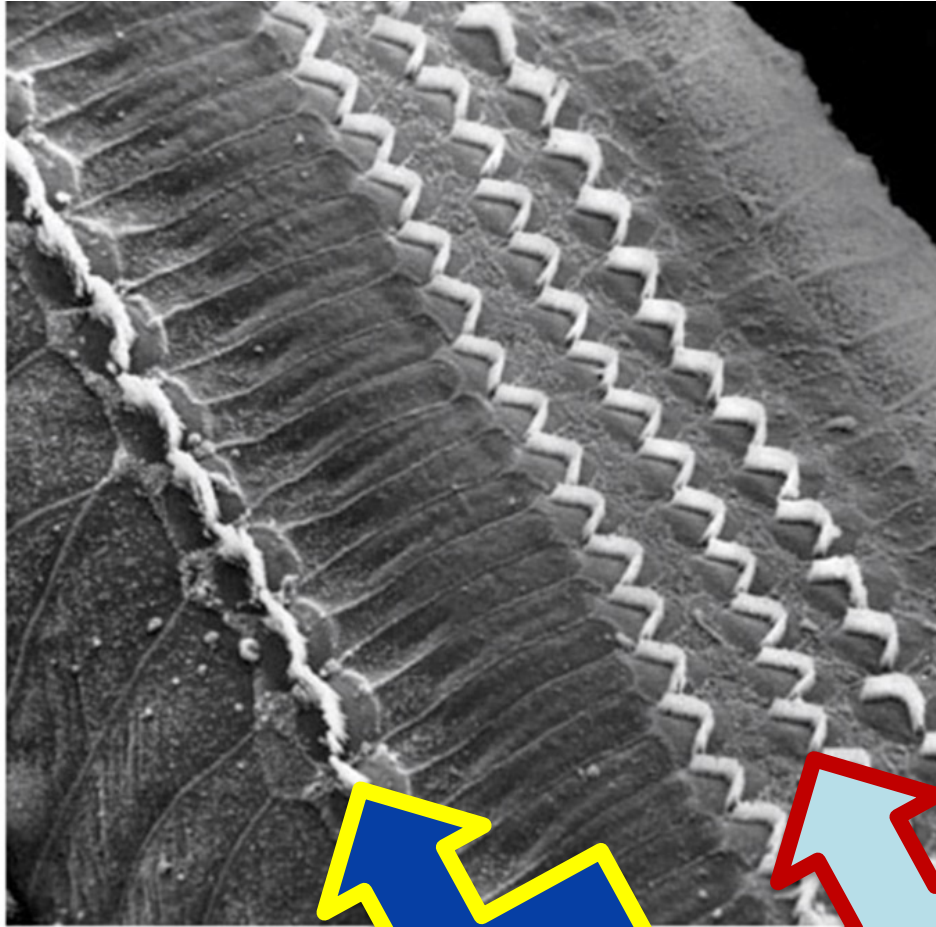






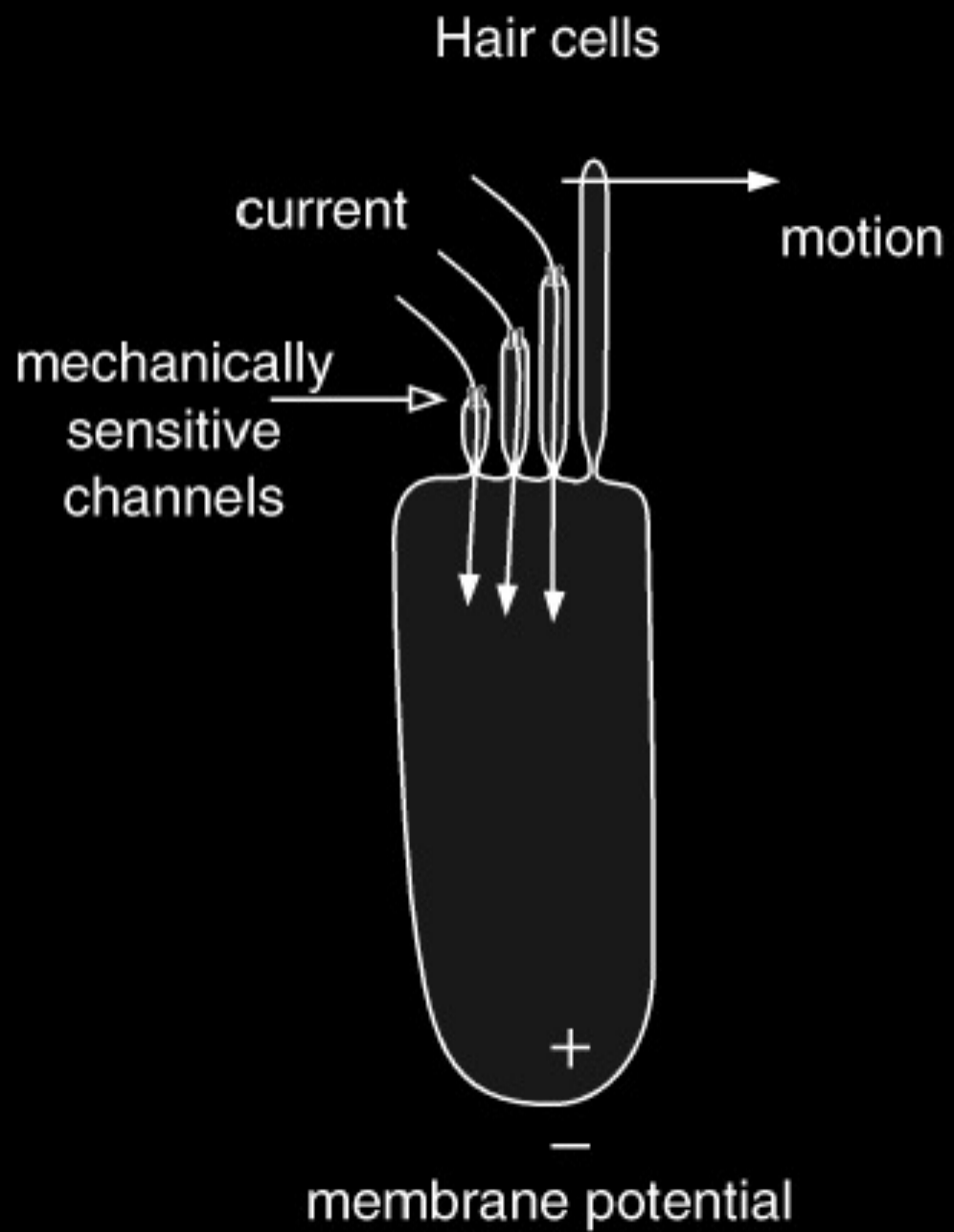
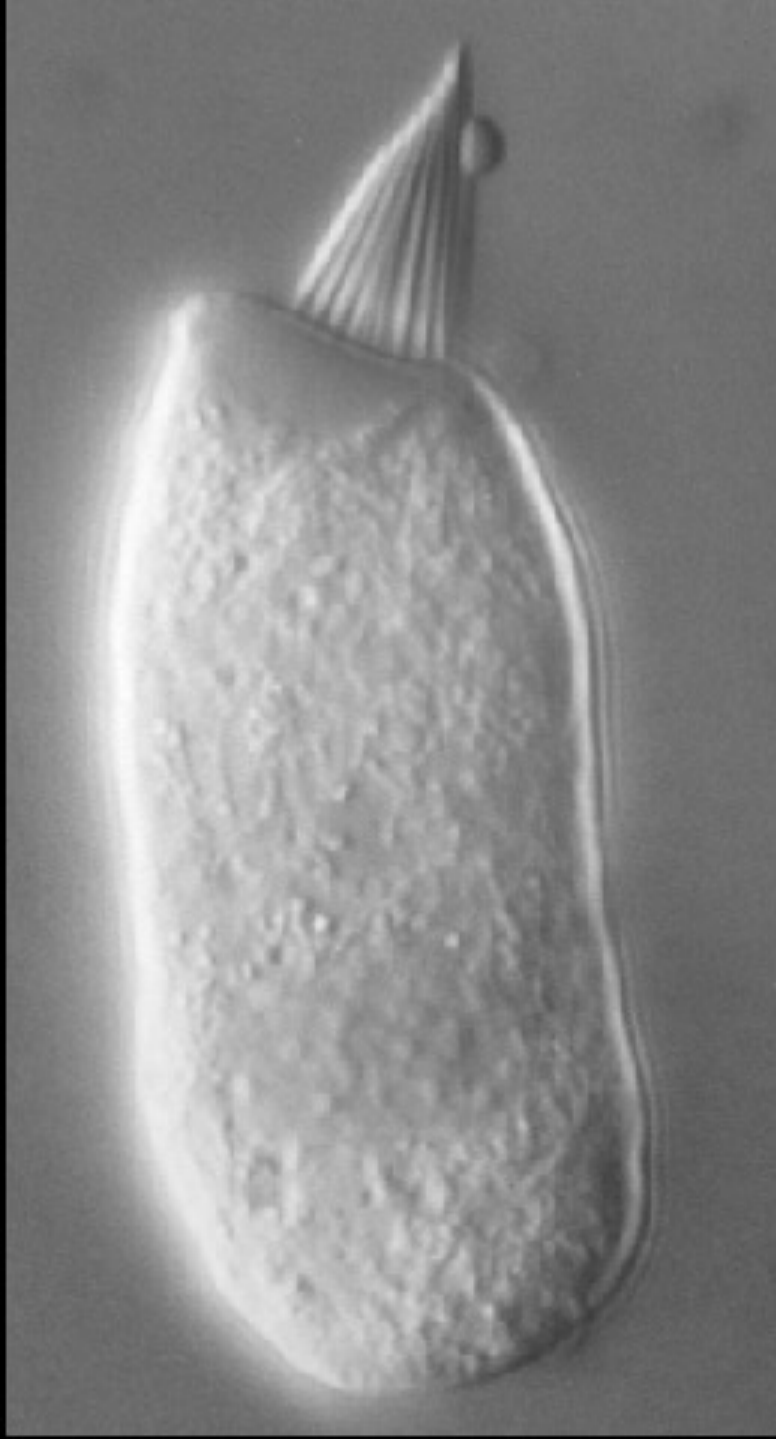
Celulas Ciliadas Internas

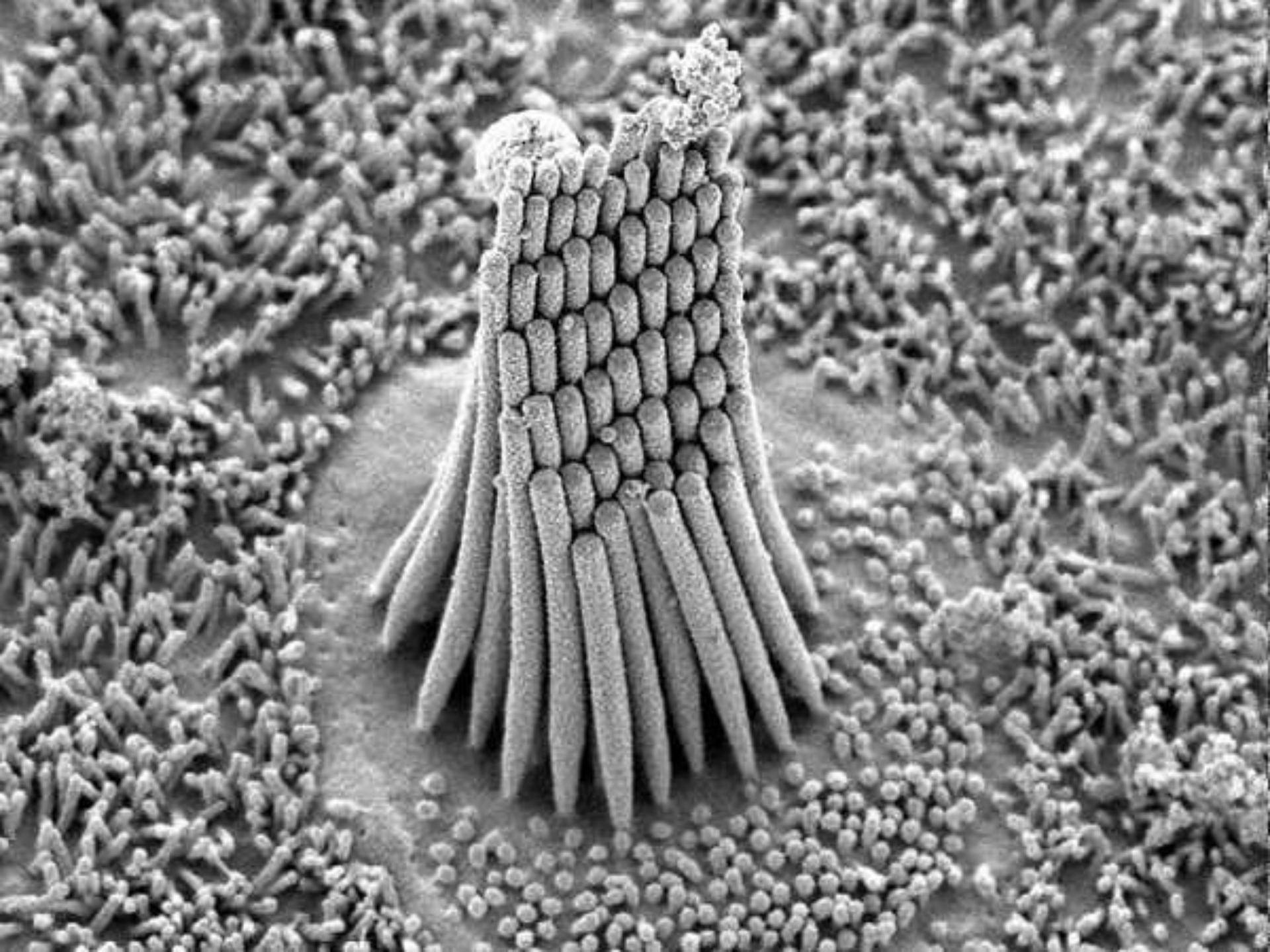
Celulas Ciliadas Externas

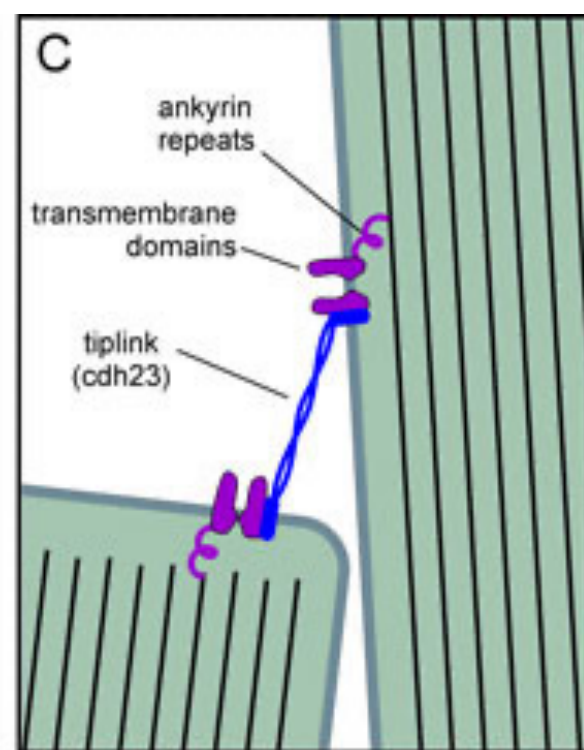
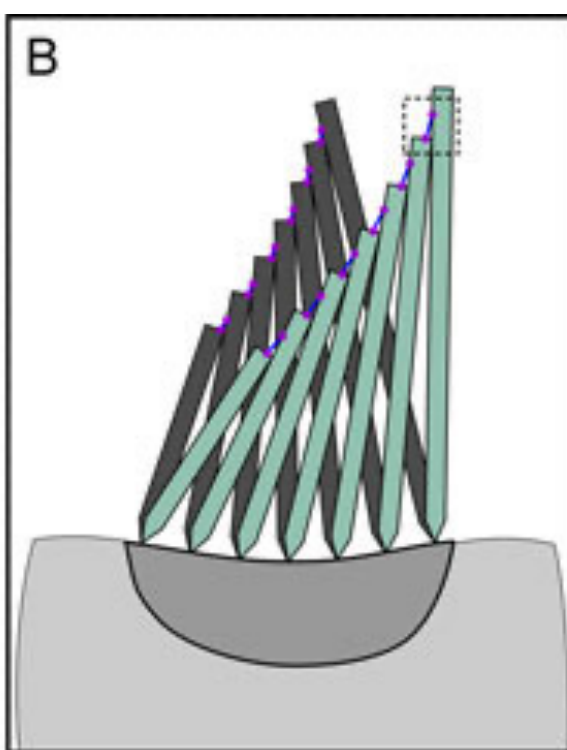
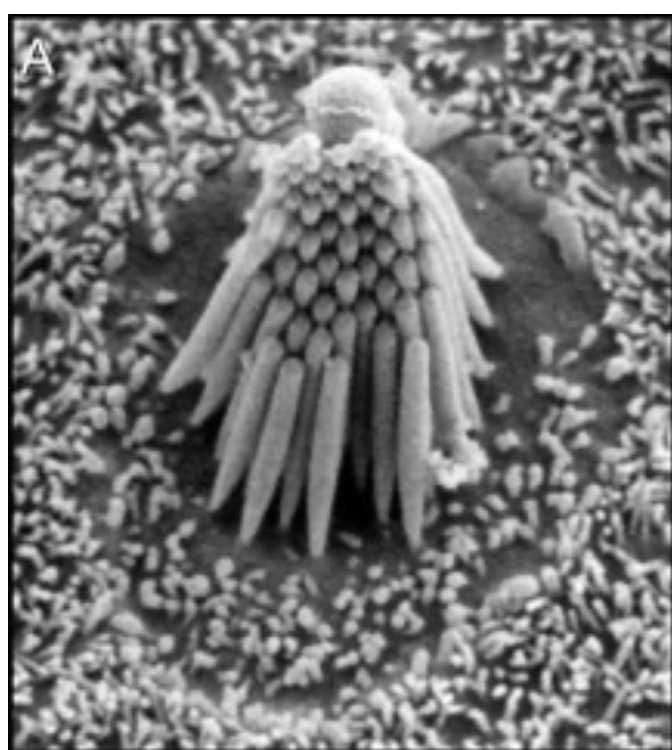


**Celulas
Ciliadas
Internas**

**Celulas
Ciliadas
Externas**

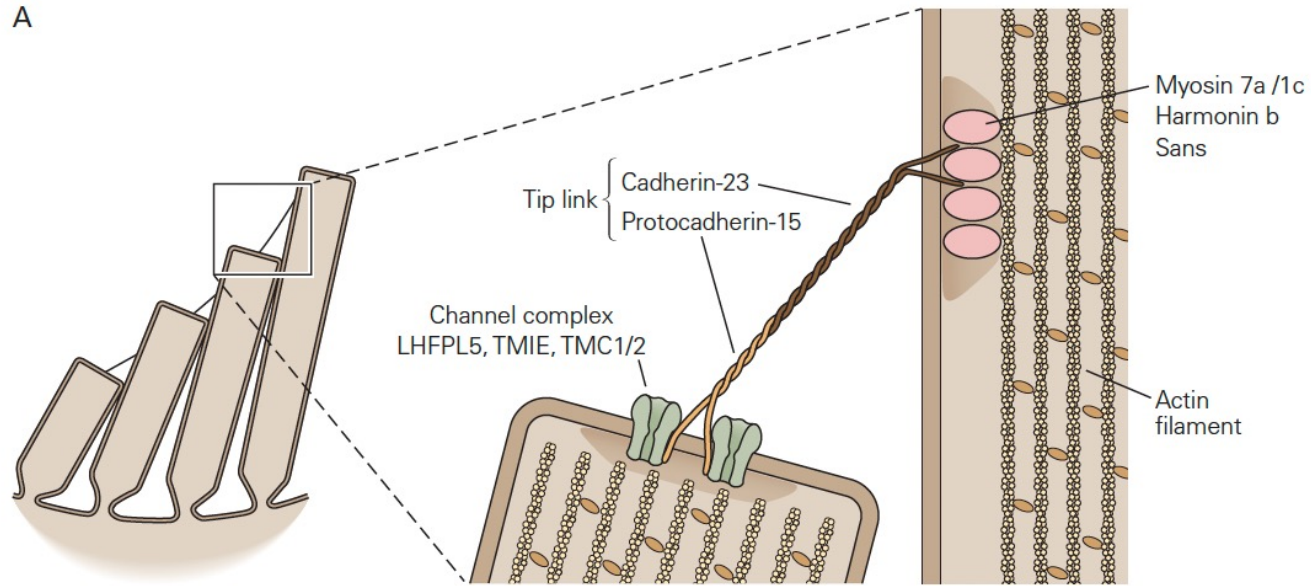






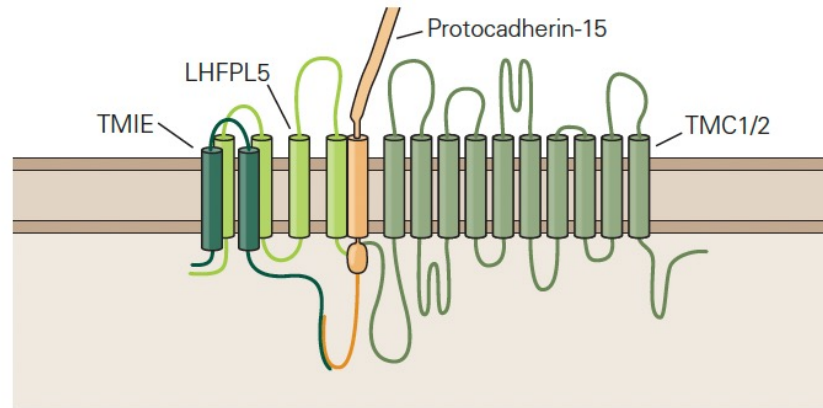
**Theoretical and Computational Biophysics Group
Beckman Institute
University of Illinois at Urbana-Champaign**

A

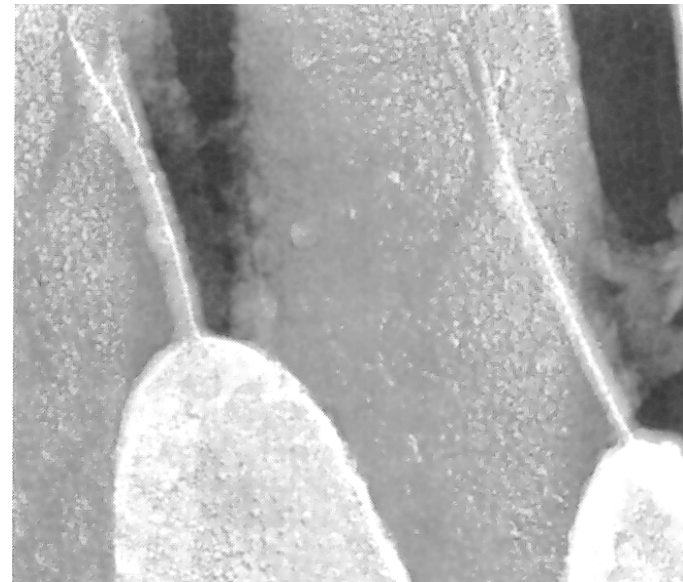
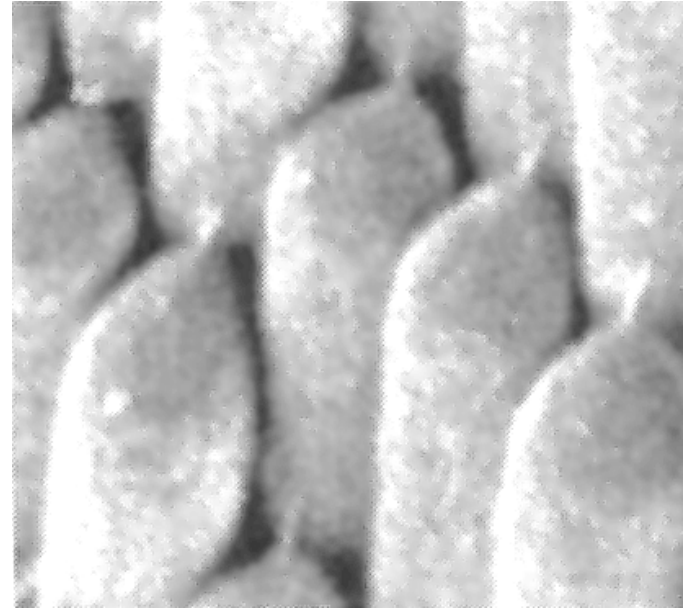
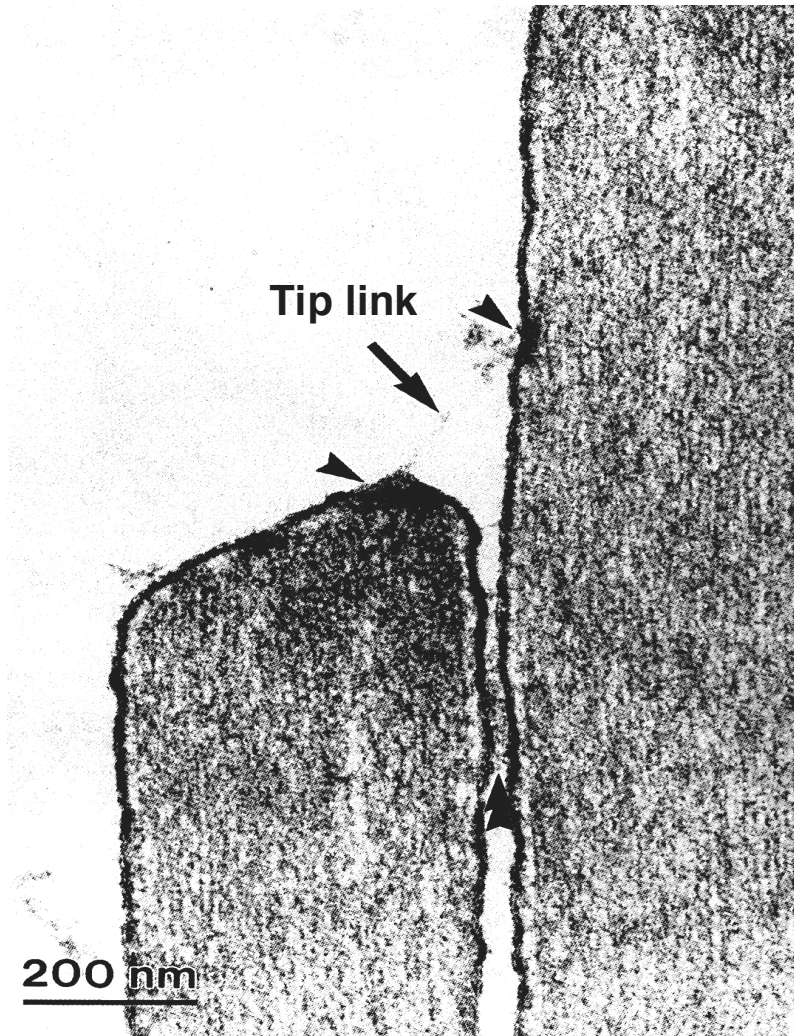


B

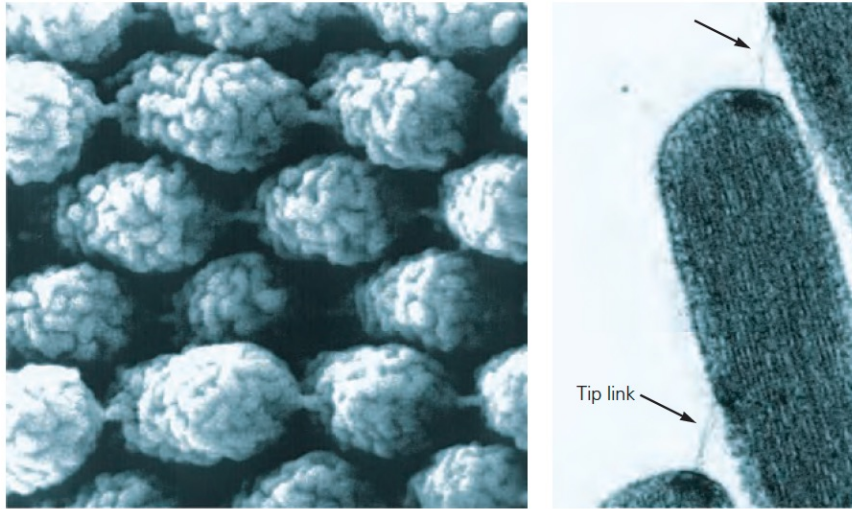
Model of the transduction-channel complex



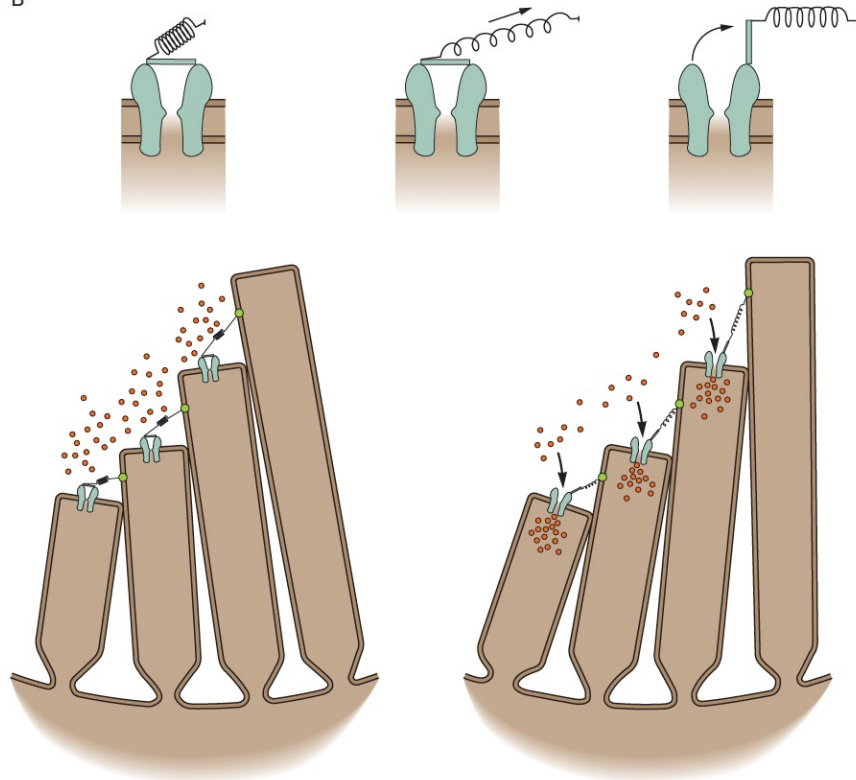
Tip links



A

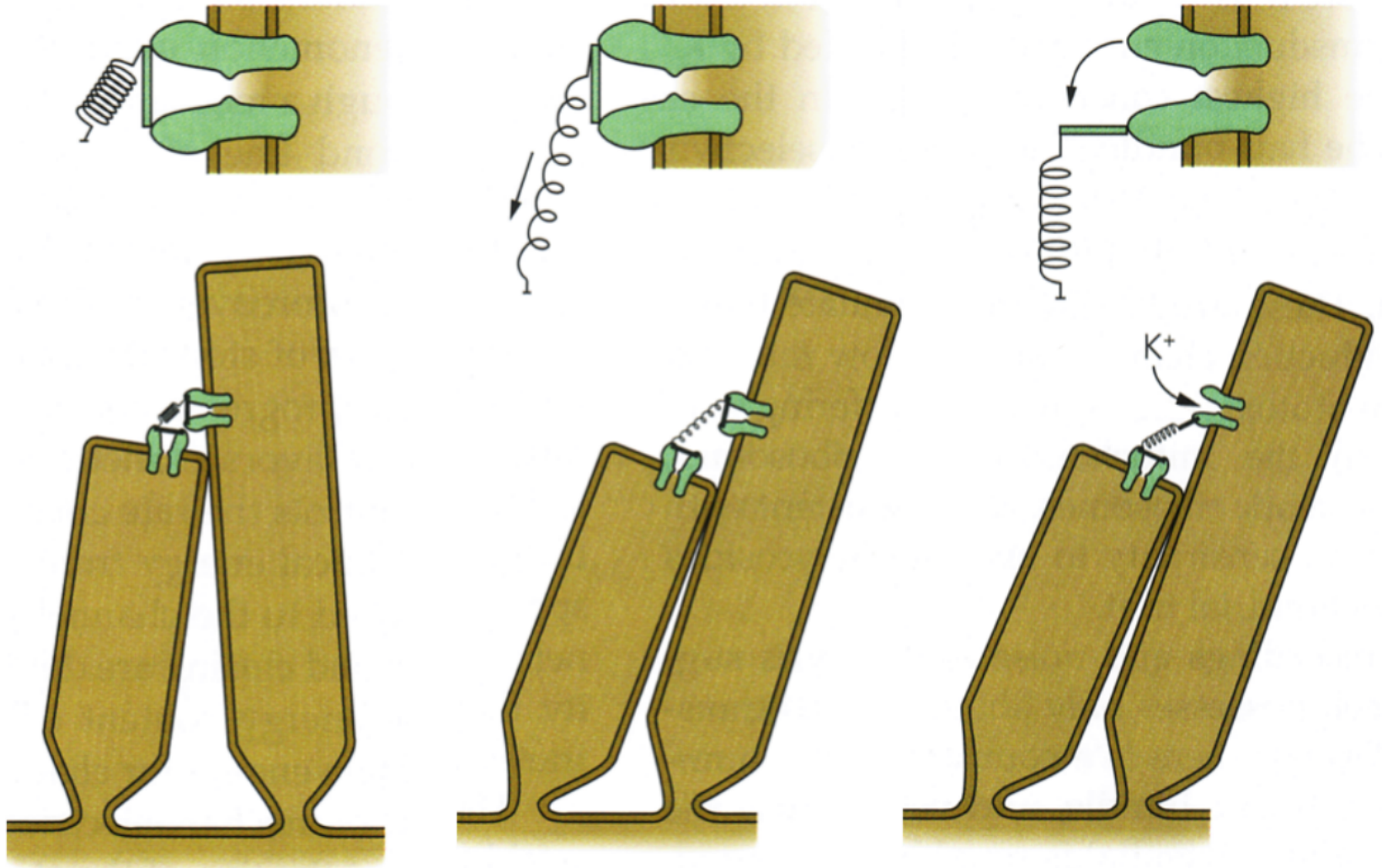


B



Deflection of stereocilia opens K^+ channels

K^+ rushes into hair cell, causing depolarization



Deflexión Cilios

Apertura Canales por tensión

Tip-links

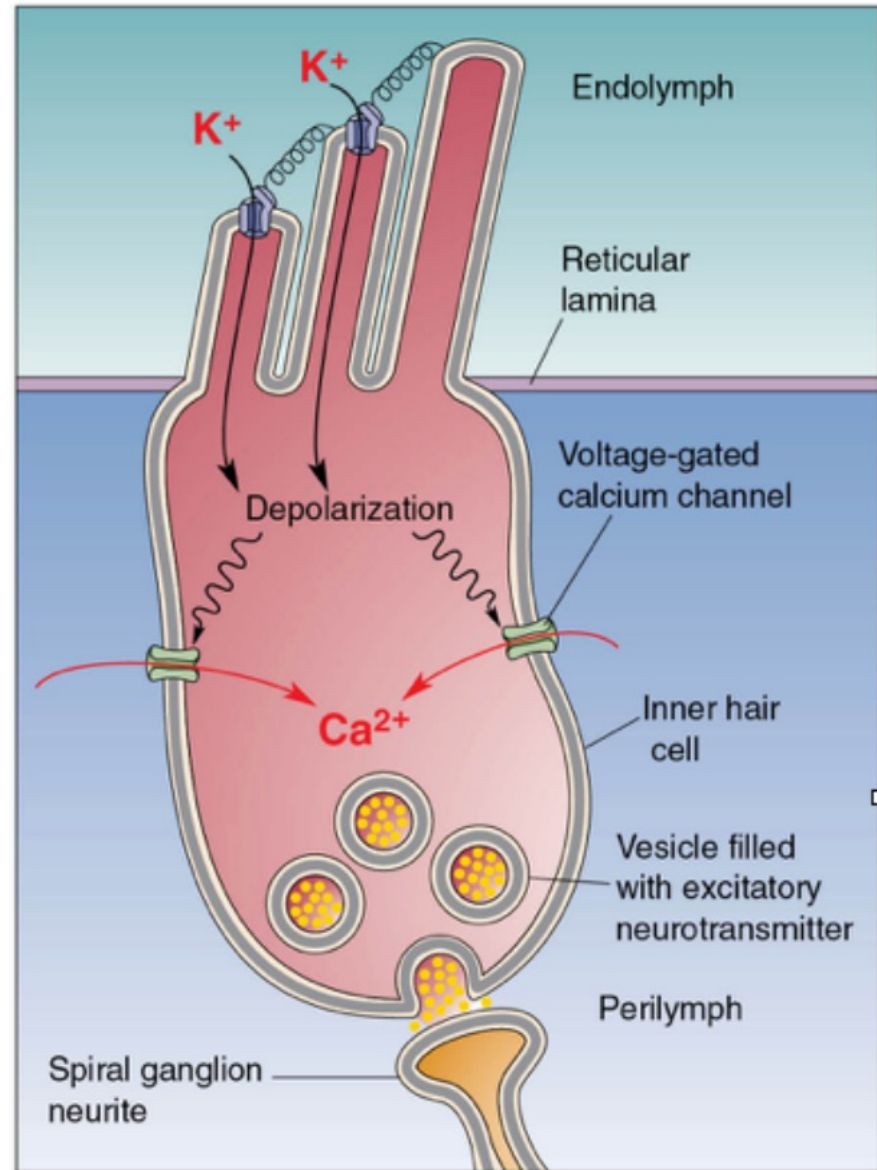
Ingreso K^+

Depolarización

Apertura Canales de Ca^{2+}

Exocitosis Vesiculas con
Neurotransmisores
(Glutamato)

Dentrita Aferente → Potencial de
Acción en Ganglio de Scarpa



Intensidad Respuesta (mV)
Medida en Ganglio Espiral



— CCE presentes
- - - CCE ausentes

Con celulas
Ciliadas
Externas

20 KHz

8 KHz

4 KHz

2 KHz

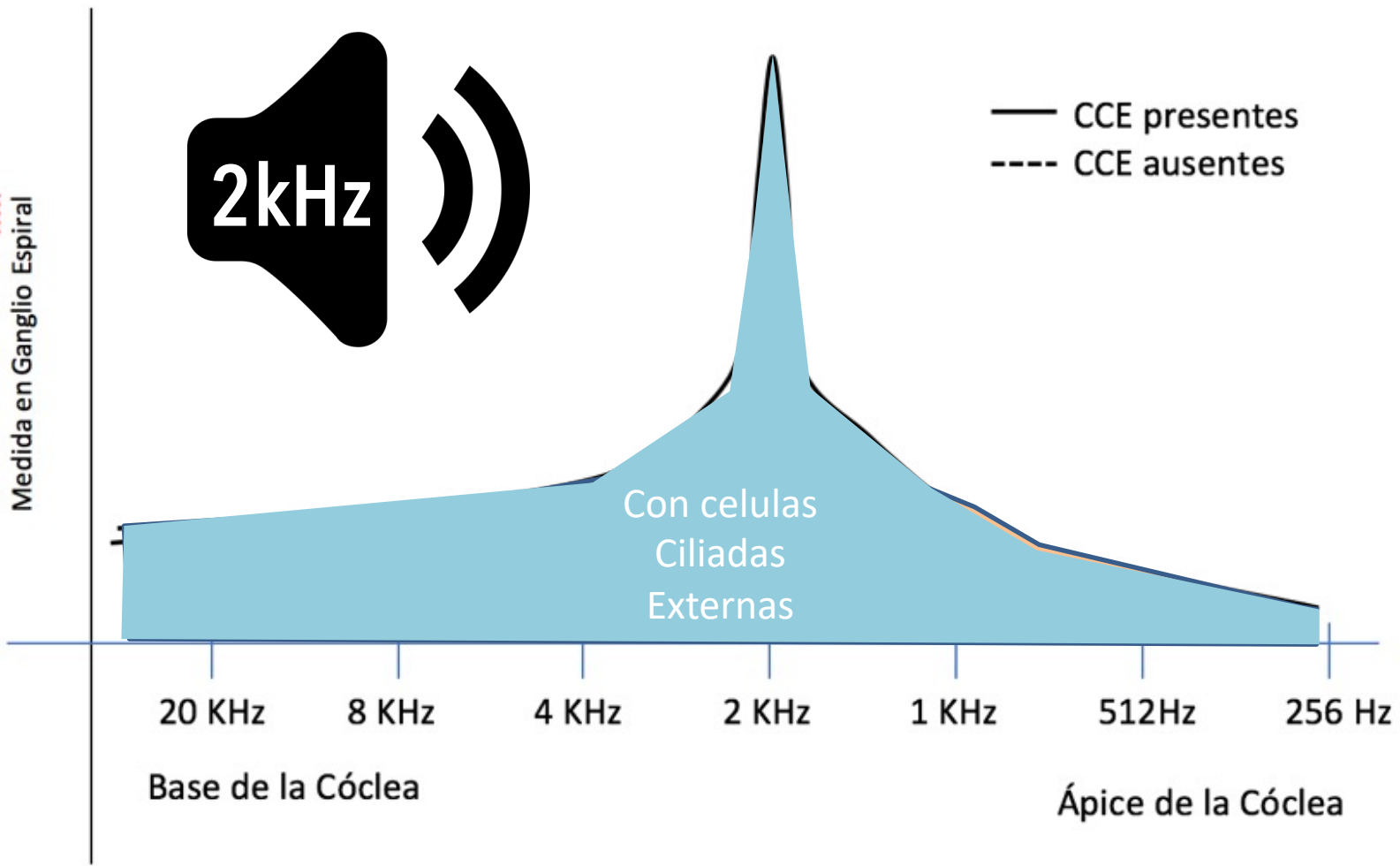
1 KHz

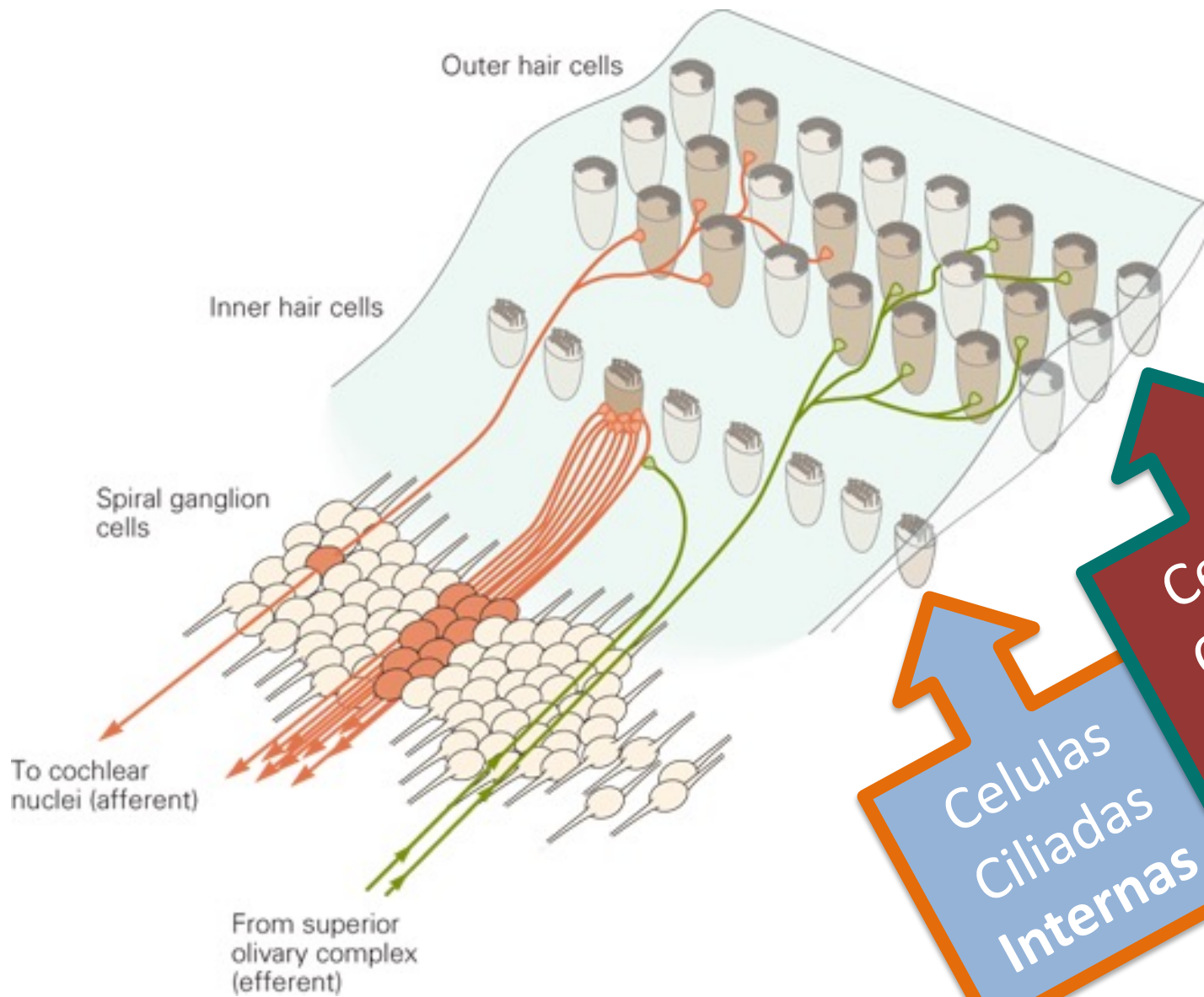
512Hz

256 Hz

Base de la C6clea

6pice de la C6clea





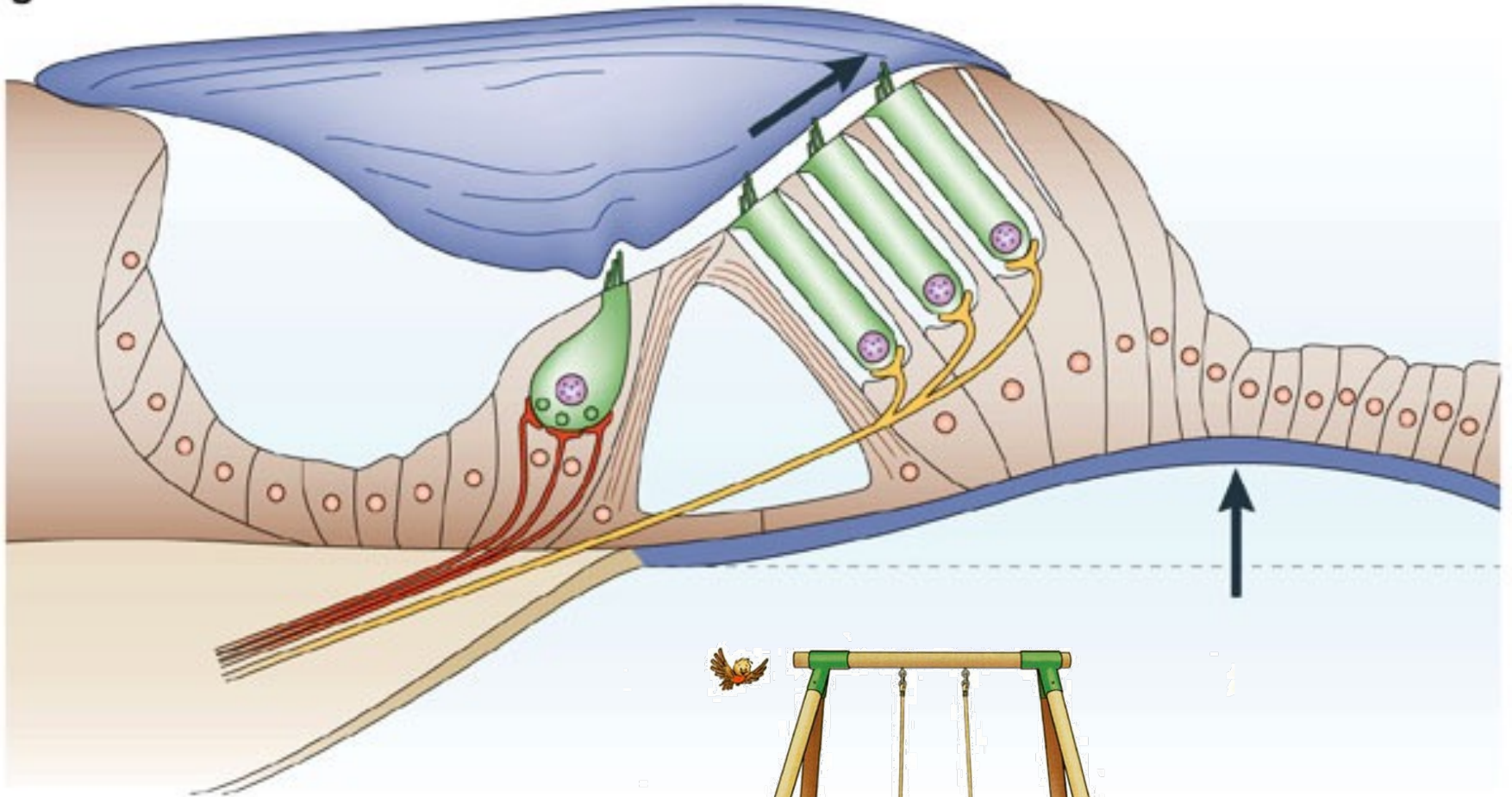
Celulas Ciliadas Internas

Celulas Ciliadas Externas

Célula Ciliada Externa



b



Intensidad Respuesta (mV)
Medida en Ganglio Espiral



— CCE presentes
- - - CCE ausentes

Con células
Ciliadas
Externas

20 KHz

8 KHz

4 KHz

2 KHz

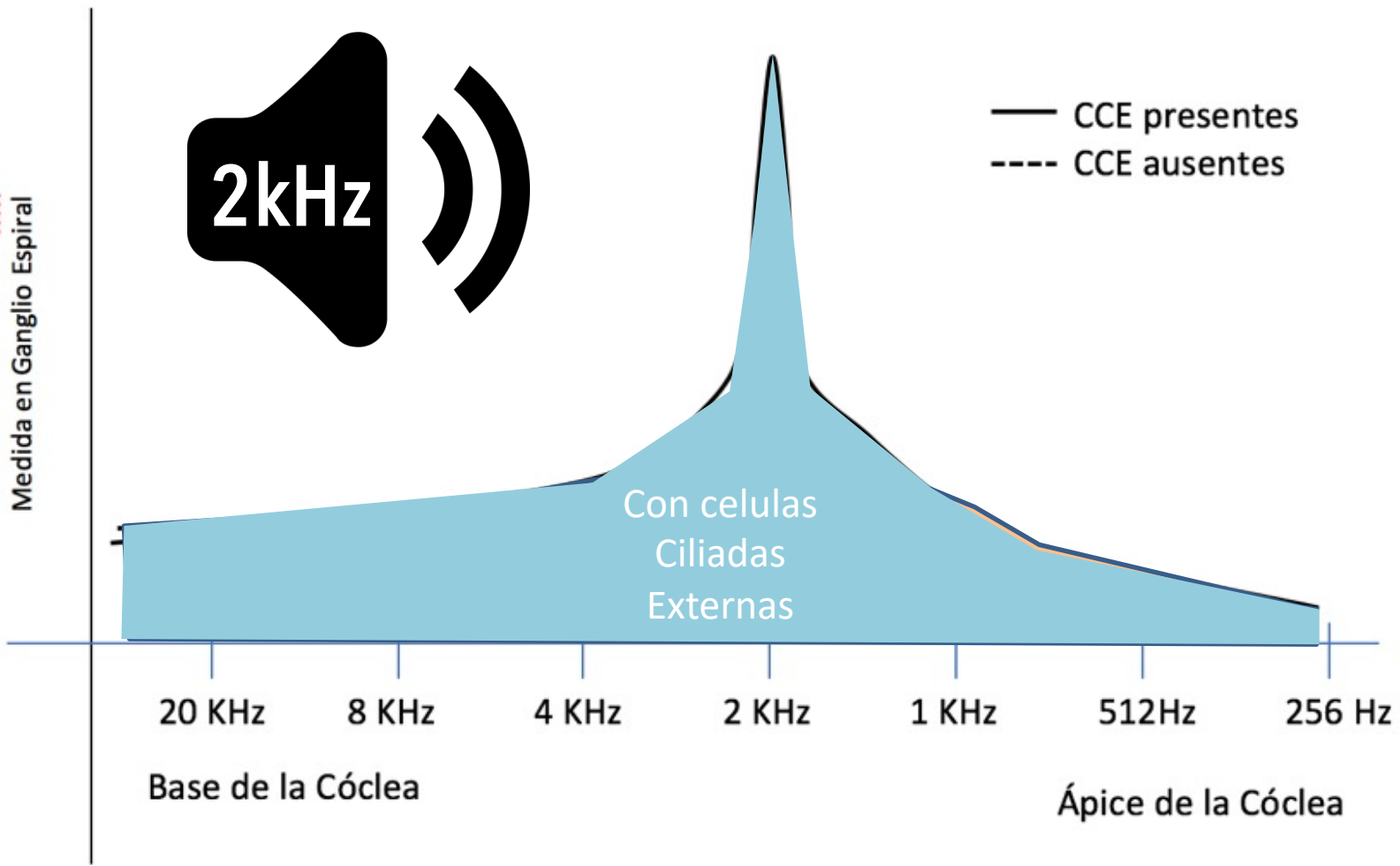
1 KHz

512Hz

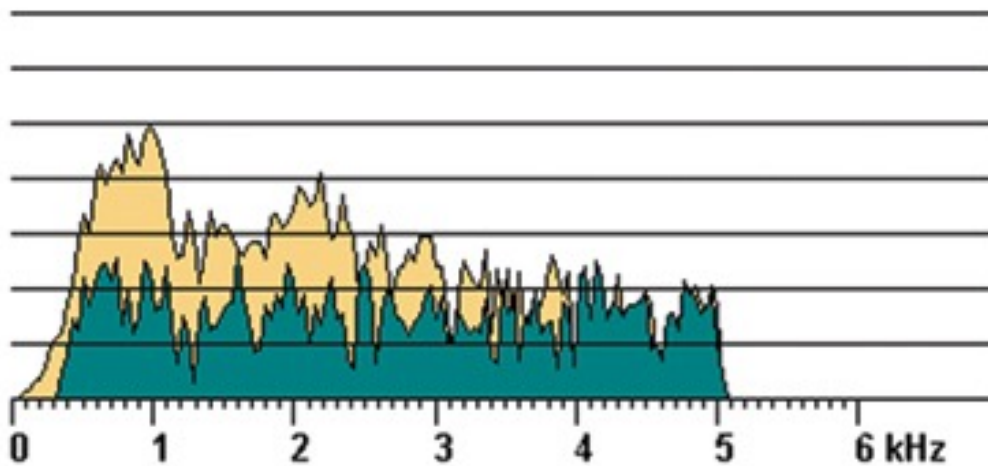
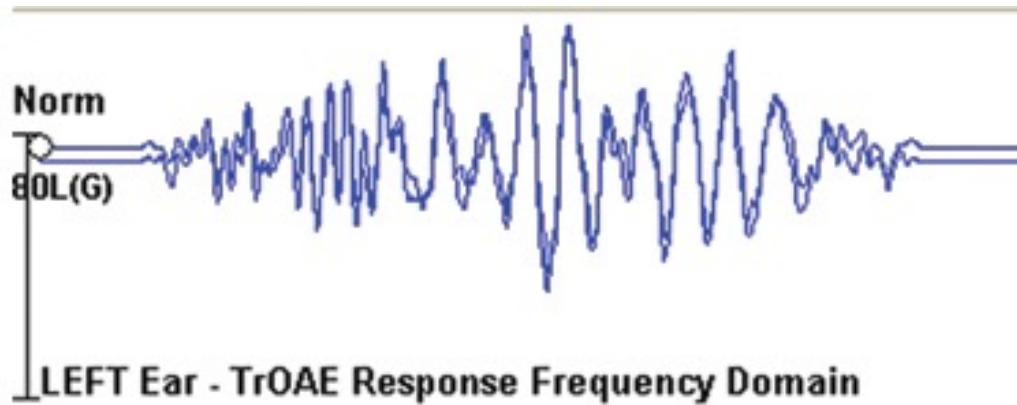
256 Hz

Base de la Cóclea

Ápice de la Cóclea

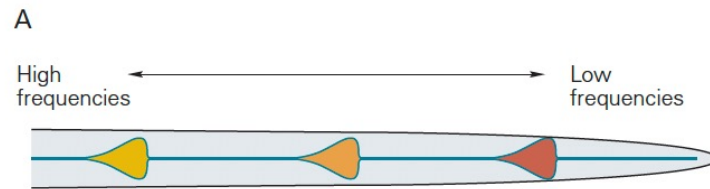


Emisiones Otoacústicas

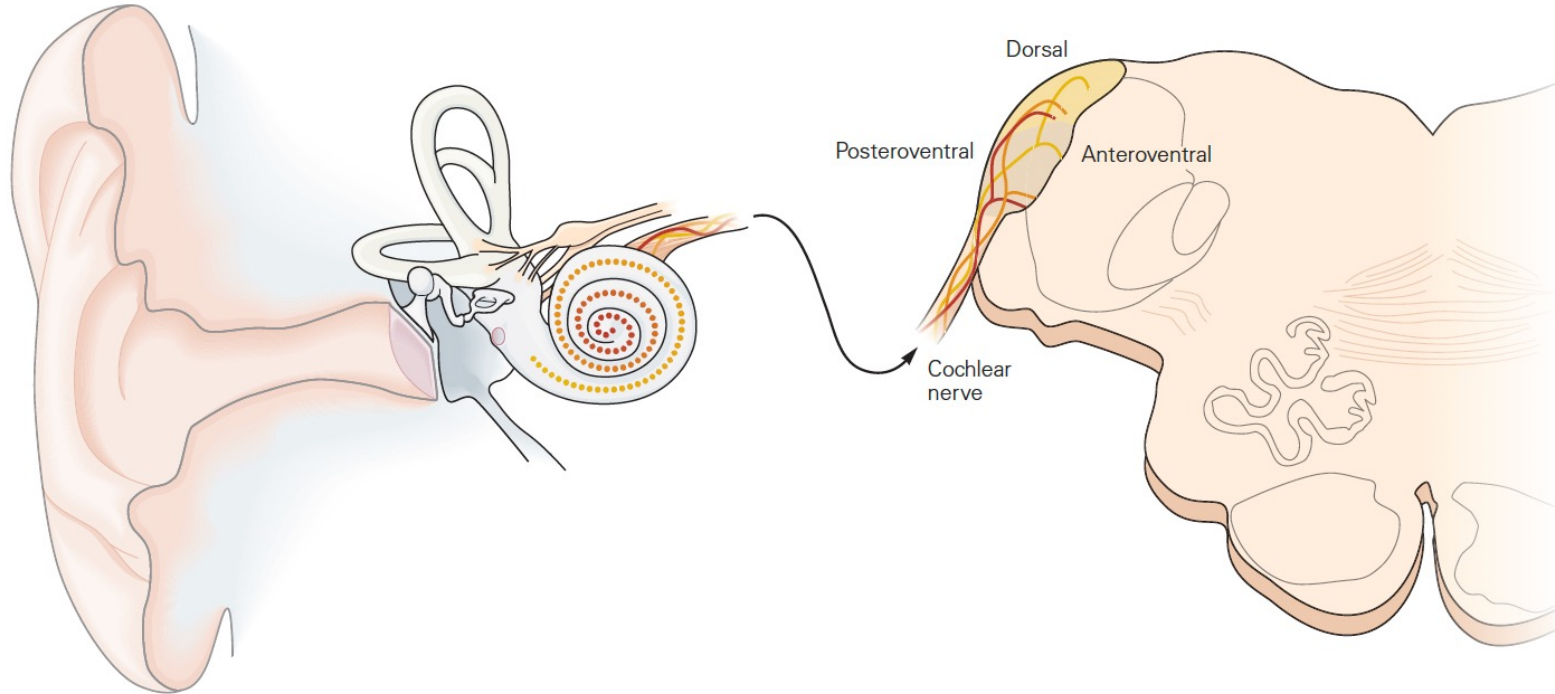


Transientes

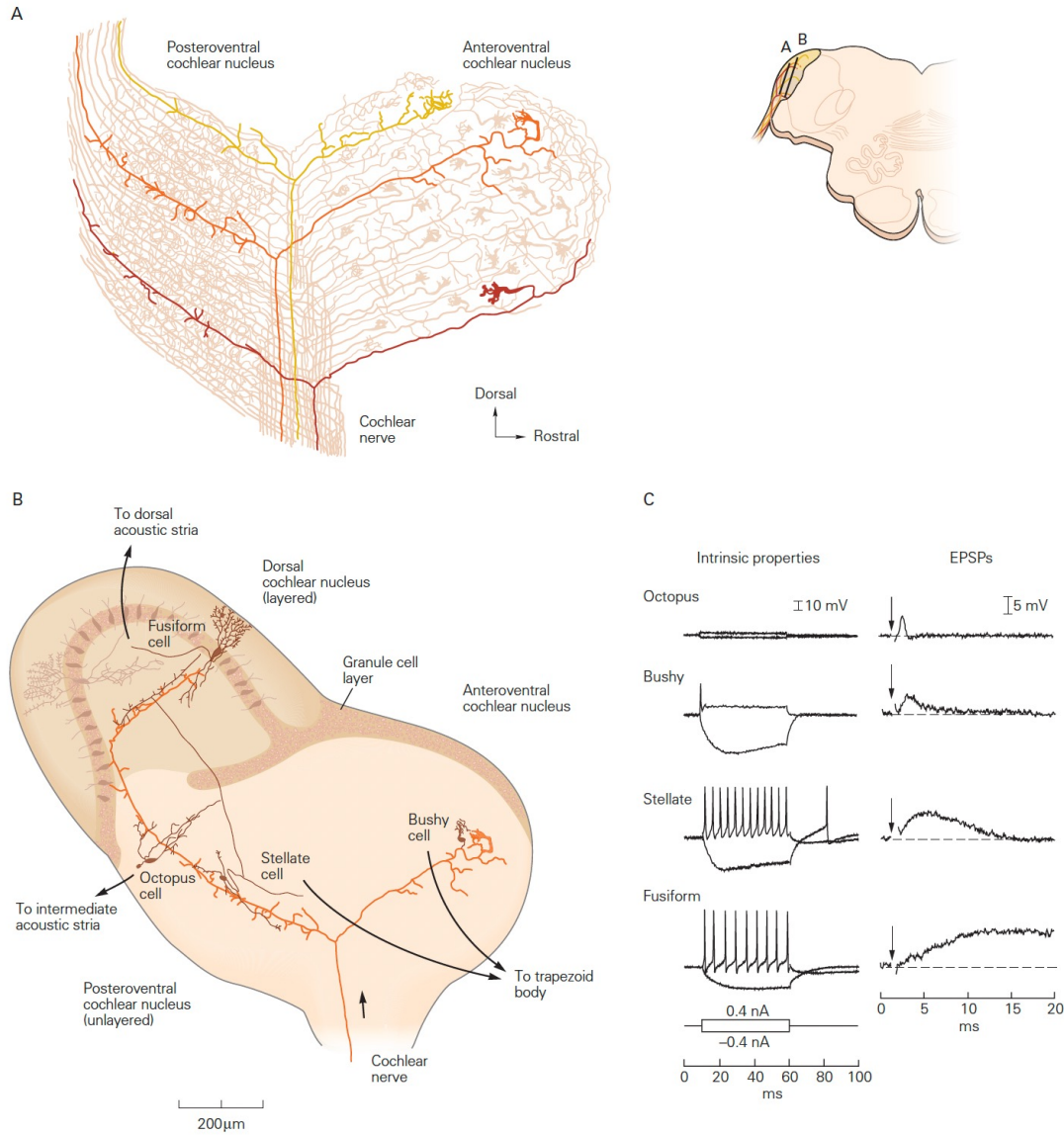




B

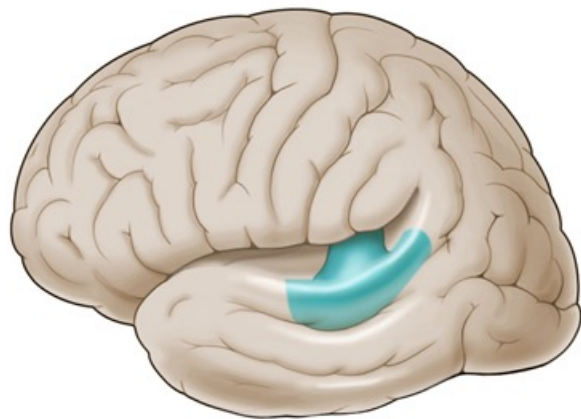
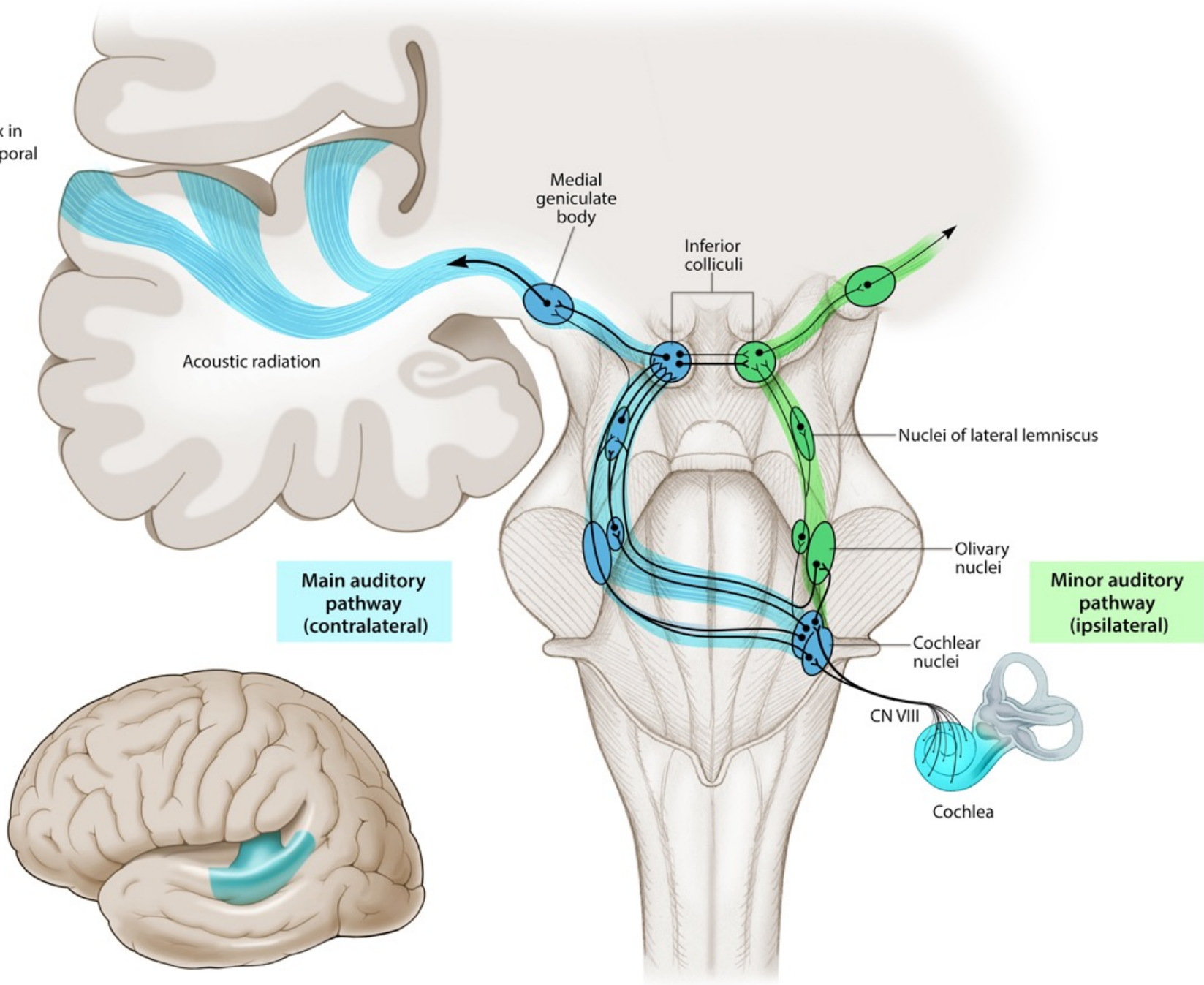


Núcleo Coclear

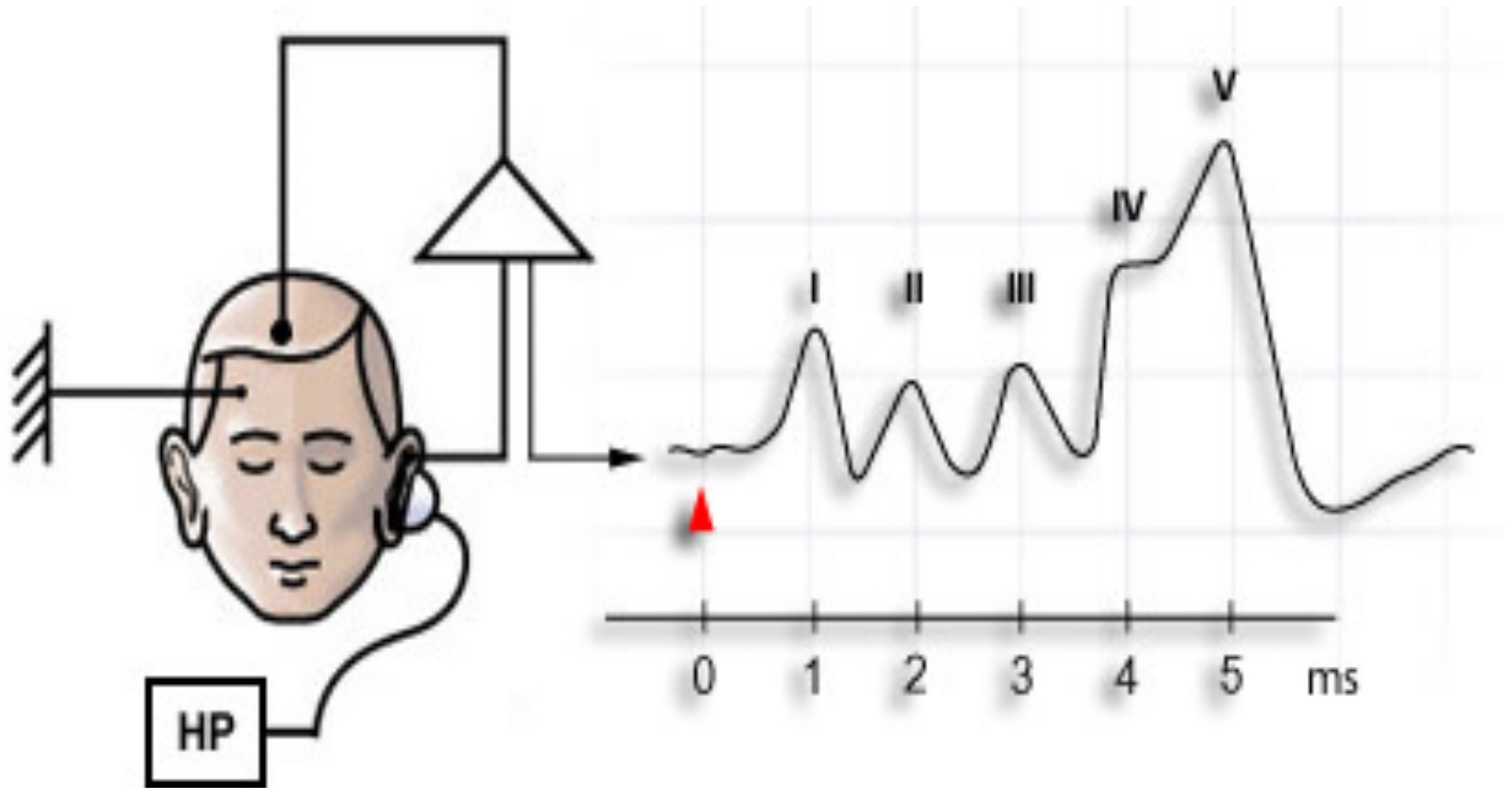


Núcleo Coclear

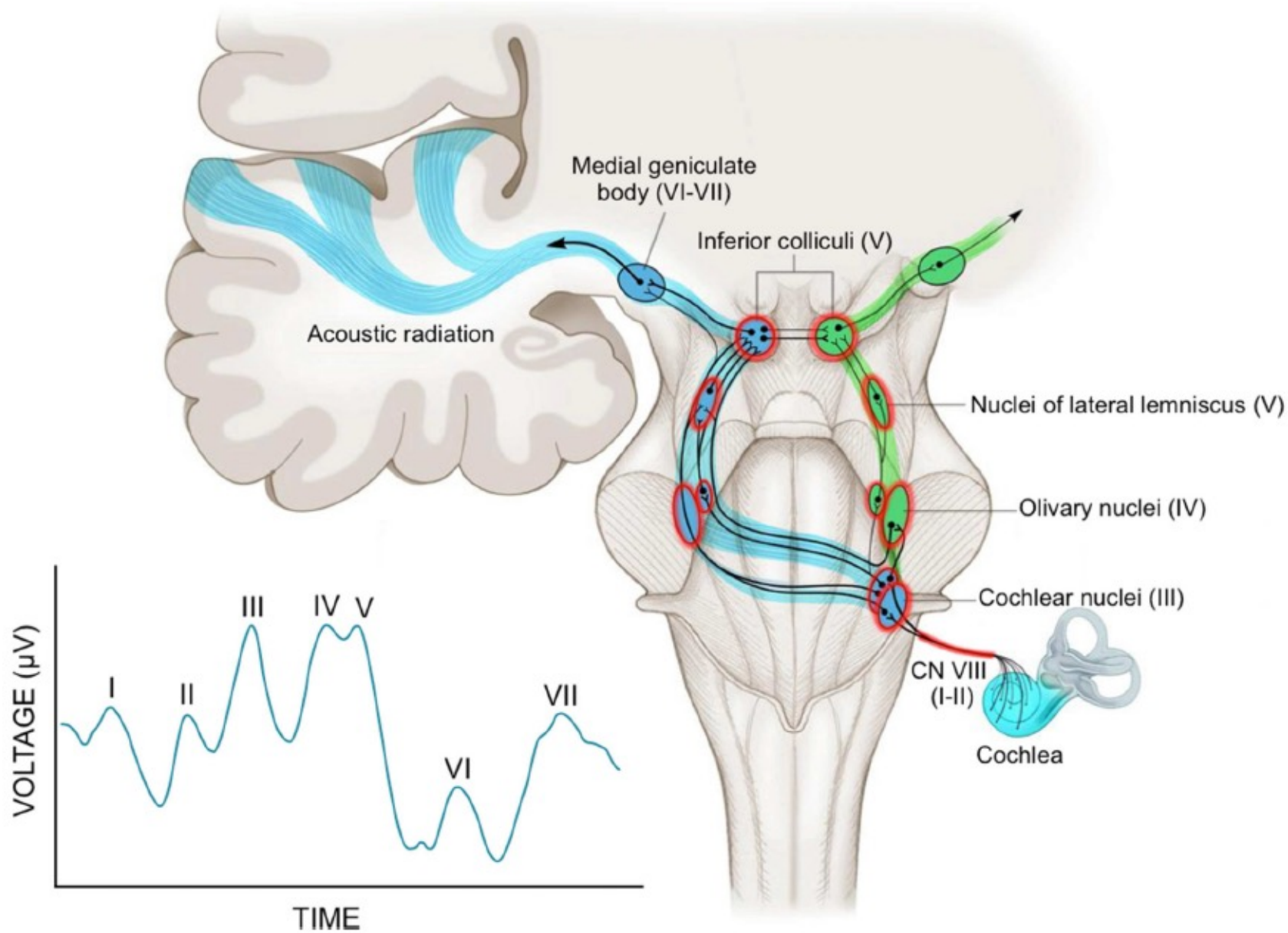
Auditory cortex in transverse temporal gyrus



Potenciales Auditivos de Tronco Encefálico







Corteza Auditiva

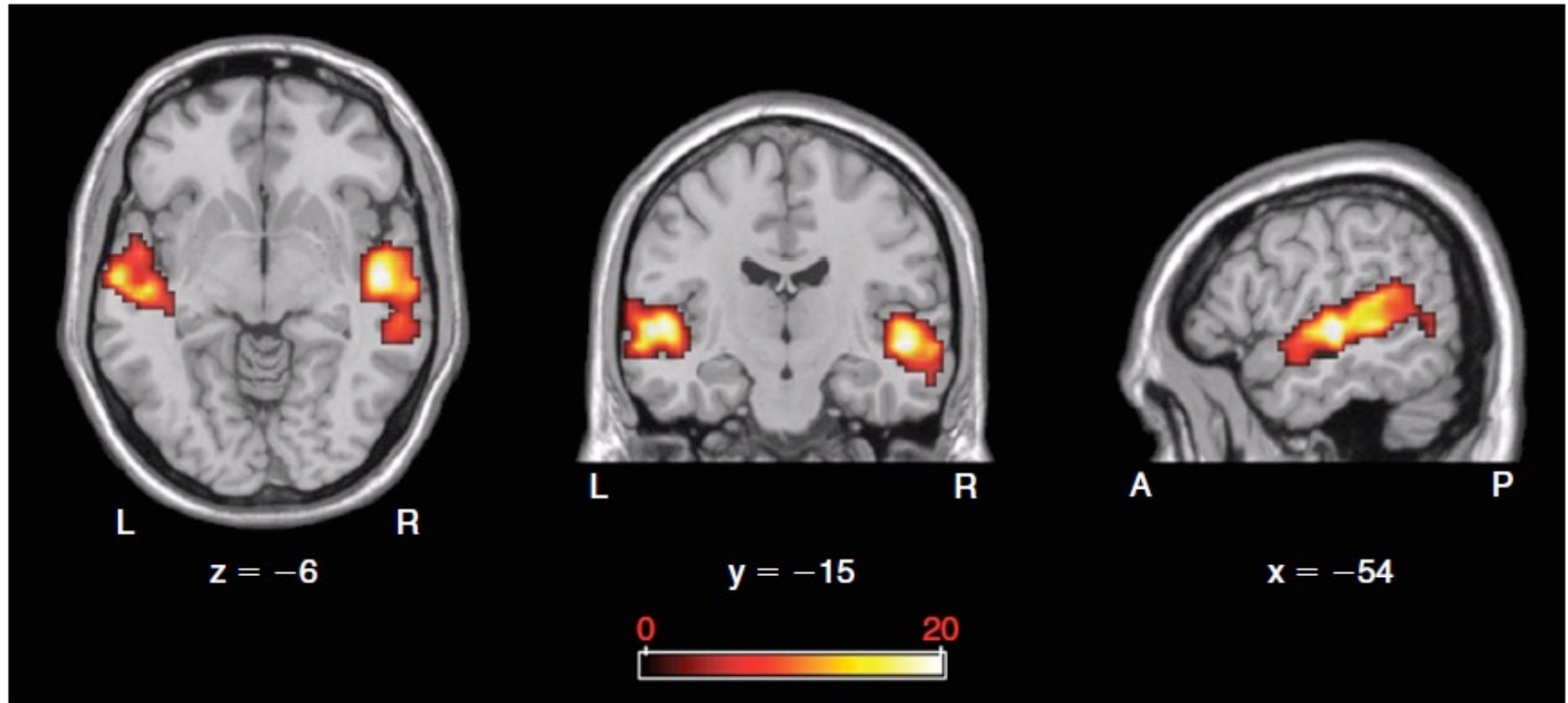
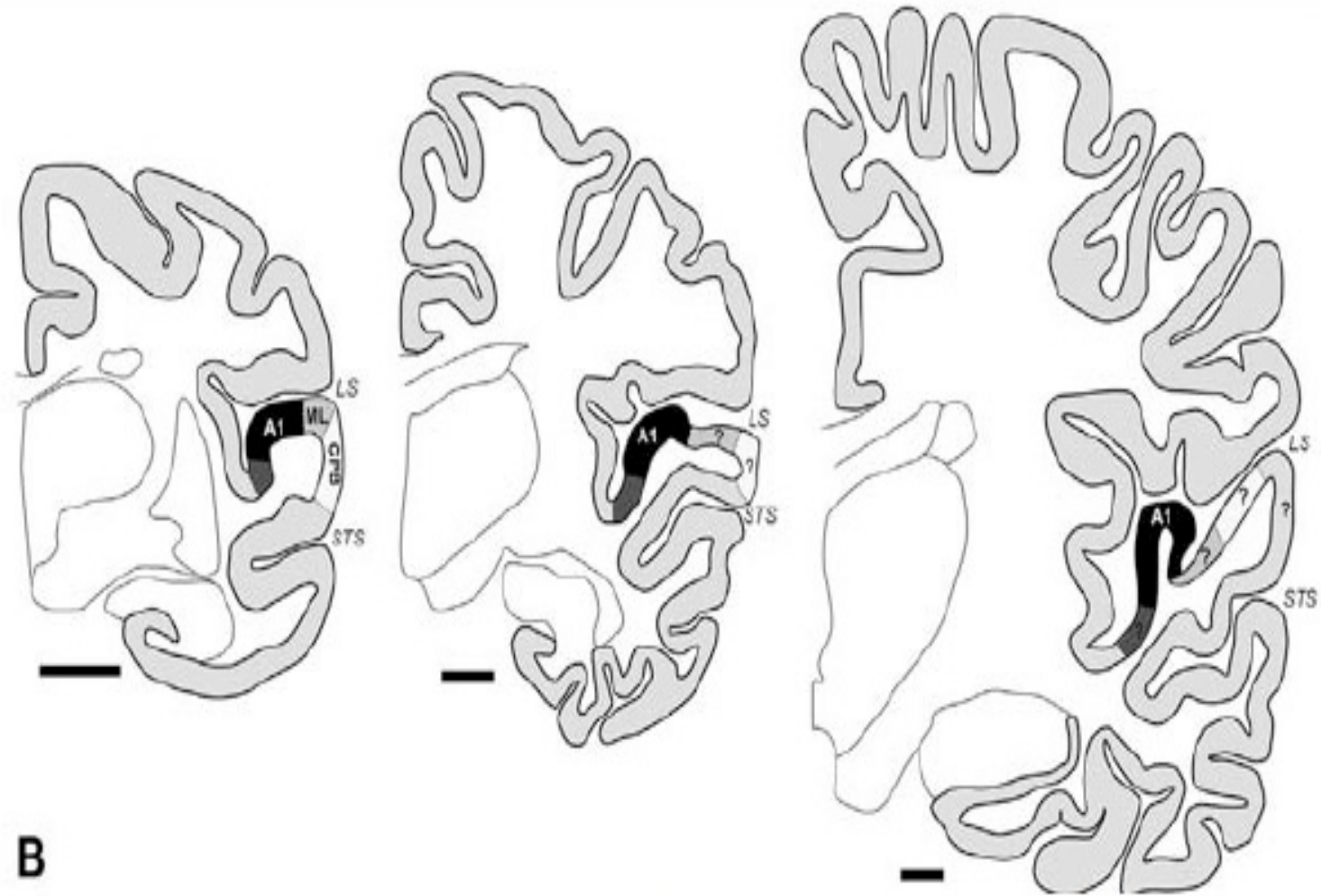


Fig. 127.7 Functional magnetic resonance imaging of the brain of a musician listening to music. The primary and secondary auditory cortex in both hemispheres shows strong activation. The brighter colors indicate more intense cortical activation. *A*, Anterior; *L*, left; *P*, posterior; *R*, right. (Courtesy C. Limb, MD.)

Corteza Auditiva

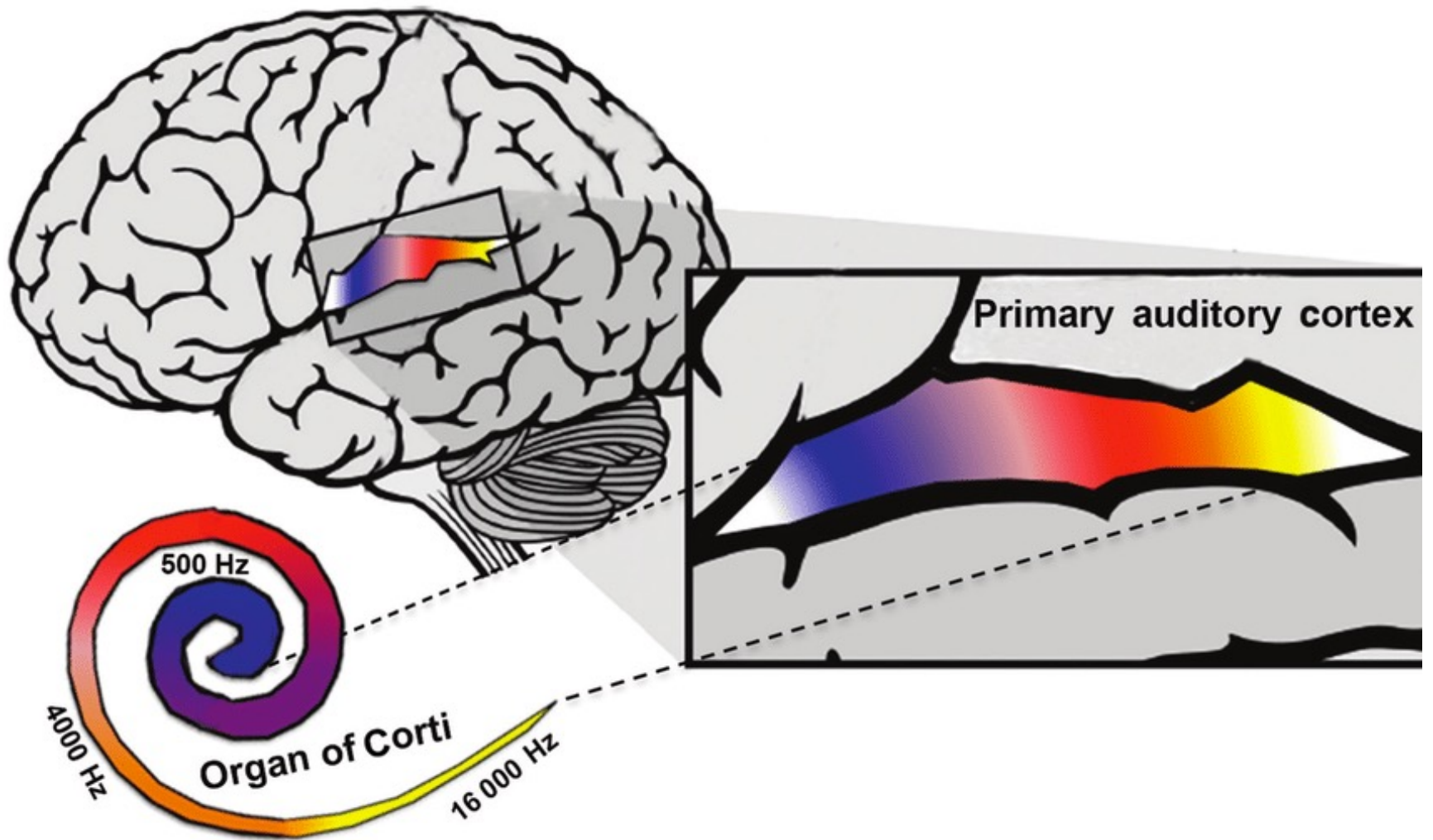


B

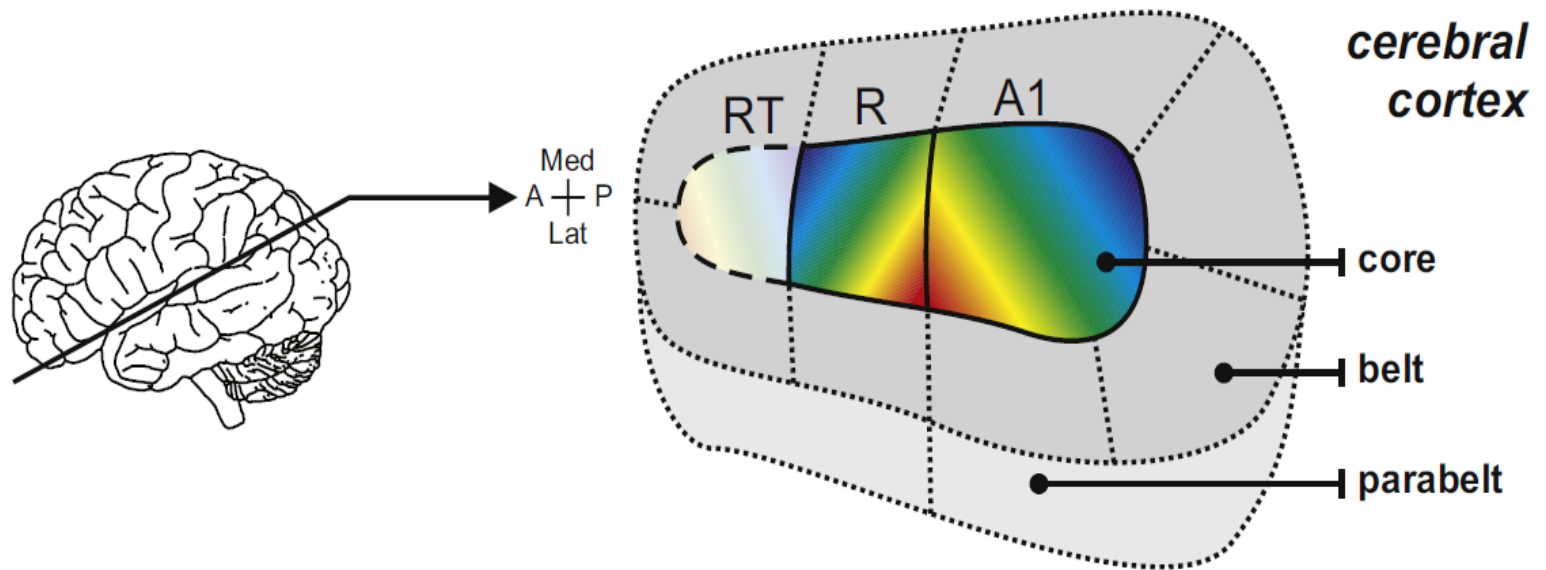
Macaco

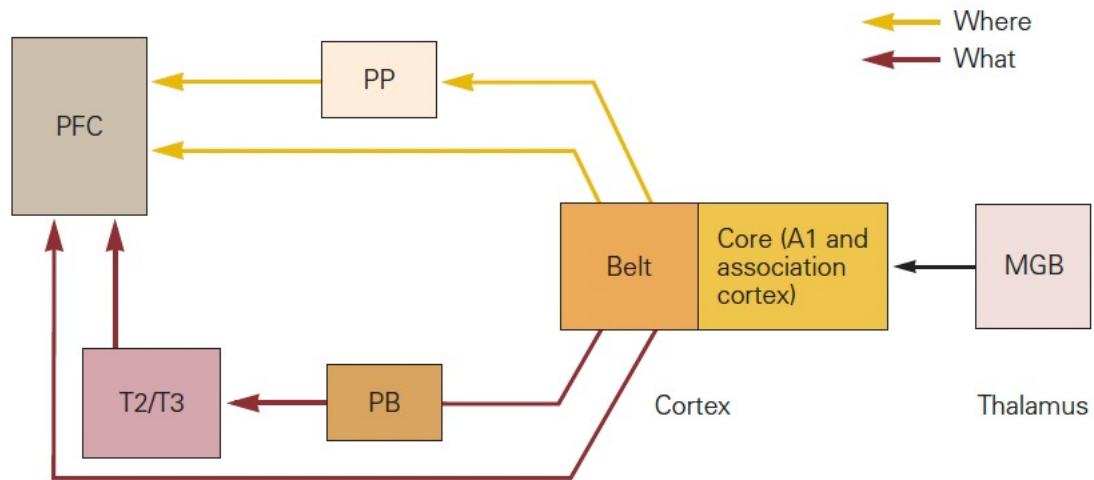
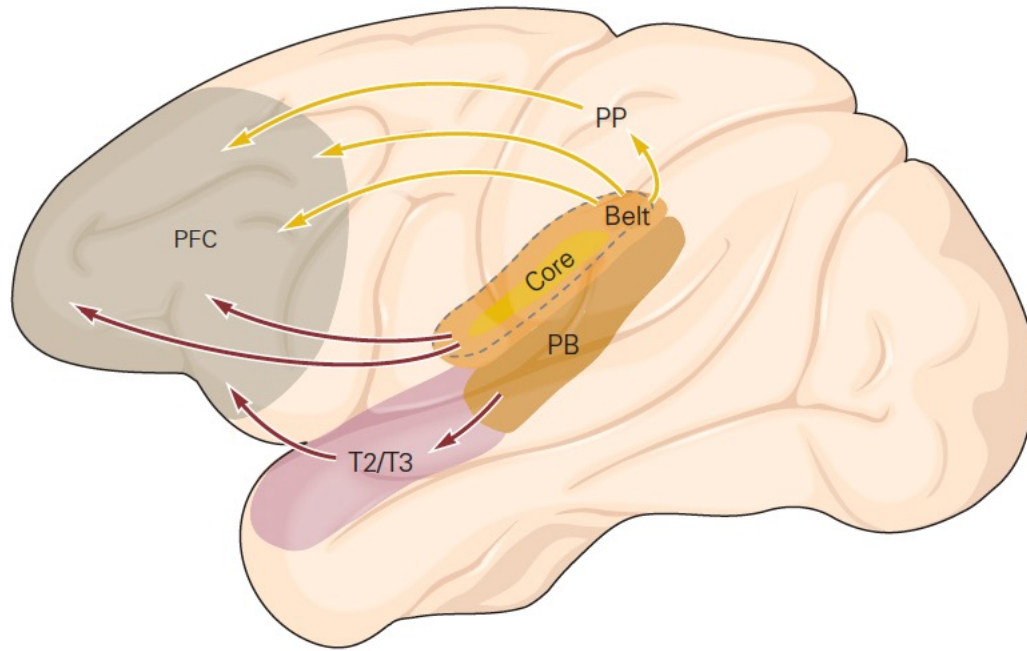
Chimpancé

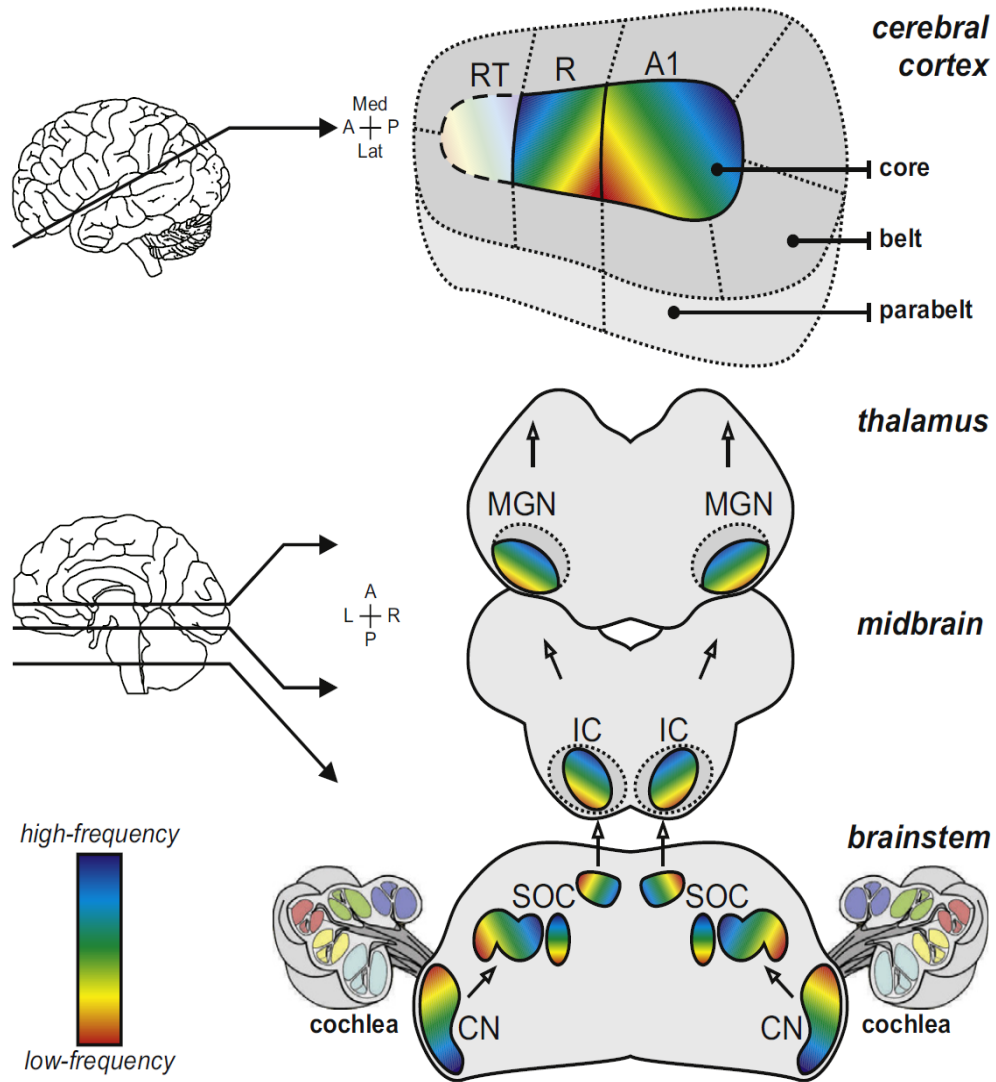
Humano



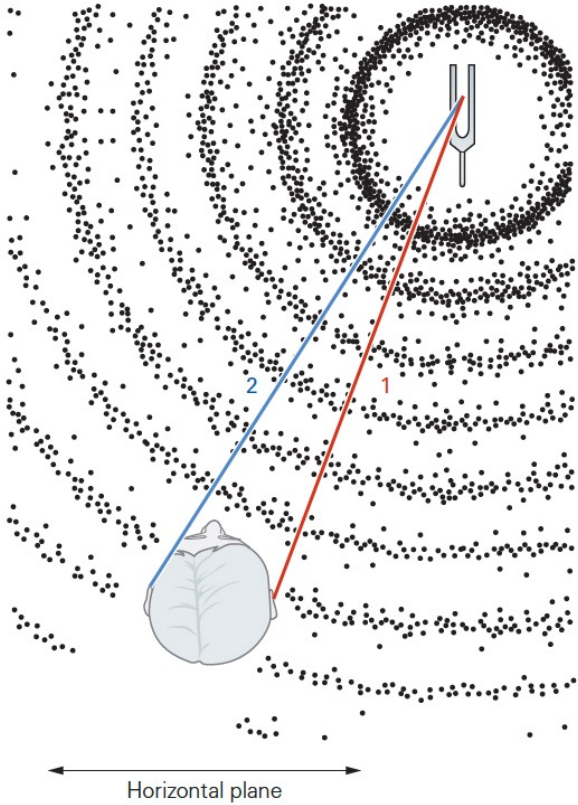
A1



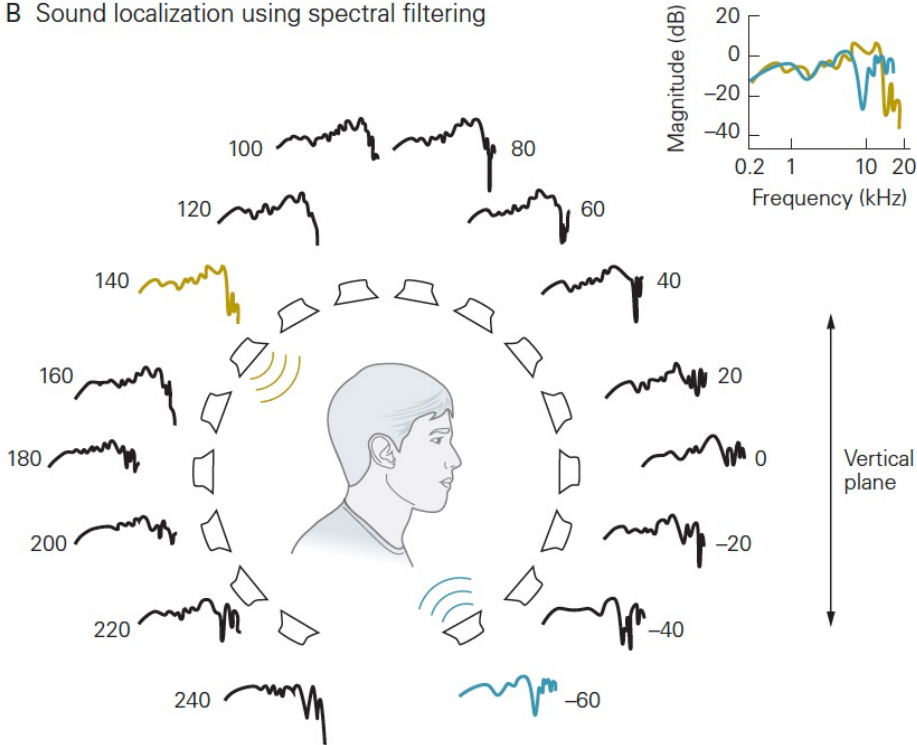




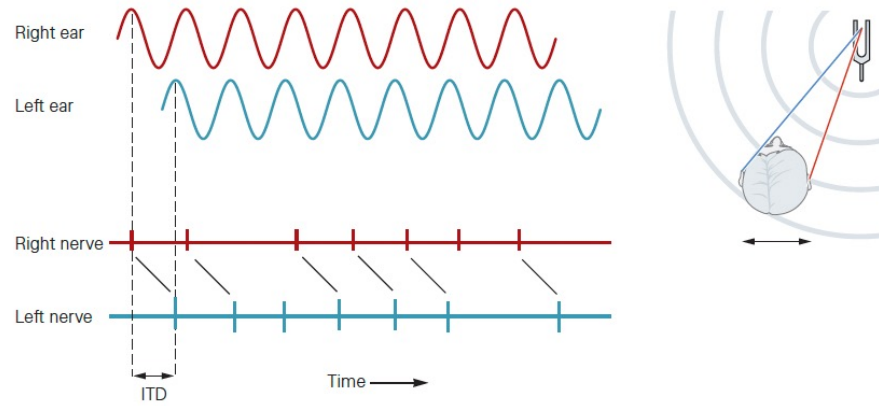
A Sound localization using interaural difference



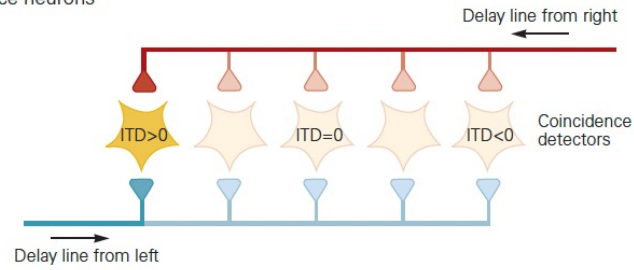
B Sound localization using spectral filtering



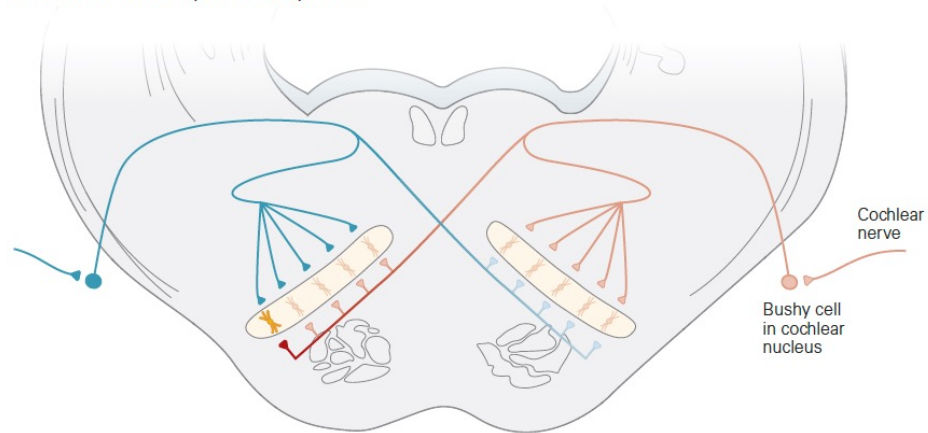
A Phase-locked firing in bushy cells



B Mapping of ITD onto array of neuronal coincidence neurons



C Bilateral medial superior olivary nuclei



Vía auditiva central

eferente

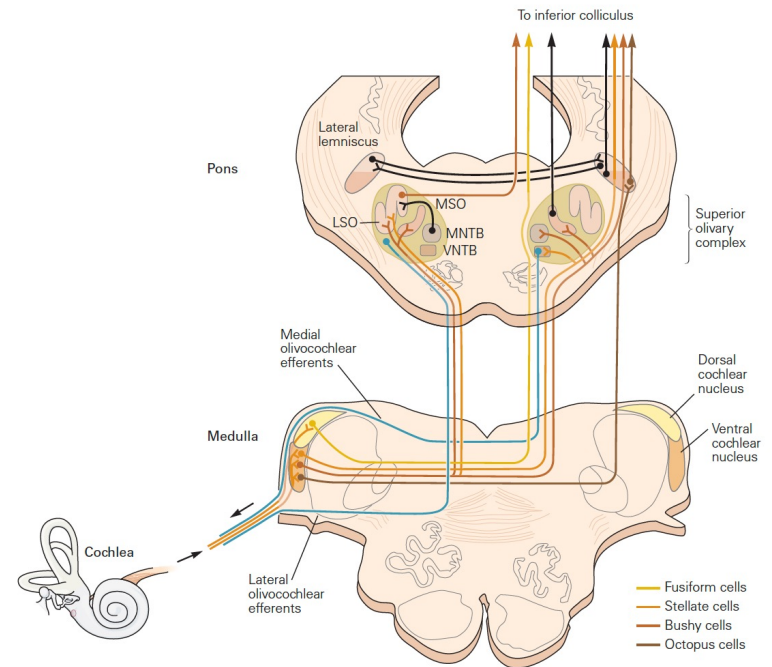
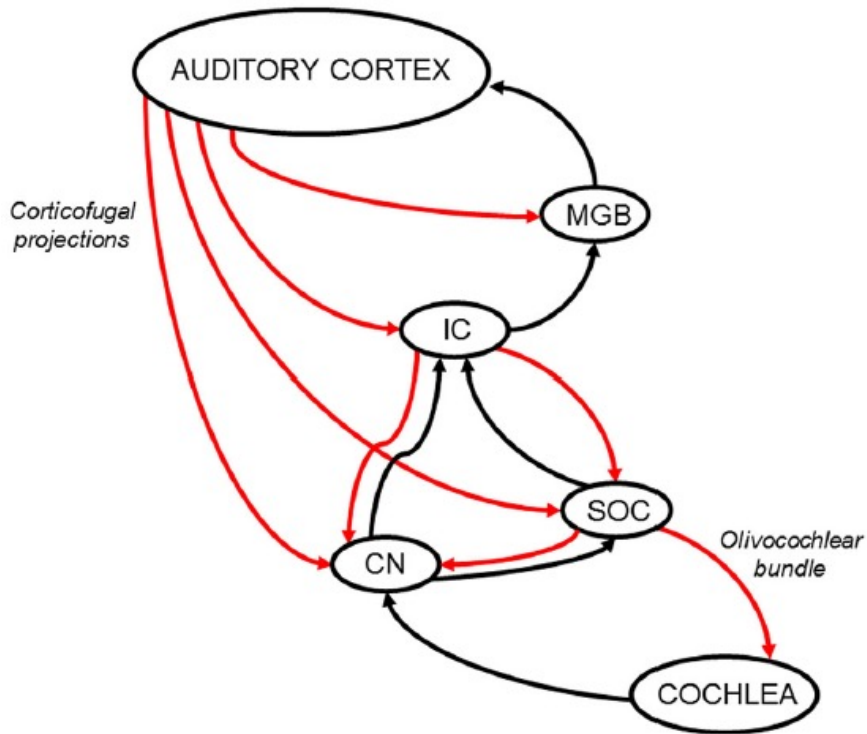
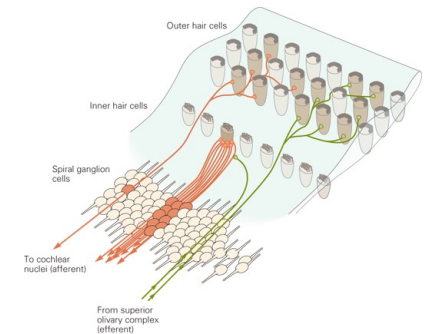
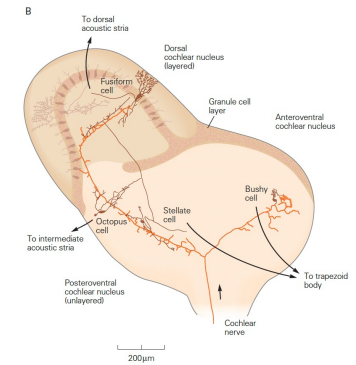
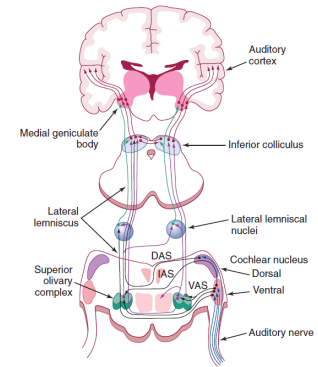
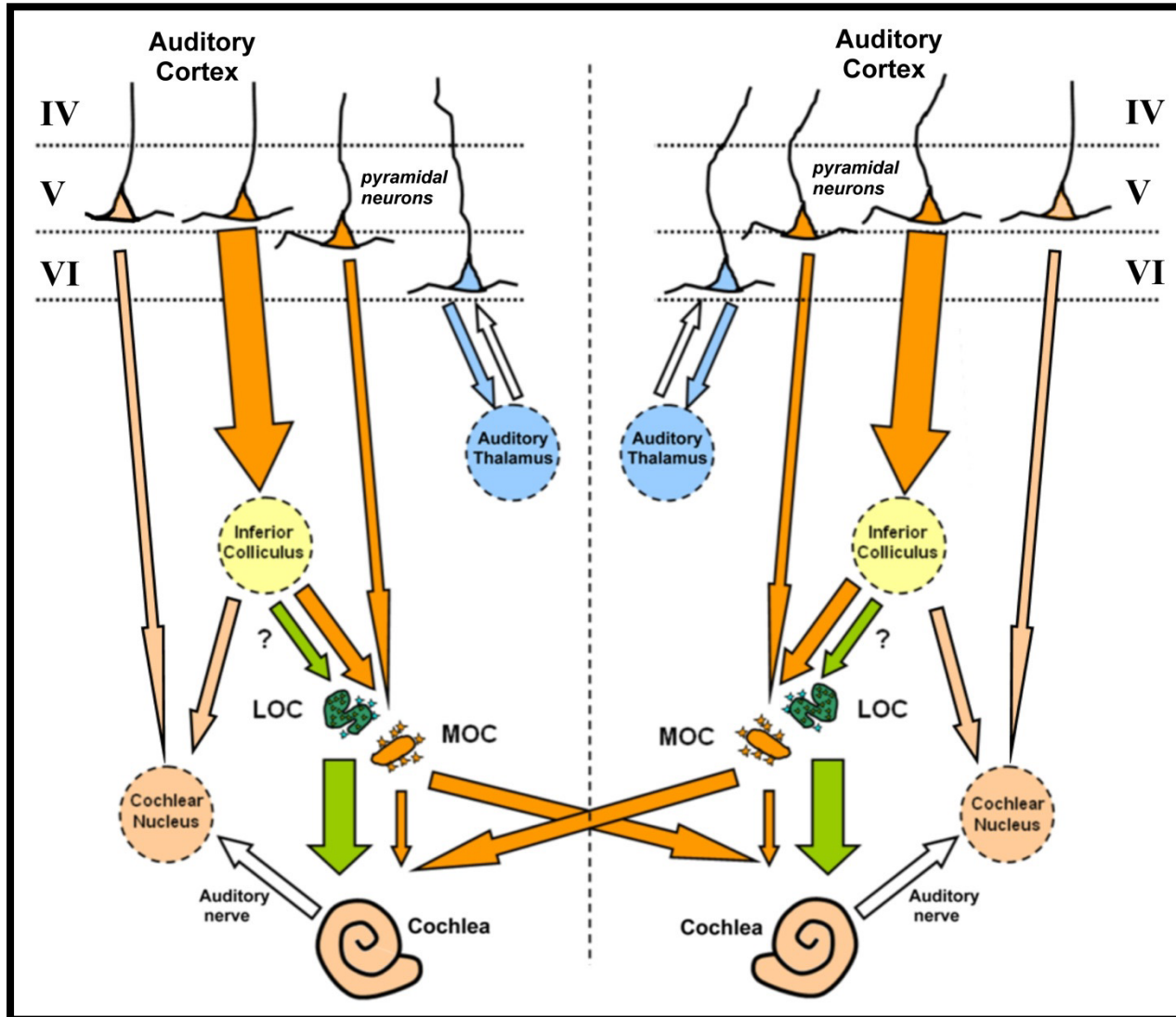
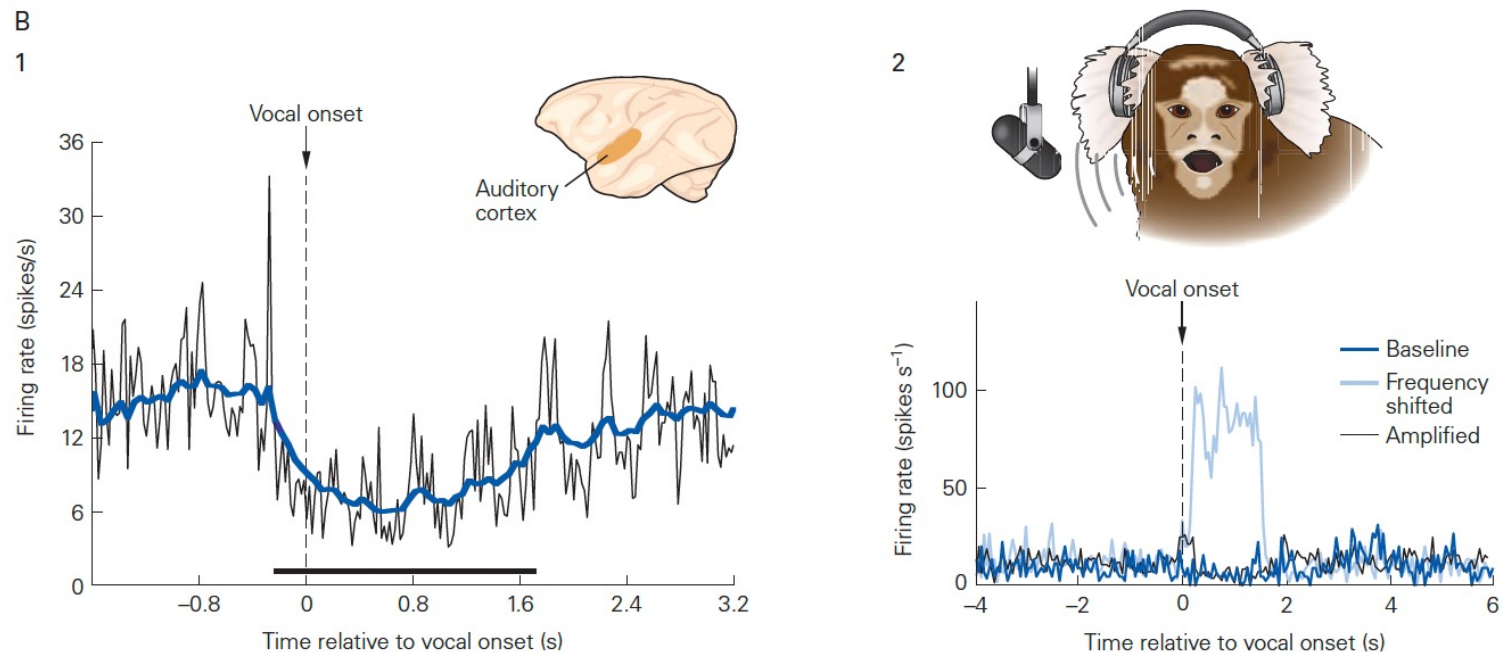
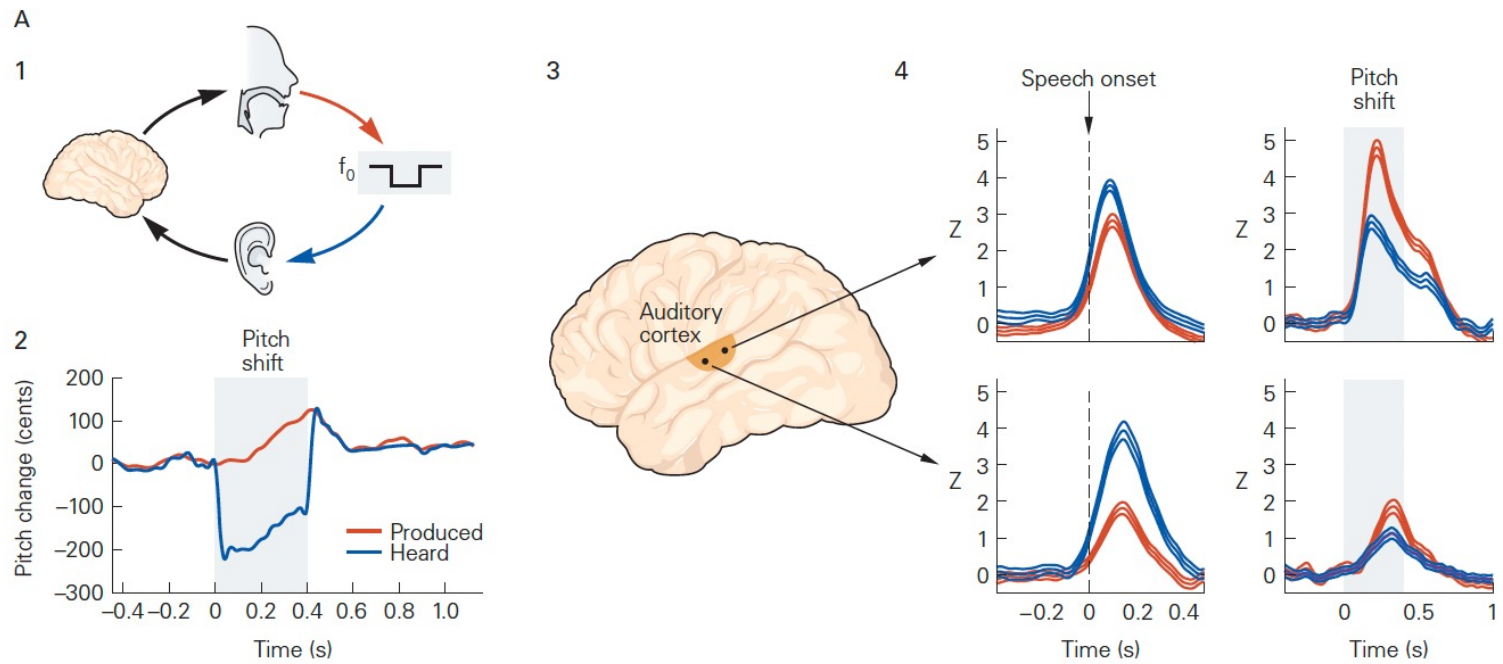


FIGURE 1 | Schematic diagram of the auditory efferent network.
 Ascending and descending pathways are depicted in black and red arrows

Sistema eferente córtico-coclear



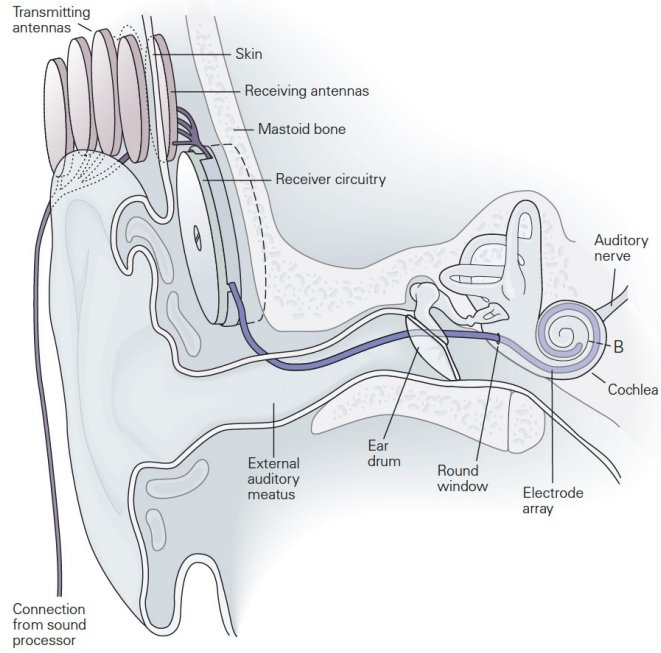




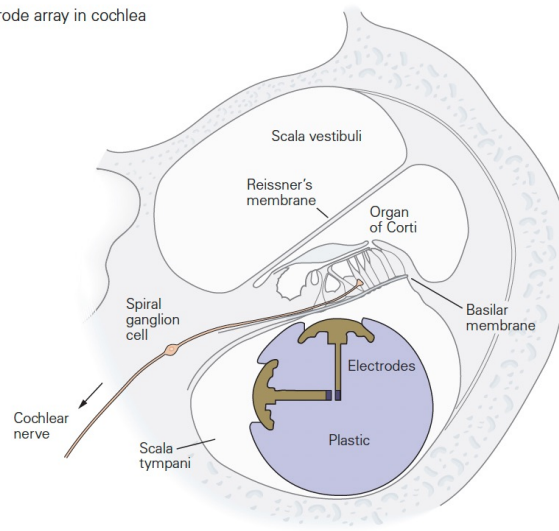
Cochlear Implants

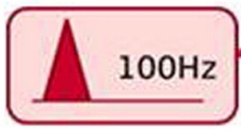
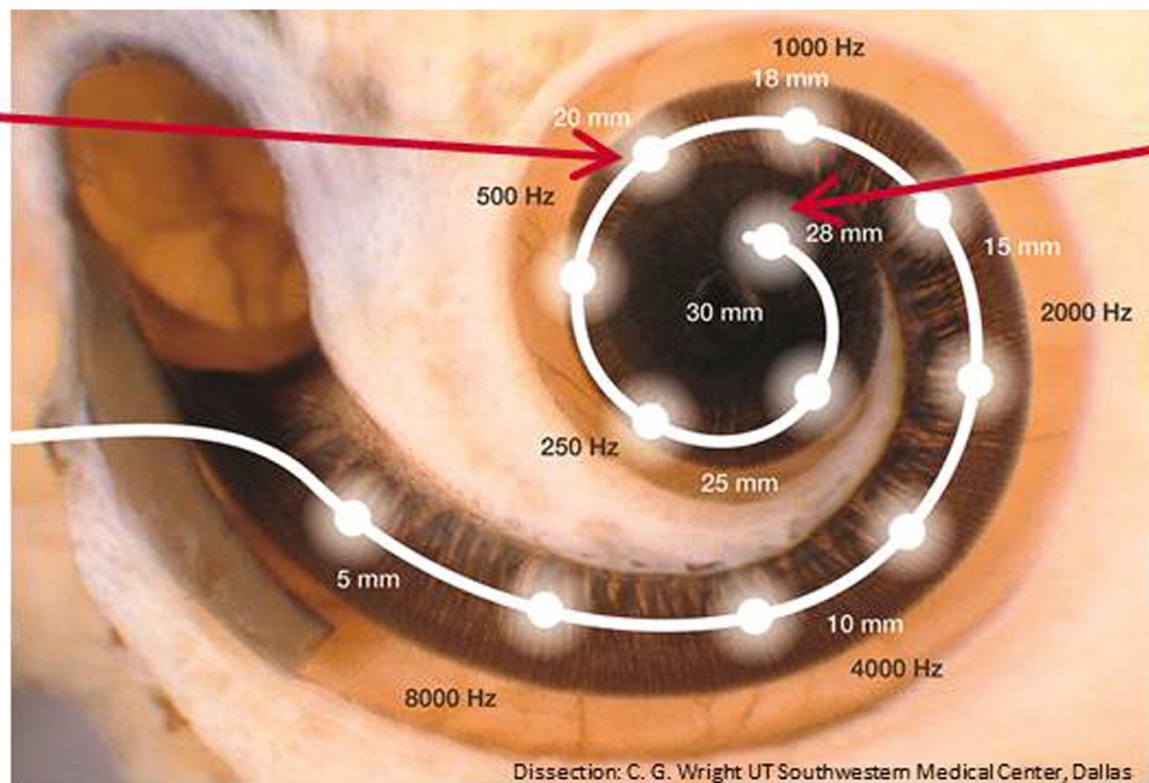


A Sound transmission to cochlea



B Electrode array in cochlea





•
•
•



**Most Apical
~ 20mm**

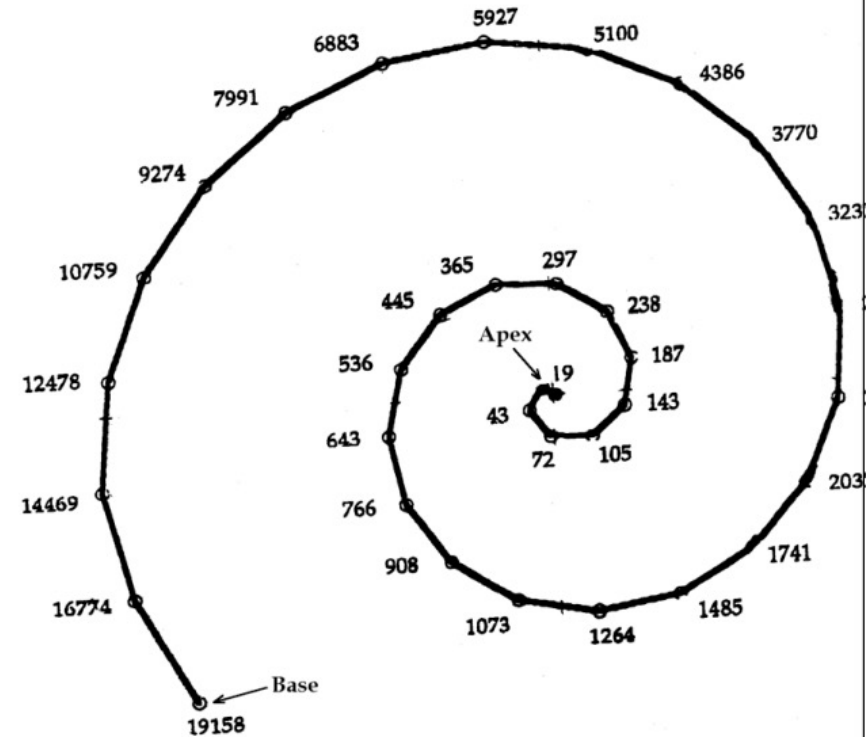
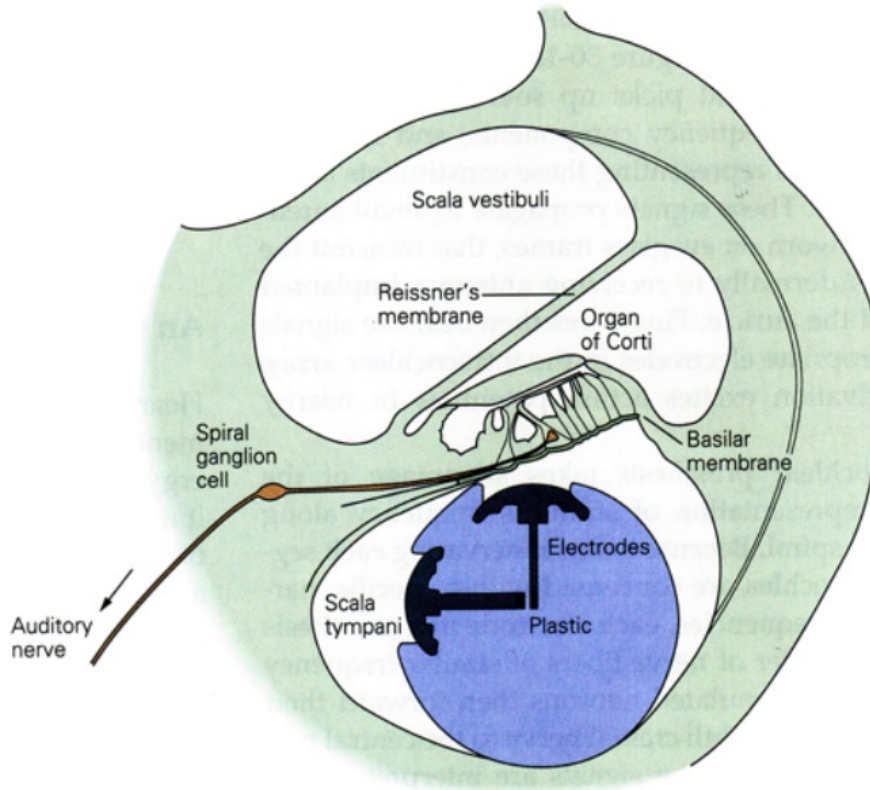


•
•
•



**Most Apical
~ 30mm**

Cochlear implant to cure deafness by directly stimulating auditory nerves



cochlear implant -> 32 different frequencies
(normal inner ear -> 300+ different frequencies)







Sistema AUDITIVO

NEUROCIENCIA



FACULTAD DE MEDICINA
UNIVERSIDAD DE CHILE

Hayo A. Breinbauer Krebs (Dr.med/PhD).
Universidad de Chile – Departamento Neurociencias



LAB - ONCE
www.labonce.cl